

ESCUELA SUPERIOR POLITECNICA DEL LITORAL
DEPARTAMENTO DE INGENIERIA MARITIMA
Y CIENCIAS DEL MAR



BIBLIOTECA
FAC. ING.
MARITIMA

Diseño de una Embarcación Pesquera de
Ferrocemento para Pesca con
Enmalle y Palangre

TESIS DE GRADO

Previa a la Obtención del Título de
-: INGENIERO NAVAL :-

AUTOR:

Vicente Antonio González Toala

Guayaquil - Ecuador
1.985

INDICE DE PLANOS

| PLANO Nº | Página Nº |
|---------------------|-----------|
| 1. Líneas de forma | 46 |
| 2. Arreglo General | 48 |
| 3. Escantillonado | 93 |
| 4. Escantillonado | 94 |
| 5. Sala de máquinas | 135 |

ABREVIATURAS

| | |
|-------------|---|
| 1. L | = Eslora total |
| 2. Lpp | = Eslora entre perpendiculares |
| 3. Lwl | = Eslora de flotación |
| 4. B | = Manga total |
| 5. Bwl | = Manga de Flotación |
| 6. T | = Calado medio |
| 7. D | = Puntal |
| 8. ∇ | = Volúmen de desplazamiento |
| 9. Δ | = Desplazamiento |
| 10. Awl | = Área del plano de agua |
| 11. Am | = Área de la sección media |
| 12. Xg | = Posición horizontal del centro de gravedad |
| 13. Yg. | = Posición vertical del centro de gravedad |
| 14. X_B | = Posición longitudinal del centro de flotación |
| 15. KB | = Posición vertical del centro de flotación |
| 16. Vb | = Volúmen de bodega de pescado |
| 17. Il | = Momento de inercia longitudinal |
| 18. It | = Momento de inercia transversal |
| 19. BML | = Radio metacéntrico longitudinal |
| 20. BMt | = Radio metacéntrico transversal |
| 21. Ml | = Momento unitario |
| 22. TPC1 | = Toneladas por centímetro de inmersión |
| 23. Cb | = Coeficiente de bloque |
| 24. Cp | = Coeficiente prismático |
| 25. Cm | = Coeficiente de la sección media |
| 26. Cw | = Coeficiente del plano de agua. |

27. a_1 = Relación entre L_{wa} y B_{wa} , en función de V_b .
28. a_2 = Relación entre B_{w1} y T , en función de V_b
29. a_3 = Relación entre B_{w1} y D , en función de V_b
30. \sqrt{t} = Esfuerzo de compresión del mortero (350 kp/cm^2)
31. $\frac{\sqrt{t}_{ts}}{\sqrt{t}}$ = Esfuerzo de compresión, en la prueba del cilindro

$$\frac{\sqrt{t}_{ts}}{0.85}$$
32. $\frac{\sqrt{t}_t}{\sqrt{t}}$ = Esfuerzo de compresión , en la prueba del cubo:

$$\frac{\sqrt{t}_t}{0.68}$$
33. \sqrt{t}_{bspr} = Esfuerzo de rompimiento laminar, por pandeo -
 (70 kp/cm^2)
34. $\sqrt{S_{spr}}$ = Esfuerzo de rompimiento laminar, por tensión -
 (40 kp/cm^2)
35. $\sqrt{b_{br}}$ = Esfuerzo máximo de prueba de pandeo ($1.25 \sqrt{t}_{bspr}$)
36. $\sqrt{S_{br}}$ = Esfuerzo máximo en prueba de tensión($1.25 \sqrt{S_{spr}}$)
37. C_1 = Coeficiente de corrección por espesor laminar

$$\sqrt{\left(\frac{70}{\sqrt{t}_{bspr}}\right)}$$
38. C_2 = Coeficiente de corrección por módulo seccional -

$$\sqrt{\left(\frac{40}{\sqrt{S_{spr}}}\right)}$$

INTRODUCCION

El desarrollo integral de la construcción naval en el país está - por comenzar. Dentro de las causas principales que han motivado su retraso en la época moderna; ya que en la época colonial, Guayaquil fué un centro de construcciones navales de gran importancia y prestigio en la América Latina, podemos enumerar las siguientes:

- 1.- Se confió demasiado en la madera como material de construcción, sin propender al desarrollo de las técnicas de construcción de otros materiales, como ser: Acero, plástico reforzado con fibra de vidrio, ferrocemento, etc.
- 2.- Las técnicas de construcción de cascos de acero, se quedaron entancadas. La única empresa en donde su aplicación prosperó, ha sido en ASTINAVE, pero su condición de ser una dependencia de la Marina Mercante, la han hecho medio restringido para proyectar su progreso hacia otras instituciones similares.
- 3.- Las técnicas de construcción de cascos de plástico reforzado con fibra de vidrio, se desarrollan desde 1979, especialmente en el sector pesquero artesanal.
- 4.- Los profesionales de la rama, en este caso los Arquitectos e Ingebieros Navales, no han tenido la oportunidad de desarrollar su labor experimental, para adquirir la experiencia ade

efectiva de protección profesional.

- 5.- No ha existido apoyo ni confianza de parte del Estado Ecuatoriano, hacia los profesionales del ramo, para que planifiquen, organízen, ejecuten y evalúen, proyectos de carácter pesquero, que han contemplado la construcción de embarcaciones.

Por lo expuesto, creo necesario buscar con urgencia nuevas alternativas en la construcción de naves pesuqeras, en un sector como el artesanal, que por su importancia para el desarrollo del país y constituir una actividad de trabajo de miles de ecuatorianos, - obligatoriamente deberá ser atendida en el futuro.

CAPITULO I

ANTECEDENTES

1.1 LA PESCA COSTERA EN EL ECUADOR.- El desarrollo cuantitativo y cualitativo de la pesca costera en el Ecuador (pesca artesanal), ha sido y es lento. Sus unidades de pesca están construidas por balsas, bongos, botes y balandras, construidas en su mayoría de madera, y últimamente de plástico reforzado con fibra de vidrio, cuyas esloras oscilan entre 5 y 12 metros. Para su locomoción utilizan motores fuera de borda y motores estacionarios. Otros, aún conservan velamen de lona.

Su autonomía es entre 12 y 72 horas, utilizando para su captura el anzuelo y enmalle en sus diferentes arreglos y el hielo para conservar la misma, en estiva al granel. Las piezas capturadas en su mayoría son tiburones, picudos, dorado, colorado, pargo, etc.

El proceso de comercialización es antiguo y sencillo. El pescador llega a la playa con su carga, la misma que es vendida por pieza y calidad de conformidad a la oferta y la demanda del mercado, o se la entrega al socio que ha intervenido con el capital para la faena.

No existe control sanitario técnico. Cualquier novedad a este respecto, será descubierta en el mercado y posiblemente - por el ama de casa.

Esta forma de pesca en el país, es similar casi en toda su amplia costa, y es de gran importancia, ya que representa -- una actividad que da ocupación a una numerosa población, y - el producto de la misma, es la que abastece diariamente a la población que consume pescado en su dieta alimenticia.

1.2. PESCA COSTERA PARA EL CONSUMO HUMANO DIRECTO.- A lo largo -- del Litoral ecuatoriano, incluído Galápagos, los pescadores artesanales se encuentran agrupados bajo régimen familiar o en cooperativas. Su trabajo lo realizan diariamente en zonas cercanas y ya conocidas del asiento pesquero. Son miles los compatriotas que encuentran fuente de trabajo en esta actividad, que sirve para proveer directamente el consumo directo de pescado.

La atención que el Estado presta a esta laboriosa comunidad es reducida, pero día a día, es consciente de su importancia.

De conformidad a investigaciones realizadas por la FAO, a pedido del Gobierno Ecuatoriano, en 1976, el sector pesquero artesanal, absorbía a 40.000 personas en su actividad. El BID, en su estudio realizado entre 1968 y 1972, estableció - que el consumo per cápita, era de 10,6 kg x año/habitante.

La Empresa Pesquera Nacional (EPNA), asumió la responsabilidad de ejecutar el programa denominado "Desarrollo de la pesca costera para consumo humano", financiado por el Banco Interamericano de Desarrollo y el Gobierno Nacional. El mismo, tenía por objetivo, elevar el consumo per cápita de pescado,

cuada. Además, a la presente fecha, no cuentan con una Ley del pueblo ecuatoriano, a 15 kg x año/habitante, a 1980; para lo cual, debería incrementarse el volumen anual de descarga a 10.000 toneladas cúbicas.

Al efecto, sería necesario entregar al sector, embarcaciones eficientes en rendimiento de captura y rentables. Equipadas con tecnología moderna, apoyadas por una adecuada infraestructura de desembarco, manejo y comercialización.

En cuanto se refiere a las naves en sí, se proyectaba construir 18 barcos de 12 metros de eslora, 75 lanchas de 9 metros, a un costo aproximado de 2'000.000,00 dólares. Este proyecto, tuvo algunos inconvenientes en su planificación y ejecución, y finalmente fue suspendido. No es mi objetivo analizar las causas del fracaso de este proyecto, que significó un duro golpe para el desarrollo de este importante sector, pero debo de señalar que uno de los factores que incidieron en el mismo, fueron las pocas alternativas existentes en el país, para que asumiera la construcción de las naves - de este tipo; y dentro de esto, las posibilidades de elección de materiales a emplearse.

CAPITULO II

OBJETIVO

2.1 INTRODUCCION DE NUEVAS TECNICAS Y MATERIALES DE CONSTRUCCION DE BARCOS PESQUEROS.- Hasta la presente fecha los materiales usados en el país, para la construcción de barcos pesqueros, son los siguientes:

- a) Madera, el más antiguo y conocido. Su aplicación se va limitando por su escasez ; alto costo y limitante en relación a la eslora.
- b) Acero, de uso limitado, por no producirse en el país, y no contar con suficientes instalaciones de construcción.
- c) Plástico reforzado con fibra de vidrio, de reciente aplicación y buena aceptación, principalmente en el sector pesquero artesanal en lanchas de hasta 12 metros de eslora.

El objetivo del presente trabajo es presentar el ferrocemento, como nuevo material de construcción de barcos, especialmente pesqueros de mediana eslora, con la finalidad de propender el desarrollo de su técnica de construcción, para que los profesionales del ramo, cuenten con un nuevo material de construcción en sus alternativas de diseño y construcción.

2.2 APLICACION DEL FERROCEMENTO.- El ferrocemento es un material similar al concreto reforzado, sumamente versátil, hecho de cemento, arena, armadura reforzada de acero y tela metálica.

La diferencia esencial entre el ferrocemento y el cemento - reforzado, es el uso en la construcción de aquel, de un fino agregado de arena y la presencia de la fina malla de refuerzo de una delgada estructura de envoltura que le da flexibilidad y esfuerzo de corte, y un aumento de resistencia a la corrosión del acero, debido a la restricción del "ancho de grieta", por debajo de los valores críticos que permiten el paso de la humedad, hacia el interior de la placa.

La aplicación del ferrocemento en el país, es factible en consideración que:

- Los materiales básicos de construcción: cemento, arena, varillas de acero, alambre y malla metálica, existen en el medio.
- No son necesarias instalaciones costosas.
- Existe mano de obra calificada, que con un entrenamiento adecuado, puede absorber con facilidad la técnica de construcción.

A más de su aplicación en la construcción de barcos pesqueros, existen una infinidad de aplicaciones potenciales en el campo de la Ingeniería, agroindustria, etc.

2.3. MATERIALES Y MANO DE OBRA:

Tela Metálica.- Es el material básico en la construcción de ferrocemento. La misma que debe reunir las siguientes cualidades fundamentales: Resistencia a la tracción, moldeabilidad y flexibilidad. Su colocación debe estar lo más pró-

xima a las superficies exteriores de las secciones, en una distancia recomendable de 2 m.m.

De conformidad a los datos experimentales existentes, el diámetro del alambre debe estar entre 1,000 y 0.912 m.m., con una separación aproximada de 14 m.m.

La construcción de la malla puede ser soldada o de unión torcida, galvanizada o no galvanizada.

La proporción de 25 lbs. de acero (armadura de malla y refuerzo) por cada pie cúbico de mortero empleado, es la que ha dado mejores resultados en la construcción de las chapas de ferrocemento.

El Mortero.- El mortero debe reunir las siguientes cualidades: alta resistencia a la compresión, impermeabilidad, dureza, resistencia a los ataques de substancias químicas y consistencia para compactarse sin dejar vacío en sus interiores en el momento de su aplicación, especialmente en las secciones de refuerzos o unión de terminales de la malla metálica.

Una muestra en forma de cubo de 75 m.m. de lado, a los 28 días de fundición, que tenga más de 6.000 lbs. por pulgada cuadrada de resistencia a la compresión, experimentalmente ha demostrado, que reúne un alto porcentaje de las condiciones exigidas al mortero, de óptimo comportamiento en la construcción de un casco de ferrocemento.

El cemento ideal a utilizarse debe ser resistente a los sulfatos, y a la contracción, en el proceso de curación. Pero en todo caso, el cemento "Portland", puede ser empleado satisfactoriamente.

La arena debe contener partículas de piedra y granos de sílice duro. Además, libre de tierras y arcillas.

El mortero debe estar completamente húmedo para su aplicación. Se le puede agregar ADITIVOS, que mejoren su impermeabilidad, su aplicación y su cohesión.

La destreza para armar una estructura de ferrocemento y aplicar mortero, puede ser adquirida rápidamente por obreros que tengan experiencia en construcción de hormigón armado. Dirigidos por Técnicos con amplia experiencia práctica en los trabajos de ferrocemento, aseguran éxito en la construcción.

En el Ecuador, existe la mano de obra calificada, lista para ser usada en estos menesteres.

CAPITULO III

DISEÑO PRELIMINAR

3.1. REQUERIMIENTOS

Diseño de una embarcación para pesca costera, que opera desde el asiento pesquero de Jaramijó en la Provincia de Manabí, en un radio de acción de 50 millas, con una autonomía de navegación continua de 4 días, y una tripulación de 4 hombres. El sistema de pesca a utilizarse será el trasmallo y palangre de fondo y media agua, para capturar especies de carne blanca, localizadas a 15 y 20 millas de la costa y a 80 y 100 brazas de profundidad, como ser: murico, colorado, perera, camotillo, pargo, tollo, cabezudo, picudo, dorado, albacora, bonito y morenilla, conservados en hielo.

Laborará durante todo un año, con un promedio de 40 viajes anuales, por ser éste la media anual de faena de esta clase de embarcaciones, de acuerdo a la tradición pesquera de la región, con una velocidad de crucero de 8 nudos, con buen tiempo.

3.2. DESCRIPCION GENERAL DE LA EMBARCACION

La eslora total oscilará entre 12 y 13 metros; el casco, la cubierta y los mamparos, serán de ferrocemento; la caseta de madera forrada con plywood. El equipo de pesca será accionado eléctricamente, la máquina principal será diesel. La capacidad neta de la bodega de pescado será de aproximadamente 5 toneladas, estibado 60% al granel hacia las bandas de las bodegas; y, 40% en cajas, en el centro de la bodega. Todo conservado con hielo desmenuzado.

Finalmente, estará equipado con un pequeño ecosonda, para la detección de los peces.

3.3 SOCIEDAD CLASIFICADORA

Para la determinación del escantillonado del casco y la cubierta, se utilizará como referencia las Reglas Tentativas para la construcción y clasificación de embarcaciones de ferrocemento - mayores de 30 metros de la DET NORSKE VERITAS (1.974).

3.4 SELECCION DE DIMENSIONES Y CARACTERISTICAS PRINCIPALES

Para establecer las dimensiones tentativas principales, se han tabulado las principales características de barcos pesqueros de ferrocemento, que actualmente operan en el mundo (Tabla # 1)

Posteriormente, en base de estos datos, establecemos las siguientes relaciones: (Tabla # 2).

$$a_1 = Lwl/Bwl$$

$$a_2 = Bwl/T$$

$$a_3 = Bwl/D$$

Las mismas que graficamos en función del volumen de bodega correspondiente, obteniendo los gráficos # 1, 2, 3, con la respectiva ecuación de la recta característica.

De las relaciones a_1 , a_2 , y a_3 obtenemos:

$$Lwl = a_1 Bwl$$

$$T = Bwl/a_2$$

$$D = Bwl/a_3$$

DIMENSIONES Y CARACTERISTICAS PRINCIPALES DE BARCOS
PESQUEROS DE FERROCEMENTO QUE ACTUALMENTE OPERAN EN EL MUNDO.

FUENTE : FISH BOATS OF THE WORLD 3

| | LWL | 12.20 | 12.16 | 10.97 | 12.57 | 12.17 | 12.89 | 13.70 | 11.32 | 13.40 | 13.60 | 11.50 | 10.97 | 11.63 | 9.76 | 10.50 | 12.60 |
|-------------------|-------|-------|-------|-------|-------|-------|-------|-------|-------|-------|-------|-------|-------|-------|-------|-------|-------|
| BWL | 3.81 | - | 3.35 | 3.05 | 3.05 | 3.06 | 3.22 | 2.90 | 3.20 | 3.84 | 3.80 | 3.60 | 3.66 | 2.90 | 3.12 | 4.03 | |
| D | 1.20 | - | - | 1.93 | 1.43 | 1.73 | 2.22 | 1.03 | 1.25 | 1.80 | 1.65 | 1.64 | 1.26 | 1.50 | 1.85 | | |
| T | - | - | - | - | - | - | - | - | - | - | 1.05 | 0.99 | 1.22 | 0.76 | - | - | |
| A | 12.00 | 15.60 | 5.60 | - | - | - | - | - | - | - | 14.00 | 12.32 | 17.55 | 7.43 | - | - | |
| V _b | - | - | 3.30 | 3.30 | 3.30 | 2.64 | 3.70 | 3.96 | - | 6.00 | 6.80 | 9.90 | 5.70 | 8.50 | 12.00 | | |
| V _b /Δ | - | - | - | - | - | - | - | - | - | .42 | .55 | .56 | .76 | - | - | | |
| C _b | - | - | - | - | - | - | - | - | - | .297 | .307 | .329 | .336 | - | - | | |

TABLA N° 1

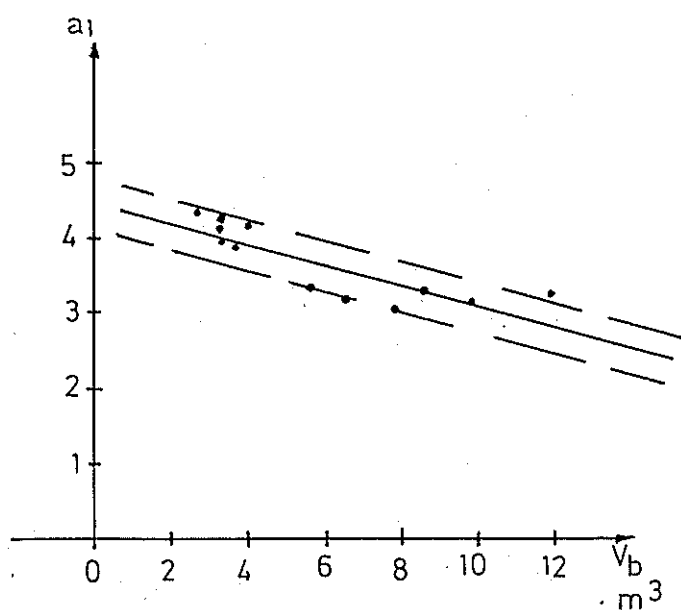
RELACIONES: α_1 , α_2 , α_3 .

| V_b | 2.64 | 3.30 | 3.30 | 3.30 | 3.70 | 3.96 | 5.70 | 6.80 | 7.90 | 8.50 | 9.90 | 12.00 |
|----------------------------|------|------|------|------|------|------|------|------|------|------|------|-------|
| $\alpha_1 = L_{WL}/B_{WL}$ | 4.25 | 4.12 | 3.99 | 4.21 | 3.90 | 4.18 | 3.36 | 3.13 | 3.02 | 3.36 | 3.17 | 3.12 |
| $\alpha_2 = B_{WL}/T$ | - | - | - | - | - | - | 3.81 | 3.53 | 3.61 | - | 3.00 | - |
| $\alpha_3 = B_{WL}/D$ | 2.63 | 1.58 | 2.13 | 1.76 | 2.81 | 2.96 | 2.30 | 2.13 | 2.30 | 2.08 | 2.23 | 2.17 |

TABLA Nº 2

FUENTE: Autor

Relacion $LWL/BWL = a_1$, en función de V_b



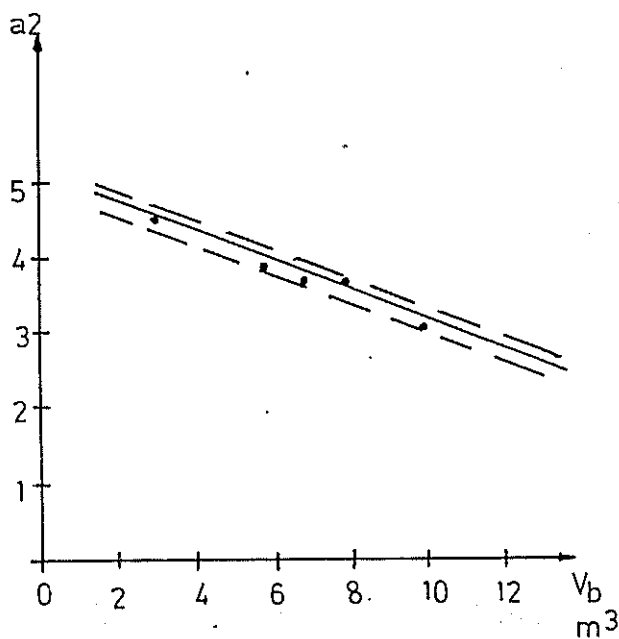
FUENTE : AUTOR

$$Y = mx + b$$

$$a_1 = -1.7 V_b + 4.77$$

FIGURA N° 1

Relación $B_{WL} / T = a_2$, en función de V_b



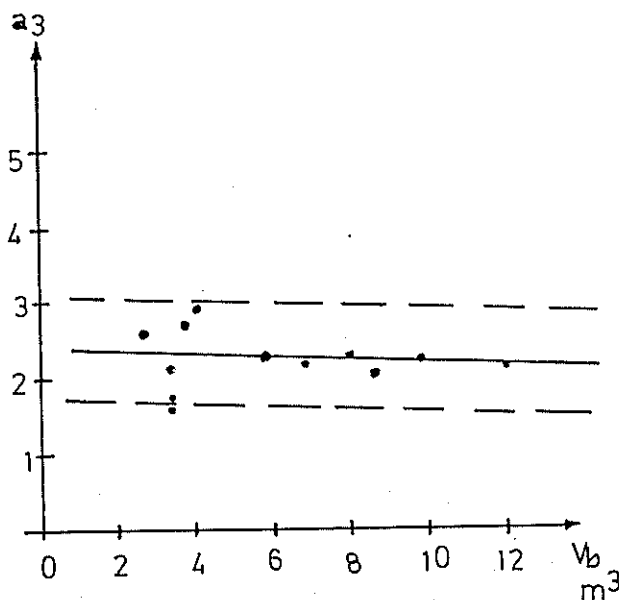
FUENTE: AUTOR

$$Y = mx + b$$

$$a_2 = -0.19 V_b + 5.09$$

FIGURA N° 2

Relacion $B_{WL}/D = a_3$, en función de V_b



FUENTE : AUTOR

$$Y = mx + b$$

$$a_3 = -0.16 V_b + 2.39$$

FIGURA N° 3

Conocemos que:

$$\begin{aligned}\nabla &= Lwl \times T \times Cb \\ &= a_1 Bwl \times \frac{Bwl}{a_2} \times Cb \\ &= (Bwl)^3 \times \frac{a_1 Cb}{a_2}\end{aligned}$$

$$Bwl = \sqrt[3]{\frac{\nabla \times a_2}{Cb \times a_1}}$$

Para la primera aproximación, asumimos los siguientes valores:

- a) $Cb = 0.35$; el coeficiente de bloque en los barcos pesqueros, tiene un rango permisible entre 0.3 y 0.78. De la tabulación de las principales características de barcos pesqueros de fondeo que actualmente operan en el mundo, el coeficiente de bloque varía entre .297 y .336 (Tabla # 1).
- b) $V_b = 10 \text{ m}^3$; se necesita 0.5 toneladas de hielo, para conservar 1.0 tonelada de pescado. Se incluye además, 25% de espacio necesario para el asilamiento y cajas.
- c) $\frac{V_b}{C} = 0.6$; el rango de variación de ésta relación, oscila entre .42 y 0.75 (Tabla # 2). De esta relación hacemos la primera estimación de desplazamiento.

$$\frac{V_b}{C} = 0.6 \frac{\text{m}^3}{\text{ton.}} = \frac{10 \text{ m}^3}{0.6 \frac{\text{m}^3}{\text{ton.}}} = 16.66 \text{ ton.}$$

$$= \frac{V_b}{0.6} \text{ ton.} = 16.26 \text{ m}^3.$$

De las figuras # 1, 2 y 3; y, con $V_b = 10 \text{ m}^3$. obtenemos:

$$a_1 = 3.10$$

$$a_2 = 3.15$$

$$a_3 = 2.20$$

$$Bwl = \frac{16.26 \times 3.15}{0.35 \times 3.10} = 3.620 \text{ metros}$$

$$Lwl = \frac{3.10 \times 3.62}{1} = 11.22 \text{ metros}$$

$$T = \frac{3.62}{3.15} = 1.14 \text{ metros}$$

$$D = \frac{3.62}{2.20} = 1.64 \text{ metros}$$

Resumen de características principales:

$$Lwl = 11.22 \text{ metros}$$

$$Bwl = 3.62 \text{ metros}$$

$$D = 1.64 \text{ metros}$$

$$T = 1.14 \text{ metros}$$

$$Cb = 0.35$$

$$V_b = 10 \text{ metros cúbicos}$$

$$= 11.22 \text{ m} \times 3.62 \text{ m} \times 1.14 \text{ m} \times 0.35 = 16.20 \text{ m}^3$$

$$= 16.20 \text{ m}^3 \times 1.025 \text{ ton/m}^3 = 16.6 \text{ ton.}$$

$$CUNO = 11.22 \text{ m} \times 3.62 \text{ m} \times 1.64 \text{ m.} = 66.61 \text{ m}^3$$

3.4.1. Cálculo del desplazamiento ligero,

De las figuras # 4, obtenemos los siguientes valores:

| | | | |
|------------------------------|---|-------|--------------|
| a) Área estimada del casco | = | 74 | m^2 |
| Área estimada de la cubierta | = | 23 | m^2 |
| 20% de manparos y otros | = | 19.4 | m^2 |
| | | 116,4 | m^2 |

PESO POR METRO CUADRADO DEL CASCO Y CUBIERTA
EN FUNCION DEL NUMERO CUBICO

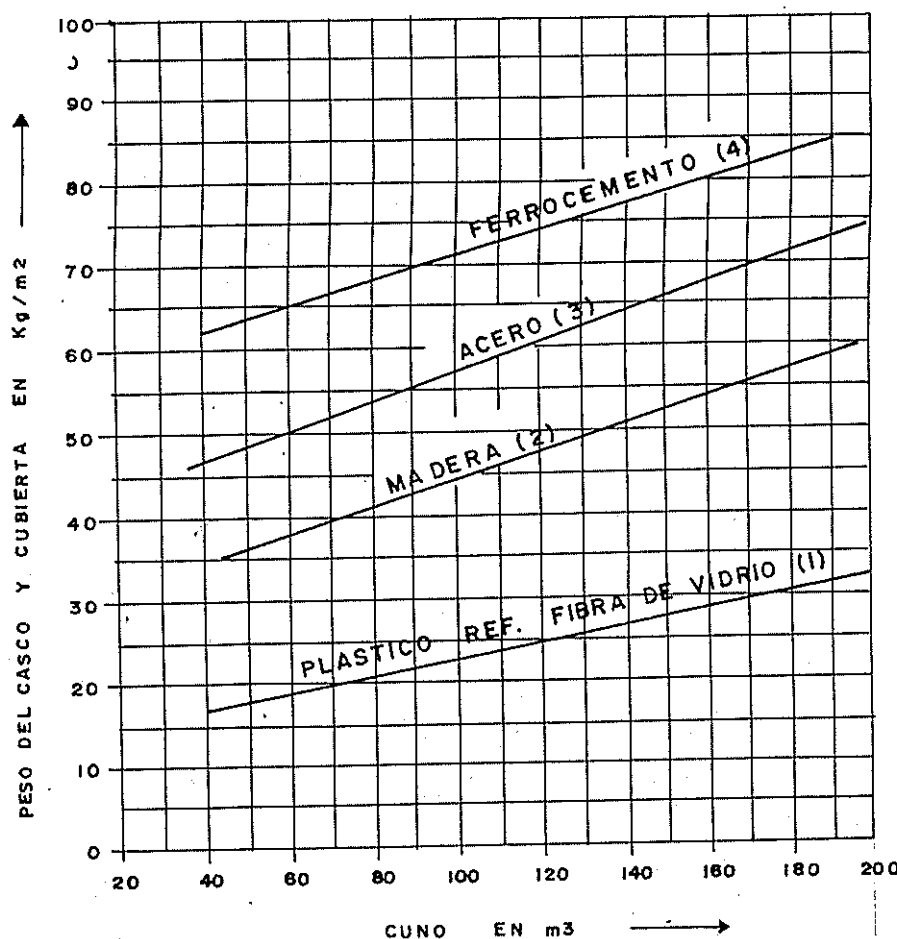


FIGURA N° 4

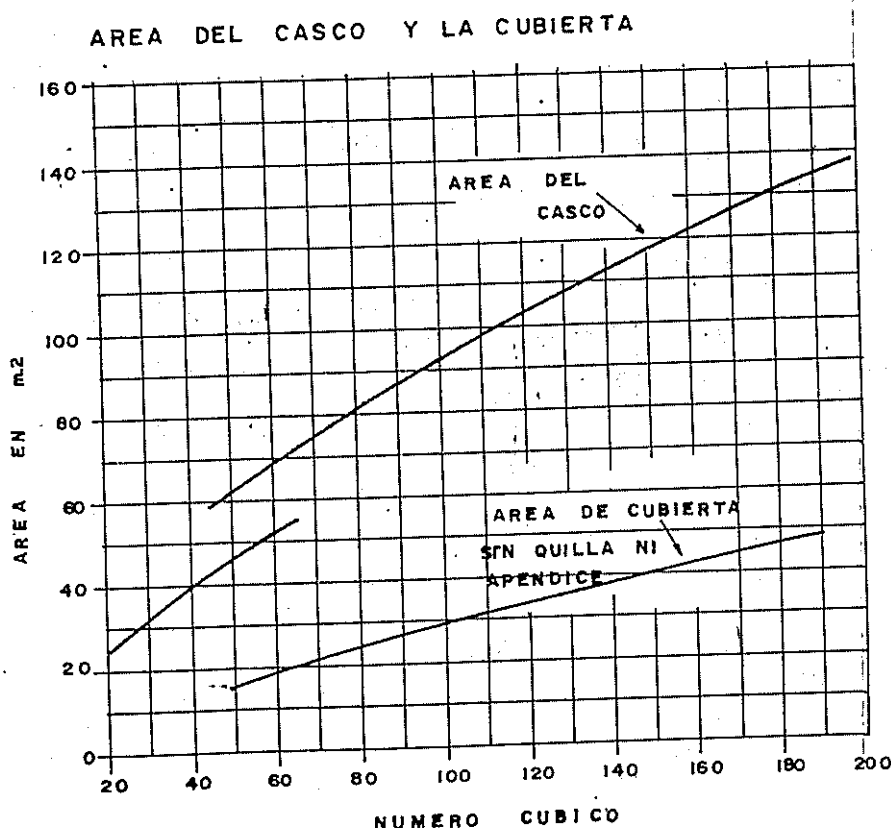


FIGURA N° 5

Estimaciones preliminares de peso:

- 1) Alistamiento: $40 - 50 \text{ Kg/m}^3 \times \text{CUNO}$
- 2) Motor principal y auxiliar:
 $7.5 - 25.0 \text{ Kg/m}^3 \times \text{CUNO}$
- 3) Equipo de Pesca:
 $7.0 - 8.5 \text{ Kg/m}^3 \times \text{CUNO}$

Para el desplazamiento liviano, se incrementa el 10%

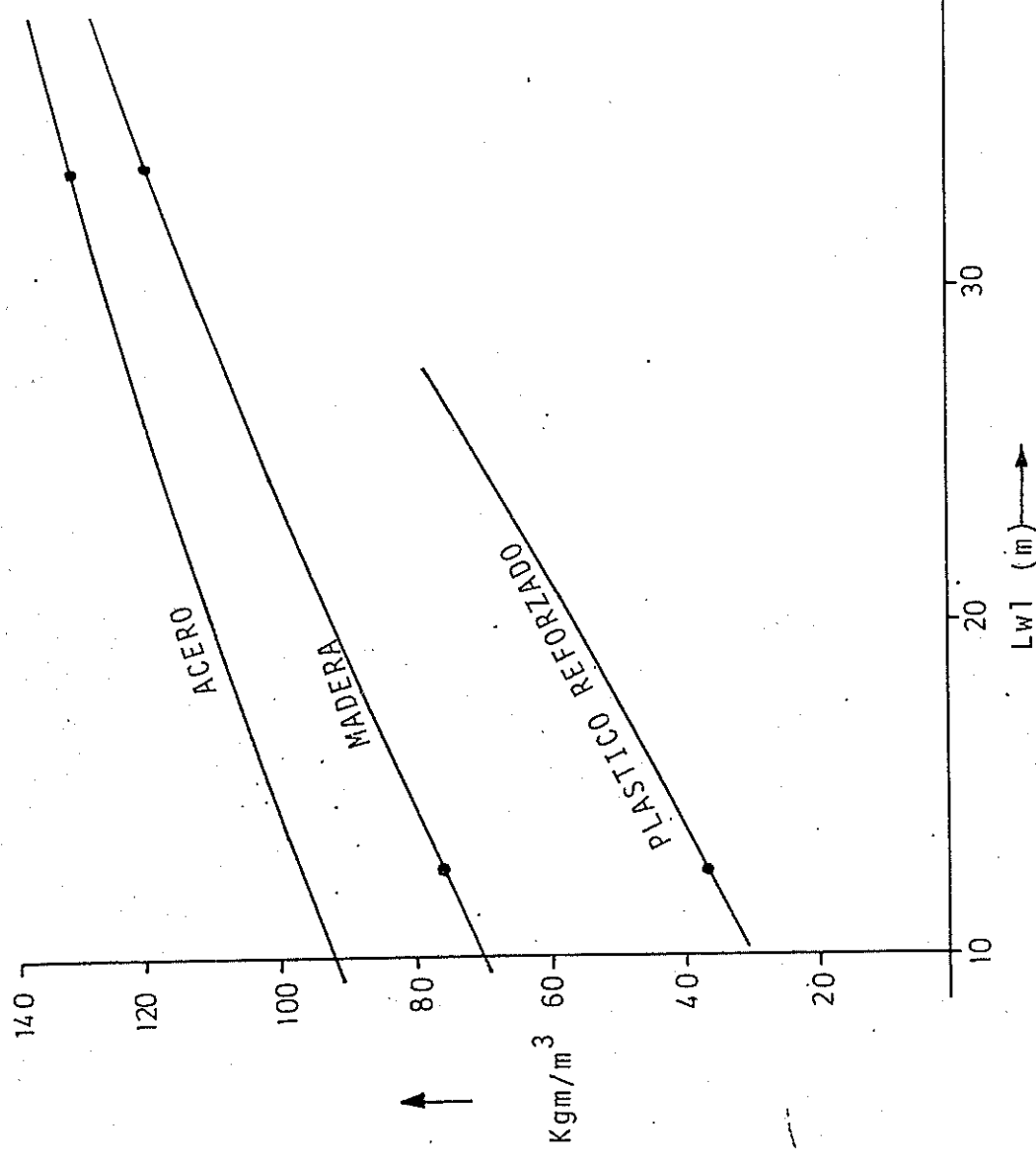


FIGURA Nº 5.

Se asume : 10 Hg/m^2 como peso de la estructura del ferrocemento

$$P_c = 116,4 \text{ m}^2 \times 70 \text{ Hg/m}^2$$

De la figura # 5, obtenemos:

b) Peso del alistaramiento

$$P_a = 40 \text{ Kg/m}^3 \times \text{CUNO}$$

c) Peso del motor principal y auxiliares. (Pm.p)

$$P_{m.p} = 15.0 \text{ Kg/m}^3 \times \text{CUNO}$$

d) Peso del equipo de pesca. (Pe.p)

RESUMEN:

$$P_e = 116,4 \text{ m}^2 \times 70 \text{ Kg/m}^2 = 8.126.42 \text{ kg.}$$

$$P_a = 40 \text{ Kg/m}^3 \times 66.61 \text{ m}^3 = 2.664,40 \text{ kg.}$$

$$P_{m.p.} = 15 \text{ Kg/m}^3 \times 66.61 \text{ m}^3 = 999.15 \text{ Kg.}$$

$$P_{e.p.} = 7 \text{ Kg/m}^3 \times 66.61 \text{ m}^3 = \underline{\underline{466.27 \text{ kg.}}}$$

$$12.256.55 \text{ Kg.}$$

$$+ 10\% \quad \underline{\underline{1.225.65 \text{ Kg.}}}$$

$$\text{DESPLAZAMIENTO LIGERO} \quad = 13.482.20 \text{ Kg.}$$

3.4.2 Cálculo del porte bruto

a) Potencia de la máquina. De la figura # 6, obtenemos la potencia de la máquina principal, en función del número cúbico: HP = 65

b) Peso de combustible (p.c.)

$$p.c = 0.19 \text{ Kg/hora} \times \text{H.P.} \times 65 \text{ H.P.} \times 4 \text{ días} \times 24 - \text{horas/días} = 1.185.6 \text{ Kg.}$$

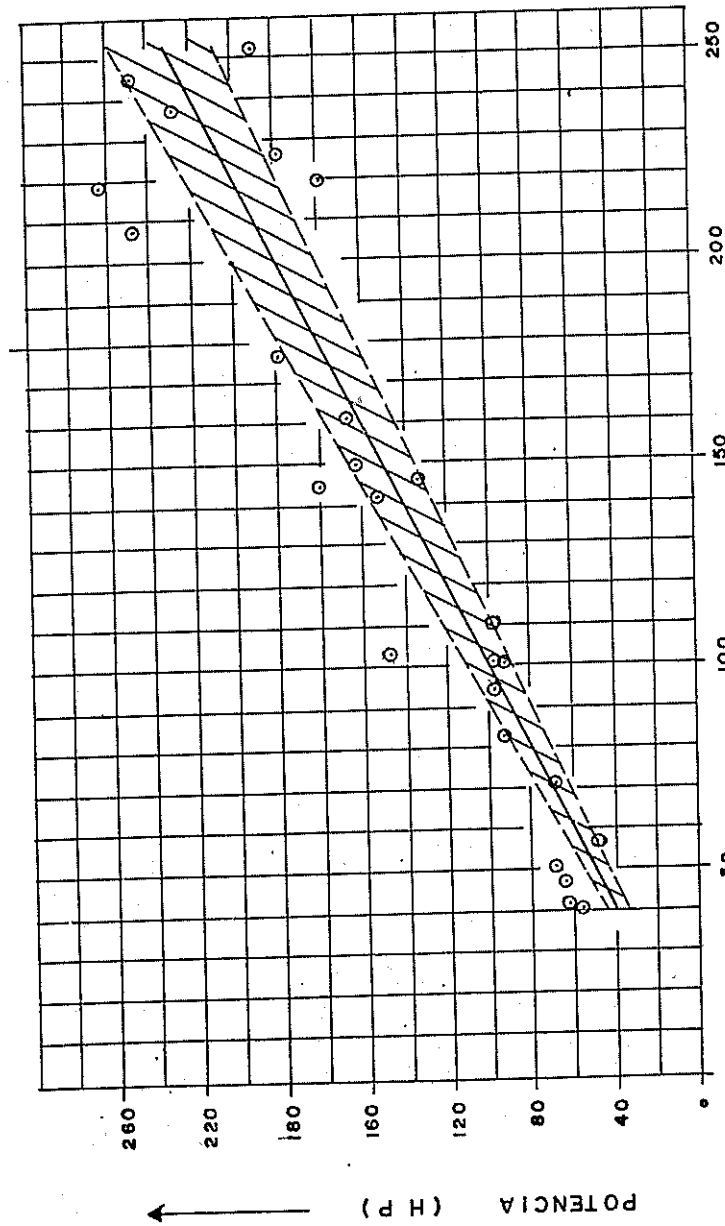
c) Peso del hielo (p.h)

$$p.h. = 0.5 \times 5 \text{ ton.} = 2.5 \text{ ton.} = 2.500 \text{ Kg.}$$

d) Peso de tripulación (p.t)

$$p.t. = 4 \text{ hombres} \times 100 \text{ kg/hombre} = 400 \text{ kg.}$$

POTENCIA DEL MOTOR PRINCIPAL EN FUNCION DE NUMERO CUBICO



FUENTE : FYSON J. F

FIGURA N° 6

e) Peso de los aparejos de pesca (pa.p) = 500 Kg.

f) Peso de agua dulce (p.a.d)

$$p.a.d = 10 \text{ Kg/día} \times \text{trip} \times 4 \text{ trip} \times 4 \text{ días} = 160\text{Kg.}$$

g) Peso de las provisiones (p.p.r)

$$p.p.r = 4 \text{ trip} \times 4 \text{ días} \times 5 \text{ kilos/trip} \times \text{día} = 90\text{Kg.}$$

h) Peso del pescado (p.p)

$$p.p = 5.000 \text{ Kg.}$$

RESUMEN:

$$p.e = 1.185.6 \text{ Kg.}$$

$$p.h = 2.500.0 "$$

$$p.t = 400.0 "$$

$$p.a.p = 500.0 "$$

$$p.a.d = 160.0 "$$

$$p.p.r = 90.0 "$$

$$p.p = \underline{5.000.0 "}$$

$$\text{Porte Bruto} = 9.835.6 \text{ Kg.}$$

3.4.3. Cálculo de desplazamiento total, en tres condiciones de carga diferentes.

| <u>ITEMS</u> | <u>SALIDA DE PUERTO</u> | <u>A MEDIA CARGA</u> | <u>A MAXIMA CARGA</u> |
|--------------|-------------------------|----------------------|-----------------------|
| p.c | 1.185.6 Kg | 592.8 Kg | 592.8 Kg |
| p.a.d | 160.0 " | 80.0 " | 80.0 " |
| p.p | 0.0 " | 2.500.0 " | 5.000.0 " |
| p.h | 2.500.0 " | 1.250.0 " | 1.250.0 " |
| p.a.p | 500.0 " | 500.0 " | 500.0 " |
| p.t | 400.0 " | 400.0 " | 400.0 " |

| | | | |
|-----------------------|------------|------------|------------|
| p.p.r | 90.0 Kg | 45.0 Kg | 45.0 Kg |
| Porte Bruto | 4.835.6 " | 5.139.8 " | 7.639.8 " |
| Desplazamiento | | | |
| Liviano | 13.482.2 " | 13.482.2 " | 13.480.2 " |
| Desplazamiento | | | |
| Total | 18.317.8 " | 18.622.0 " | 21.119.0 " |

El desplazamiento preliminar asumido es de 16.6 ton., que está muy por debajo de los resultados obtenidos.

3.4.4 Nueva aproximación para la estimación de las dimensiones y características principales.

Asumimos:

$$V_b = 11 \text{ m}^3$$

$$\frac{V_b}{\Delta} = 0.55 \frac{\text{m}^3}{\text{ton.}}$$

$$\Delta$$

$$C_b = 0.36$$

De los gráficos # 1, 2 y 3.

$$a_1 = 3.00$$

$$a_2 = 2.95$$

$$a_3 = 2.20$$

$$\Delta = \frac{11}{0.55} = 20 \text{ ton.}$$

$$\nabla = 19.51 \text{ m}^3$$

$$B_{w1} = \sqrt[3]{\frac{19.51 \times 2.95}{0.36 \times 3.00}} = 3.76 \text{ m.}$$

$$L_{w1} = 3.76 \times 3.10 = 11.66 \text{ m.}$$

$$T = \frac{3.76}{2.95} = 1.27 \text{ m.}$$

$$D = \frac{3.76}{2.20} = 1.70 \text{ m.}$$

$$CUNO = 11.66 \text{ m} \times 3.76 \text{ m} \times 1.70 \text{ m} = 74.53 \text{ m}^3$$

3.4.4.1 Cálculo del desplazamiento liviano

$$P_c = 121 \text{ Kg/m}^3 \times 74.53 \text{ m}^3 = 9.018,2 \text{ Kg}$$

$$P_a = 40 \text{ Kg/m}^3 \times 74.53 \text{ m}^3 = 2.981,2 \text{ "}$$

$$P_p = 15 \text{ Kg/m}^3 \times 74.53 \text{ m}^3 = 1.117,9 \text{ "}$$

$$P_{ep} = 7 \text{ Kg/m}^3 \times 74.53 \text{ m}^3 = 521,7 \text{ "}$$

$$13.639,0 \text{ Kg}$$

$$+ 10\% \quad 1.363,9 \text{ "}$$

$$\text{DESPLAZAMIENTO LIVIANO} \quad 15.002,9 \text{ Kg}$$

3.4.4.2 Cálculo del Porte Bruto

Se asume el encontrado en el primer tanteo, ya que su variación es mínima

3.4.4.3 Cálculo del desplazamiento total, en tres condiciones de carga diferentes

| ITEMS | Salida de Caladero | Media carga | Máxima carga |
|------------------|--------------------|-------------|--------------|
| Porte Bruto | 5.291,6 Kg | 5.595,8 Kg | 8.095,8 Kg |
| Desplaz. Liviano | 15.002,9 " | 15.002,9 " | 15.002,9 " |
| Desplaz. Total | 20.294,5 " | 20.598,7 " | 23.098,7 " |

El desplazamiento obtenido (20 Ton.), representa el 97% del desplazamiento a media carga; y, el 87% del desplazamiento a máxima carga, lo cual se considera aceptable.

Resumen de las dimensiones y características - principales, preliminares:

$$Lwl = 11.66 \text{ m.}$$

$$Bwl = 3.76 \text{ m.}$$

$$T = 1.27 \text{ m.}$$

$$D = 1.70 \text{ m.}$$

$$CUNO = 74.53 \text{ m}^3.$$

$$Vb = 11 \text{ m}^3$$

$$\frac{Vb}{\Delta} = 0.55$$

$$Cb = 0.36$$

$$\Delta = 20.54 \text{ Ton.}$$

3.5 Francobordo y calado

Francobordo de construcción (F.c)

$$F.c = 1.70 \text{ m} - 1.27 \text{ m} = 0.43 \text{ m.}$$

Toneladas por centímetro de inmersión (TPC 1)

$$TPC1 = Lwl \times Bwl \times Cwl \times \frac{1}{100} \times 1.025$$

$$= 11.66 \times 3.76 \times 0.7 \times \frac{1}{100} \times 1.025$$

$$= 0.3145$$

Variación de calado (ΔT)

$$(\Delta T) Salida = \frac{20.29 - 20.54}{0.3145} = -0.8 \text{ cm.}$$

$$(T) Salida = 127.0 \text{ cm} - 0.8 \text{ cm} = 126.2 \text{ cm.}$$

$$(F) Salida = 170,00 - 126.2 = 43.8 \text{ cm.}$$

$$(\Delta T) Media \ carga = \frac{20.59 - 20.54}{0.3145} = 0.16 \text{ cm.}$$

(T) Media carga = 127 cm + 0.16 cm. = 127.16 cm.

(F) Salida = 170.0 - 127.16 = 42.84 cm.

$$(\Delta T) = \frac{23.1 - 20.54}{0.3145} = 8.14 \text{ cm.}$$

(T) Máxima carga = 127 cm. + 8.14 cm. = 135.14 cm.

(F) Máxima carga = 170 cm. - 135.14 cm. = 34.86 cm.

De conformidad a las normas básicas de seguridad para barcos pesqueros, dictadas por IMCO:

$\frac{f m'm}{BwL}$, tiene un rango permisible entre 0.02 y 0.20

De los resultados obtenidos,

$$\frac{f m'm}{BwL} = \frac{34.86 \text{ cm}}{376 \text{ cm}} = 0.0927$$

Lo cual se considera aceptable

3.6 Con los datos obtenidos, trabajamos el bosquejo preliminar de las líneas de forma (Fig. # 7), arreglo general (Fig. # 8); y, capacidad de bodega (Fig. # 9).

BOSQUEJO : PRELIMINAR DE
LINEAS DE FORMA

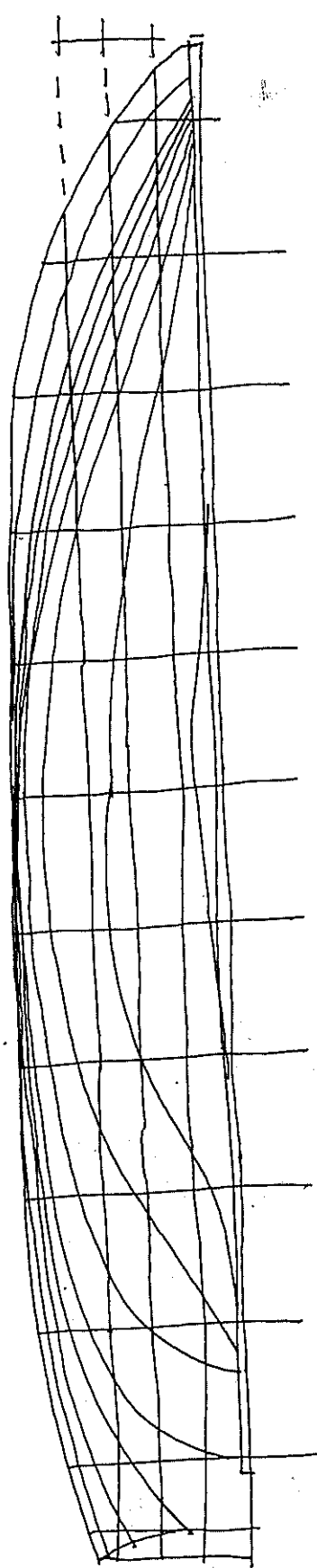
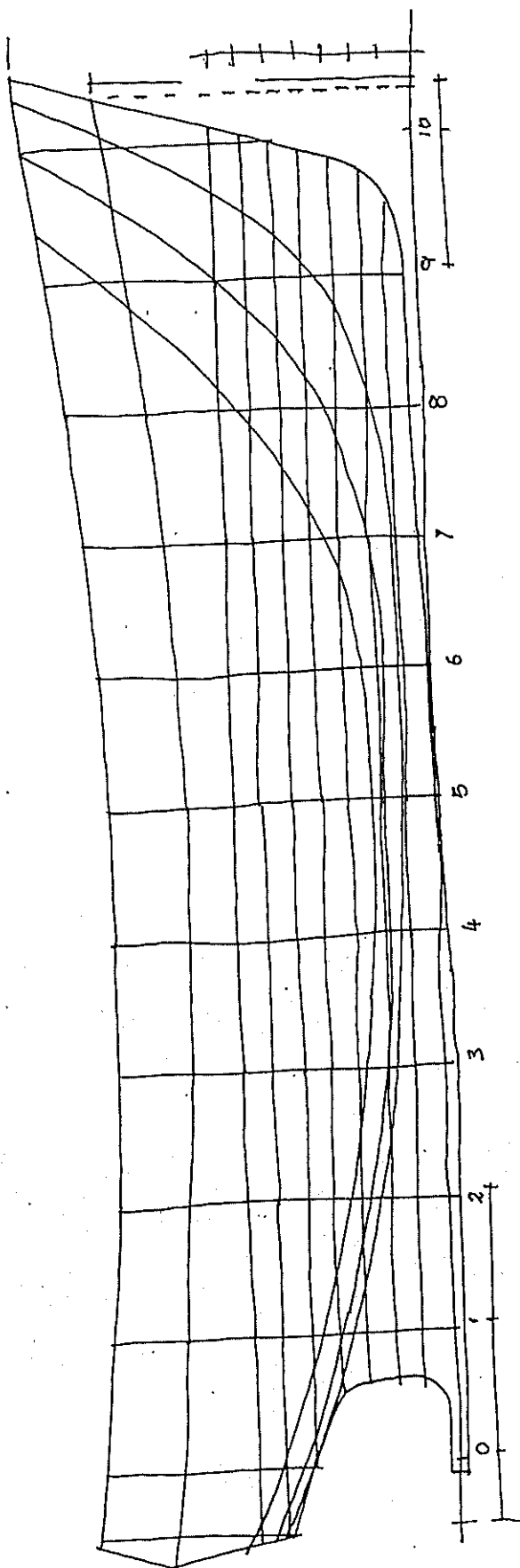


FIGURA N° 7

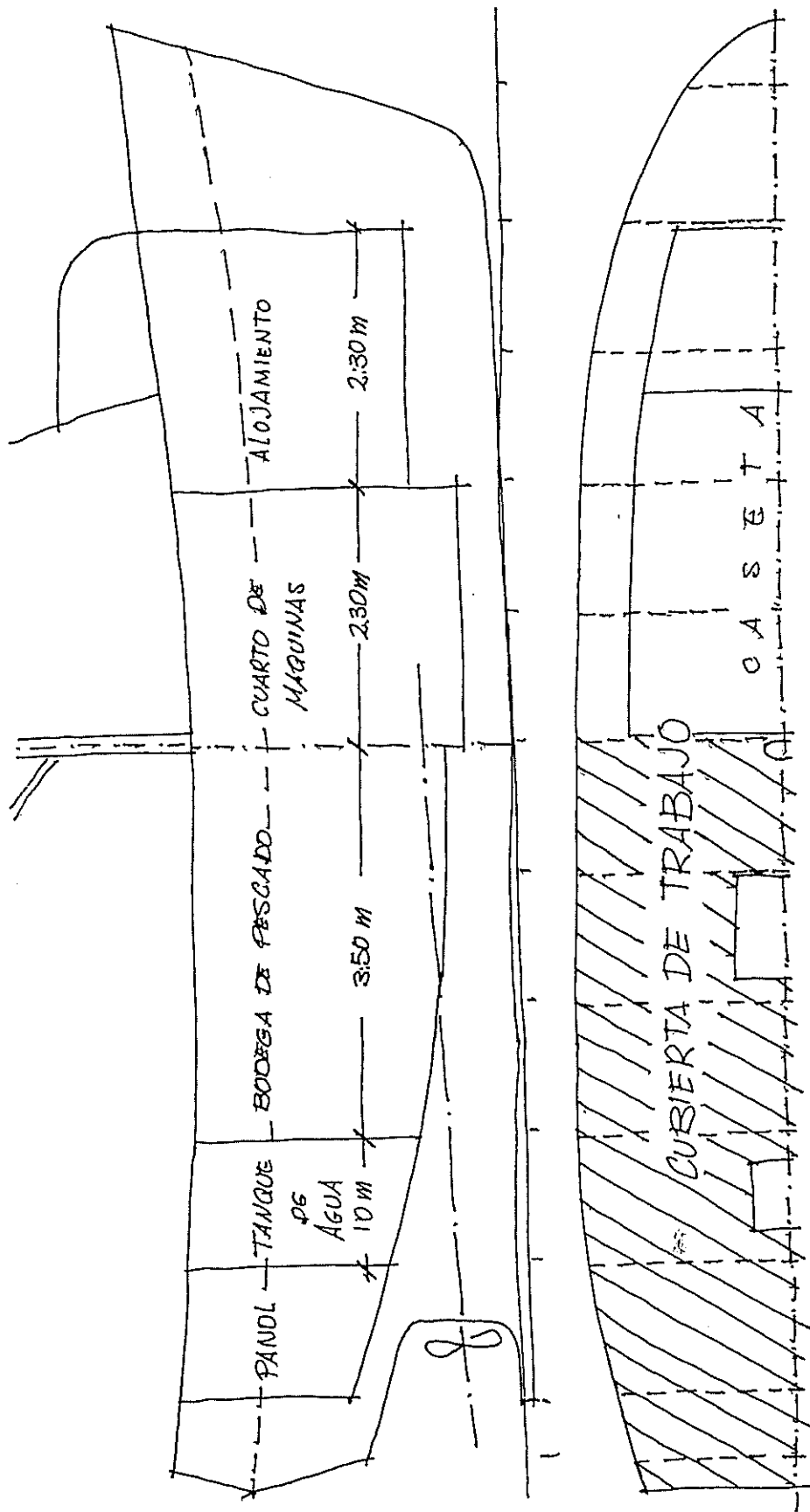


FIGURA. N° 8

DETERMINACION PRELIMINAR DE LAS
CAPACIDADES INTERNAS

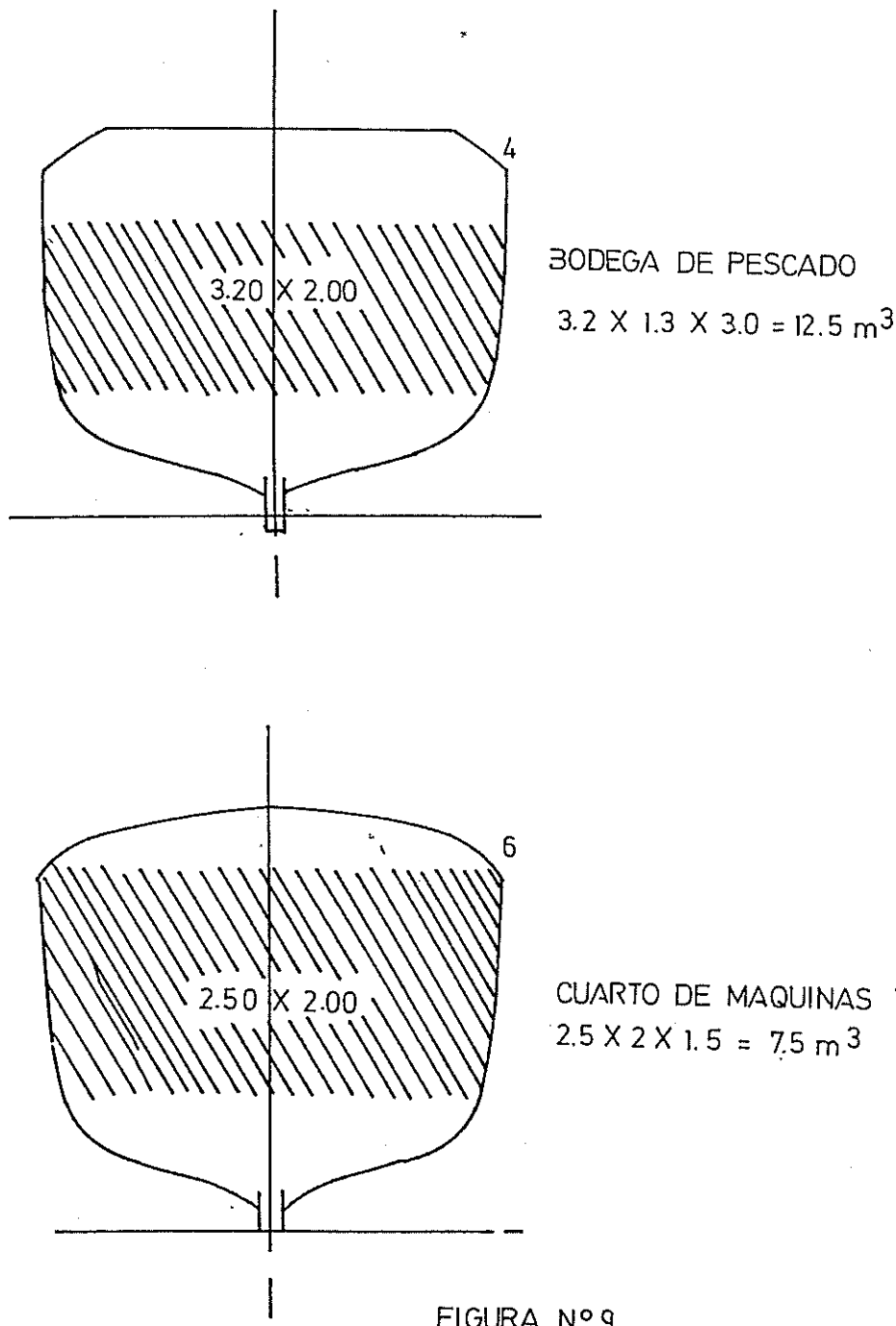


FIGURA N° 9

CAPITULO IV

DISEÑO DEFINITIVO

4.1 LÍNEAS DE FORMAS

Tomando como base las dimensiones principales de la embarcación obtenidas en el Diseño Preliminar, esto es:

$$Lwl = 11.66 \text{ m.}$$

$$Bwl = 3.76 \text{ m.}$$

$$T = 1.27 \text{ m.}$$

$$D = 1.70 \text{ m.}$$

Trabajamos las líneas de formas (Plano No. 1).

De las mismas, obtenemos las dimensiones principales definitivas:

$$L = 12.96 \text{ m.}$$

$$Lpp = 12.26 \text{ m.}$$

$$Lwl = 11.60 \text{ m.}$$

$$B = 3.60 \text{ m.}$$

$$T = 1.18 \text{ m.}$$

$$D = 2.00 \text{ m.}$$

La tabla de puntos correspondiente se muestra en (Tabla No. 3)

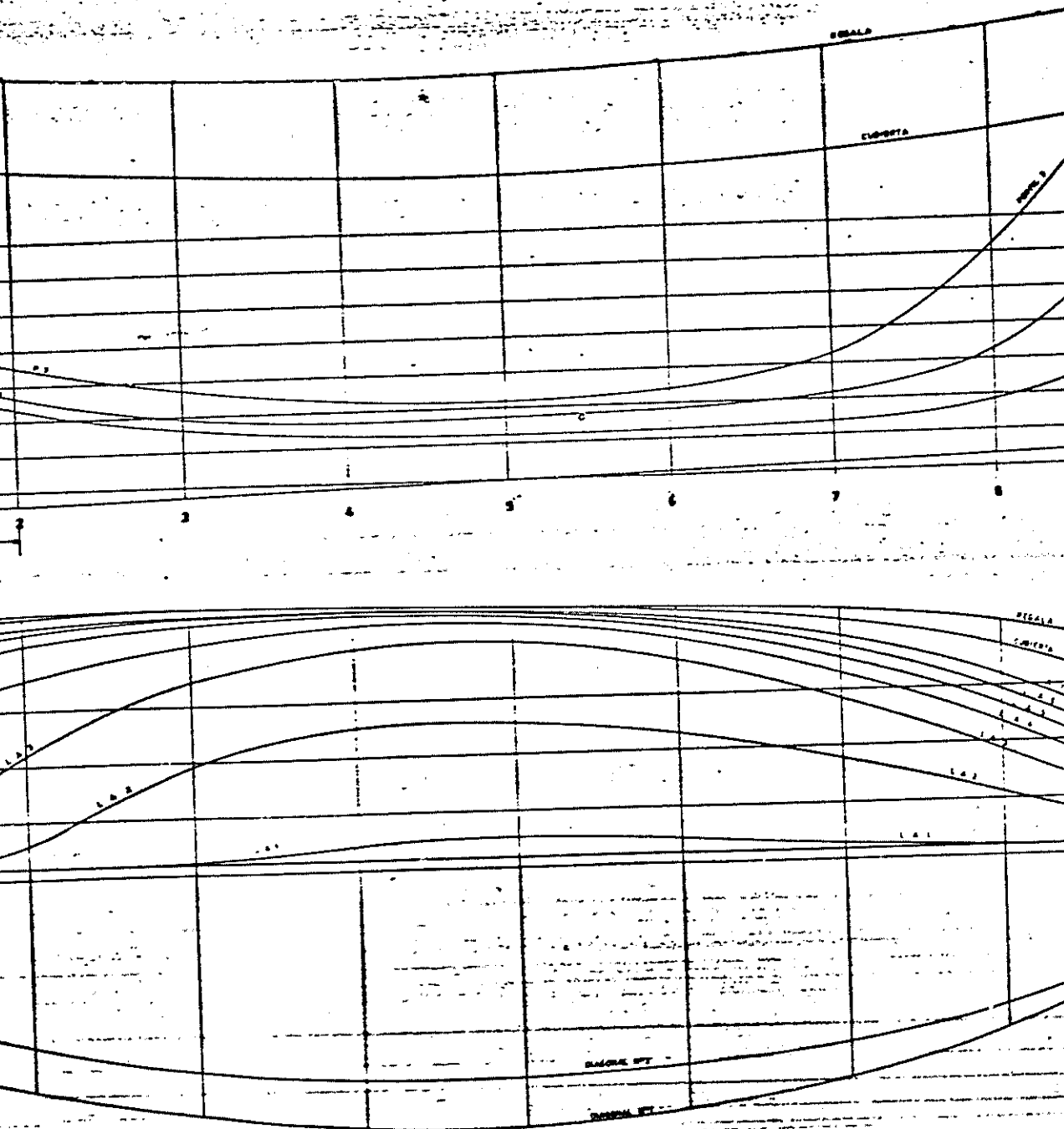
4.2 ARREGLO GENERAL (Plano No. 2)

4.3 CURVAS HIDROSTATICAS

4.3.1 Áreas Seccionales

Del plano de Líneas de Forma y con el empleo del Planímetro, calculamos las áreas seccionales (Tabla No. 4)

EAS DE FORMA



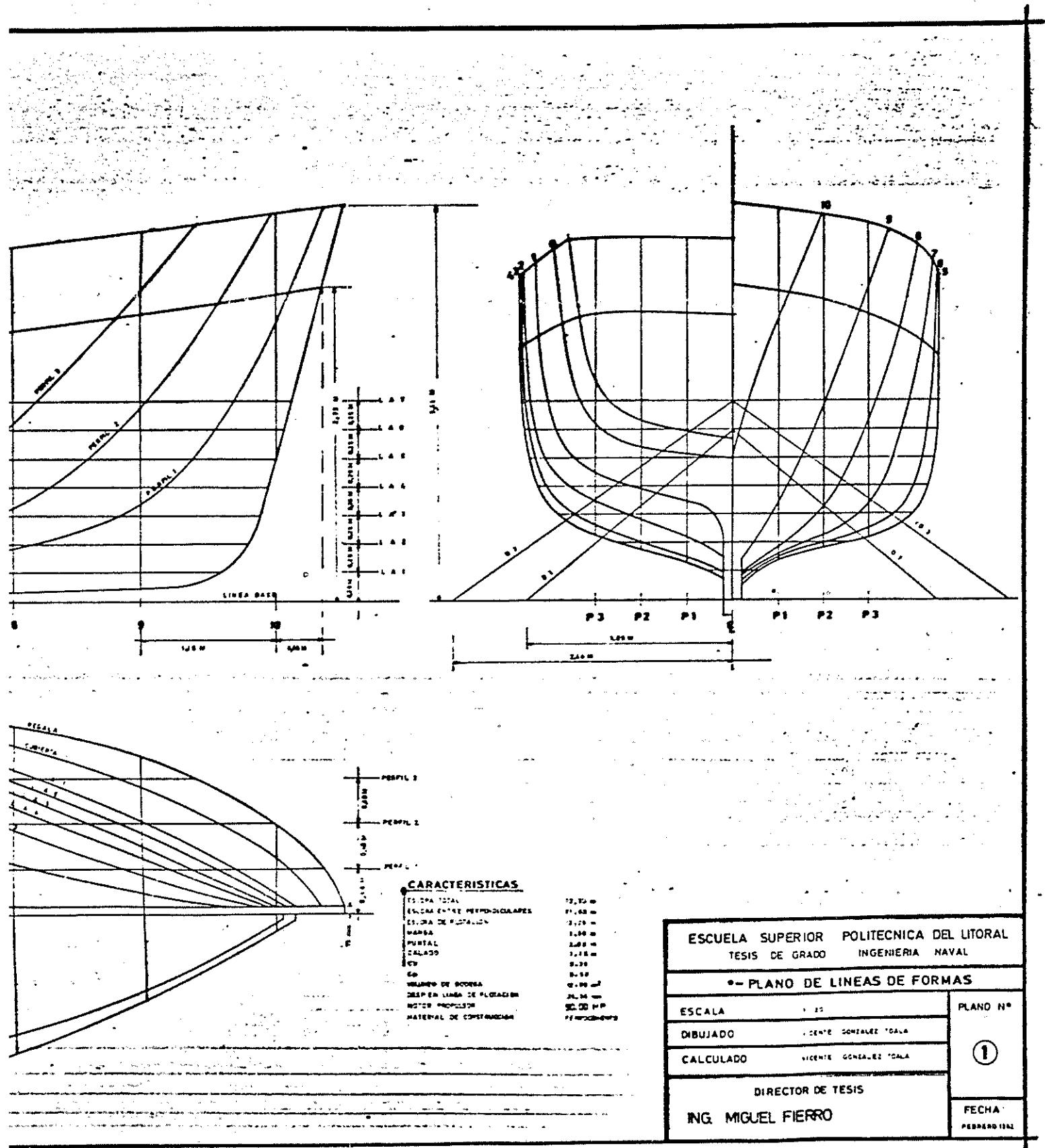


TABLA DE PUNTOS

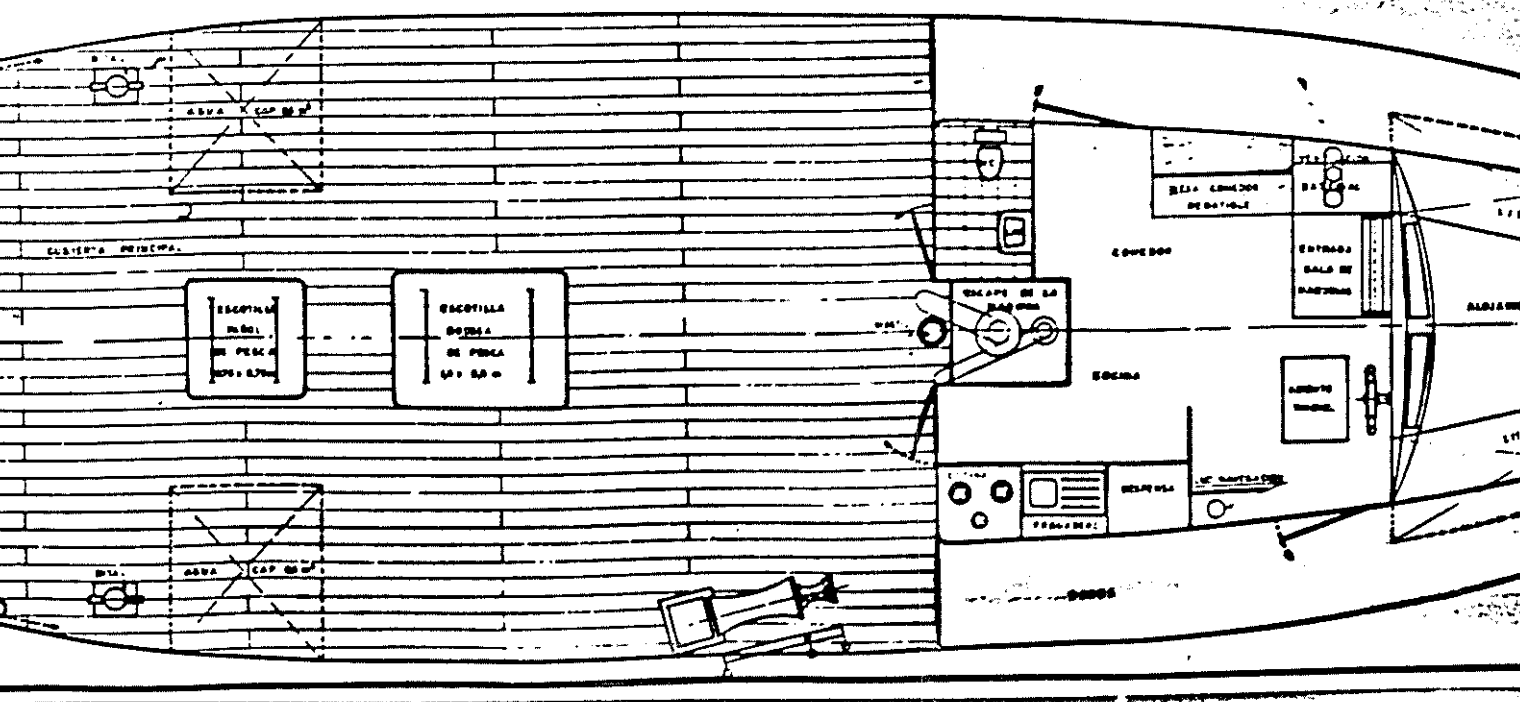
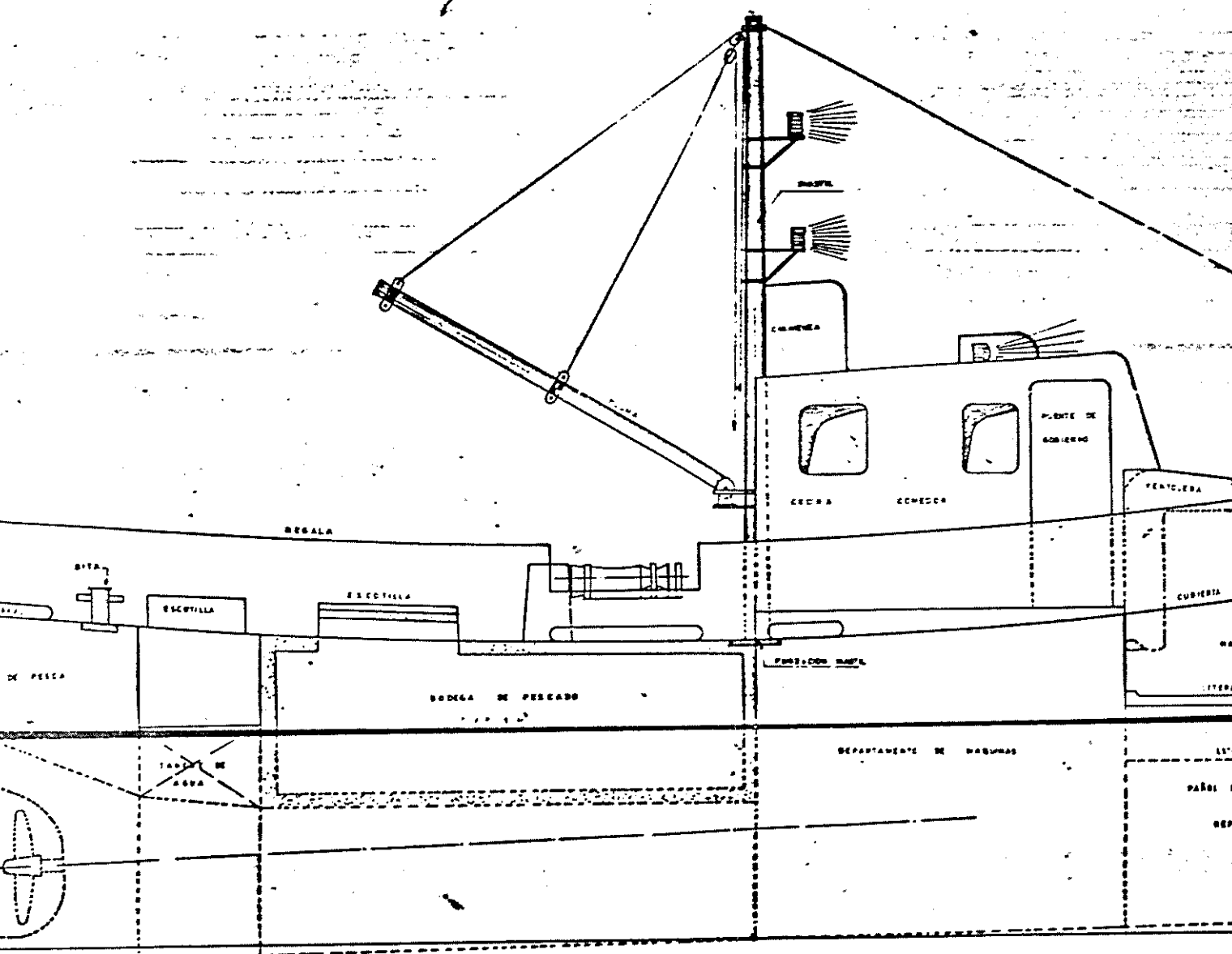
SEMIMANGAS.

| | 0 | 1 | 2 | 3 | 4 | 5 | 6 | 7 | 8 | 9 | 10 |
|------|-------|-------|-------|-------|-------|-------|-------|-------|-------|-------|------|
| LA 1 | - | - | - | 0.75 | 2.00 | 1.80 | 1.40 | 1.00 | - | - | - |
| LA 2 | - | - | 2.00 | 7.10 | 9.40 | 10.20 | 9.40 | 7.20 | 4.30 | 1.80 | - |
| LA 3 | - | 1.60 | 9.40 | 13.80 | 15.40 | 16.00 | 14.30 | 11.20 | 7.50 | 3.40 | - |
| LA 4 | - | 8.80 | 14.20 | 16.30 | 17.20 | 17.40 | 16.00 | 13.10 | 9.40 | 4.80 | - |
| LA 5 | - | 13.90 | 16.40 | 17.20 | 17.80 | 18.00 | 16.70 | 14.20 | 10.60 | 6.00 | - |
| LA 6 | 11.60 | 15.50 | 17.20 | 17.70 | 18.20 | 18.10 | 17.20 | 15.00 | 11.60 | 7.20 | 0.60 |
| LA 7 | 13.50 | 16.20 | 17.70 | 18.00 | 18.40 | 18.20 | 17.50 | 15.60 | 12.60 | 8.30 | 1.30 |
| CUB | 15.70 | 17.00 | 18.10 | 18.40 | 18.60 | 18.30 | 18.00 | 16.90 | 14.80 | 11.20 | 5.00 |
| RG 1 | 15.70 | 17.00 | 18.10 | 18.40 | 18.60 | 18.30 | 18.10 | 17.30 | 15.50 | 12.00 | 6.40 |
| RG 2 | - | - | - | - | - | 18.30 | 18.50 | 17.60 | 16.00 | 12.50 | 7.40 |

ALTURAS DESDE EL CANTO INFERIOR DE LA QUILLA.

| | | | | | | | | | | | |
|------|------|------|------|------|------|------|------|------|------|------|------|
| Z 1 | 1.30 | 0.90 | 0.60 | 0.43 | 0.35 | 0.34 | 0.36 | 0.36 | 0.50 | 0.87 | 2.46 |
| Z 2 | 1.40 | 1.00 | 0.68 | 0.50 | 0.45 | 0.46 | 0.49 | 0.56 | 0.84 | 1.72 | - |
| Z 3 | 1.59 | 1.18 | 0.88 | 0.71 | 0.60 | 0.57 | 0.63 | 0.84 | 1.58 | 2.72 | - |
| CUB | 2.48 | 2.36 | 2.28 | 2.20 | 2.17 | 2.16 | 2.21 | 2.30 | 2.42 | 2.51 | 2.72 |
| RG 2 | 3.16 | 3.08 | 3.00 | 2.90 | 2.88 | 2.82 | 2.84 | 2.81 | 3.00 | 3.31 | 3.34 |

TABLA N° 3



AREAS SECCIONALES

| | 10 | 9 | 8 | 7 | 6 | 5 | 4 | 3 | 2 | 1 | 0 |
|----------------|-----|-----|-----|-----|------|------|------|------|------|------|-----|
| L ₁ | - | - | - | - | 0.3 | 0.4 | 0.9 | - | - | - | - |
| L ₂ | - | 0.9 | 1.3 | 2.1 | 2.7 | 2.8 | 3.7 | 2.6 | 0.7 | - | - |
| L ₃ | - | 1.7 | 4.0 | 6.0 | 6.8 | 8.2 | 8.0 | 6.9 | 3.5 | 0.9 | - |
| L ₄ | - | 1.9 | 4.5 | 7.2 | 9.2 | 9.7 | 10.1 | 9.1 | 7.1 | 2.8 | - |
| L ₅ | - | 3.5 | 6.6 | 8.3 | 10.5 | 10.9 | 11.0 | 10.5 | 9.7 | 6.9 | - |
| L ₆ | 0.4 | 4.2 | 6.9 | 9.0 | 10.6 | 11.3 | 11.5 | 11.0 | 9.3 | 8.6 | 5.0 |
| L ₇ | 0.7 | 4.8 | 7.3 | 9.4 | 10.7 | 11.6 | 11.8 | 11.3 | 11.0 | 10.2 | 8.0 |

TABLA N° 4

4.3.2 Cálculo del Volumen de desplazamiento (∇), Desplazamiento (Δ) y Posición longitudinal del centro de flotación (X_b).

$$\nabla = \frac{1}{3} \times S \times f(V) \text{ en m}^3$$

$$\Delta = 1.025 \nabla \text{ en ton.}$$

$$X_b = \frac{f(M)}{f(V)} \times S \text{ en m.}$$

Para nuestro caso: $S = 1,16 \text{ m}$ (Tabla No. 5)

4.3.3 Cálculo de la posición vertical del centro de empuje (K_B)

$$K_B = \frac{f(M)}{f(V)} \times S$$

Para nuestro caso: $S = 0.25 \text{ m}$. (Tabla No. 6)

4.3.4 Cálculo del Área del plano de agua (A_{wl}), Posición longitudinal del centro de gravedad (X_g), Momento de inercia longitudinal (I_l), Momento de inercia transversal (I_t), Radio metacéntrico longitudinal (M_l), Radio metacéntrico transversal (B_{mt}), Momento unitario (M_l), Tonelada por centímetro de inmersión (TPC1).

$$A_{wl} = \frac{1}{3} \times S \times f(A) \times z, \text{ en m}^2$$

$$X_g = \frac{f(M)}{f(A)} \times S, \text{ en m.}$$

$$I_l = \frac{1}{3} \times S^3 \times 2 \times f(M_l), \text{ en m}^4$$

$$I_t = \frac{1}{3} \times S \times 2 \times \frac{1}{3} f(M_t), \text{ en m}^4$$

$$BM1 = \frac{It}{\nabla}, \text{ en m.}$$

$$BMT = \frac{It}{\nabla}, \text{ en m.}$$

$$M1 = \frac{\Delta \cdot BM1}{100 L}, \text{ en m/ton.}$$

$$TPC1 = \frac{Aw1}{97,56}, \text{ en ton/cm.}$$

Tabla No. 7 y 8; Figura No. 10

4.3.5 Cálculo de los coeficientes de formas: Bloque (C_b), Práctico (C_p), Sección media (C_m); y, Plano de Agua (C_{wl})

Mediante las fórmulas:

$$C_b = \frac{V}{L \times B \times T}$$

$$C_p = \frac{V}{A_m \times L}$$

$$C_m = \frac{A_m}{B \times T}$$

$$C_{wl} = \frac{A_m}{L \times B}$$

Tablas Nº 9; Figura Nº 11

4.4 CURVAS CRUZADAS

Para el cálculo de K_y , utilizamos la integración numérica, para ángulos de 15° , 30° , 45° , 60° y 75° . Tablas Nº 10 y 11, Figura No. 12.

4.5 CALCULO DE ESCANTILLONADO

CÁLCULO DE

VOLUMEN DE DESPLAZAMIENTO $(V) = \frac{1}{3} \times S \times f(v)$ en M³

DESPLAZAMIENTO $(\Delta) = 1,025 V$ en Ton.

POSICION LONGITUDINAL DEL CENTRO DE FLOTACION $(X_B) = \frac{f(M)}{f(V)} \times S$

$S = 1,16 m.$

$$= \frac{1}{36.75} \cdot 1,16m \cdot 5,6m^2 = 0.177 m^3$$

$$= \frac{1,025 \text{ tn}}{m^3} \cdot 0,177 m^3 = 0,181 \text{ tm.} \quad K_B = \frac{-2.4m^3}{5,6m^3} \cdot 1,16m = 0,50 m$$

36.75 Factor de conversión de la lectura del planímetro a m².

Plano de agua N° 1

| E | A | F S | f (V) | B | f (M) |
|----|------|-----|-------|---|--------|
| 10 | | | | | |
| 9 | | | | | |
| 8 | | | | | |
| 7 | 0.00 | 1 | 0.00 | 2 | 0.00 |
| 6 | 0.30 | 4 | 1.20 | 1 | 1.20 |
| 5 | 0.40 | 2 | 0.80 | 0 | + 1.20 |
| 4 | 0.90 | 4 | 3.60 | 1 | 3.60 |
| 3 | 0.00 | 1 | 0.0 | 2 | 0.0 |
| 2 | | | | | - 3.6 |
| 1 | | | | | |
| 0 | | | | | |

$$V = 0.177$$

$$\Delta = 0.181$$

$$X_B = -0.50$$

TABLA N° 5

Plano de agua N°2

| E | A | F.S | f. (V) | B | f (M) |
|----|------|-----|--------|---|-------|
| 10 | | | | | |
| 9 | 0.90 | 1 | 0.90 | 4 | 3.60 |
| 8 | 1.30 | 4 | 5.20 | 3 | 15.60 |
| 7 | 2.10 | 2 | 4.20 | 2 | 8.40 |
| 6 | 2.70 | 4 | 10.80 | 1 | 10.80 |
| 5 | 2.80 | 2 | 5.60 | 0 | 38.40 |
| 4 | 3.70 | 4 | 14.80 | 1 | 14.80 |
| 3 | 2.60 | 2 | 5.20 | 2 | 10.40 |
| 2 | 0.70 | 4 | 2.80 | 3 | 8.40 |
| 1 | 0.05 | 1 | 0.05 | 4 | 0.20 |
| 0 | | | | | 33.80 |
| | | | | | 49.50 |
| | | | | | +4.80 |

$$\nabla = 1.56$$

$$\Delta = 1.60$$

$$x_B = +0.11$$

Plano de agua N°3

| E | A | F.S | f. (V) | B | f (M) |
|----|------|-----|--------|---|--------|
| 10 | | | | | |
| 9 | 1.70 | 1 | 1.70 | 4 | 6.80 |
| 8 | 4.00 | 4 | 16.00 | 3 | 48.00 |
| 7 | 6.00 | 2 | 12.00 | 2 | 24.00 |
| 6 | 6.80 | 4 | 27.20 | 1 | 27.20 |
| 5 | 8.20 | 2 | 16.40 | 0 | 106.00 |
| 4 | 8.00 | 4 | 32.00 | 1 | 32.00 |
| 3 | 6.90 | 2 | 13.80 | 2 | 27.60 |
| 2 | 3.50 | 4 | 14.00 | 3 | 42.00 |
| 1 | 0.90 | 1 | 0.90 | 4 | 3.60 |
| 0 | | | | | 104.60 |

$$\nabla = 4.23$$

$$\Delta = 4.33$$

$$x_B = +0.01$$

Plano de agua N°4

| E | A | F.S | f (V) | B | f (M) |
|----|-------|-----|-------|---|--------|
| 10 | | | | | |
| 9 | 1.90 | 1 | 1.90 | 4 | 7.60 |
| 8 | 4.50 | 4 | 18.00 | 3 | 54.00 |
| 7 | 7.20 | 2 | 14.40 | 2 | 28.80 |
| 6 | 9.20 | 4 | 36.80 | 1 | 36.80 |
| 5 | 9.70 | 2 | 19.40 | 0 | 127.20 |
| 4 | 10.10 | 4 | 40.40 | 1 | 40.40 |
| 3 | 9.10 | 2 | 18.20 | 2 | 36.40 |
| 2 | 7.10 | 4 | 28.40 | 3 | 85.20 |
| 1 | 2.80 | 1 | 2.80 | 4 | 11.20 |
| 0 | | | | | 173.20 |

151.90 -46.00

$$\nabla = 4.80$$

$$\Delta = 4.90$$

$$X_B = -0.35$$

Plano de agua N°5

| E | A | F.S | f (V) | B | f (M) |
|----|-------|-----|-------|---|--------|
| 10 | | | | | |
| 9 | 3.50 | 1 | 3.50 | 4 | 14.00 |
| 8 | 6.60 | 4 | 26.40 | 3 | 79.20 |
| 7 | 8.30 | 2 | 16.60 | 2 | 33.20 |
| 6 | 10.50 | 4 | 42.00 | 1 | 42.00 |
| 5 | 10.90 | 2 | 21.80 | 0 | 168.40 |
| 4 | 11.00 | 4 | 44.00 | 1 | 44.00 |
| 3 | 10.50 | 2 | 21.10 | 2 | 42.00 |
| 2 | 9.70 | 4 | 38.80 | 3 | 116.40 |
| 1 | 6.90 | 1 | 6.90 | 4 | 27.60 |
| 0 | | | | | 230.00 |

221.00 -61.60 TABLA. N° 5.2

$$\nabla = 7.13$$

$$\Delta = 7.30$$

$$X_B = -0.32$$

Plano de agua N° 6

| E | A | F.S | f (V) | B | f (M) |
|----|-------|-----|--------|---------------|--------|
| 10 | 0.40 | 1 | 0.40 | 5 | 2.00 |
| 9 | 3.50 | 4 | 14.00 | 4 | 56.00 |
| 8 | 6.30 | 2 | 12.60 | 3 | 37.80 |
| 7 | 9.00 | 4 | 36.00 | 2 | 72.00 |
| 6 | 10.00 | 2 | 20.00 | 1 | 20.00 |
| 5 | 10.60 | 4 | 42.60 | 0 | 187.00 |
| 4 | 11.00 | 2 | 22.00 | 1 | 22.00 |
| 3 | 10.20 | 4 | 40.80 | 2 | 81.60 |
| 2 | 9.30 | 2 | 18.60 | 3 | 55.80 |
| 1 | 8.60 | 4 | 34.40 | 4 | 137.60 |
| 0 | 5.00 | 1 | 5.00 | 5 | 25.00 |
| | | | 246.40 | <u>322.00</u> | |

$$\begin{aligned}\nabla &= 7.8 \\ \Delta &= 8.0 \\ X_B &= -0.63\end{aligned}$$

Plano de agua N° 7

| E | A | F.S | f (V) | B | f (M) |
|----|-------|-----|--------|--------------|--------|
| 10 | 0.70 | 1 | 0.70 | 5 | 3.50 |
| 9 | 4.80 | 4 | 19.20 | 4 | 76.80 |
| 8 | 7.30 | 2 | 14.60 | 3 | 43.80 |
| 7 | 9.40 | 4 | 37.60 | 2 | 75.20 |
| 6 | 10.70 | 2 | 21.40 | 1 | 21.40 |
| 5 | 11.60 | 4 | 46.40 | 0 | 220.70 |
| 4 | 11.80 | 2 | 23.60 | 1 | 23.60 |
| 3 | 11.30 | 4 | 45.20 | 2 | 90.40 |
| 2 | 11.00 | 2 | 22.00 | 3 | 66.00 |
| 1 | 10.20 | 4 | 40.80 | 4 | 163.20 |
| 0 | 8.00 | 1 | 8.00 | 5 | 40.00 |
| | | | 271.50 | TABLA N° 5.3 | |

$$\begin{aligned}\nabla &= 8.6 \\ \Delta &= 8.8 \\ X_B &= -0.68\end{aligned}$$

$$\text{CALCULO DE } KB = \frac{f(M)}{f(V)} \times S$$

$$S = 0.25 \text{ m.}$$

$$s = 0.25 \text{ m}$$

Piano de agua N°1

| LA | A | F S | f (V) | B | f (M) |
|----|------|-----|-------|---|-------|
| 7 | | | | | |
| 6 | | | | | |
| 5 | | | | | |
| 4 | | | | | |
| 3 | | | | | |
| 2 | | | | | |
| 1 | 1.47 | 1/2 | 0.73 | 1 | 0.73 |
| 0 | 0.00 | 1/2 | 0.00 | 0 | 0.00 |

$$0.73 \quad 0.73$$

$$KB = 0.25$$

TABLA N° 6

Plano de agua N° 2

| LA | A | F.S | f (V) | B | f (M) |
|----|-------|-----|-------|---|-------|
| 7 | | | | | |
| 6 | | | | | |
| 5 | | | | | |
| 4 | | | | | |
| 3 | | | | | |
| 2 | 11.70 | 1/2 | 5.84 | 2 | 11.70 |
| 1 | 1.47 | 1 | 1.47 | 1 | 1.47 |
| 0 | 0.00 | 1/2 | 0.00 | 0 | 0.00 |
| | | | 7.31 | | 13.16 |

$$KB = 0.45$$

Plano de agua N° 3

| LA | A | F.S | f (V) | B | f (M) |
|----|-------|-----|-------|---|-------|
| 7 | | | | | |
| 6 | | | | | |
| 5 | | | | | |
| 4 | | | | | |
| 3 | 21.20 | 1/2 | 10.54 | 3 | 31.63 |
| 2 | 11.70 | 1 | 11.69 | 2 | 23.38 |
| 1 | 1.47 | 1 | 1.47 | 1 | 1.47 |
| 0 | 0.00 | 1/2 | 0.00 | 0 | 0.00 |
| | | | 23.70 | | 56.48 |

$$KB = 0.60$$

Plano de agua N° 4

| LA | A | F.S | f (V) | B | f (M) |
|----|-------|-----|--------|---|--------|
| 7 | | | | | |
| 6 | | | | | |
| 5 | | | | | |
| 4 | 25.80 | 1 | 25.80 | 4 | 103.16 |
| 3 | 21.10 | 4 | 84.36 | 3 | 253.08 |
| 2 | 11.70 | 2 | 23.38 | 2 | 46.76 |
| 1 | 1.47 | 4 | 5.88 | 1 | 5.88 |
| 0 | 0.00 | 1 | 0.00 | 0 | 0.00 |
| | | | 139.41 | | 408.88 |

$$KB = 0.73$$

TABLA N° 6.1

Plano de agua N° 5

| LA | A | F.S | f (V) | B | f (M) |
|----|-------|-----|-------|---|--------|
| 7 | | | | | |
| 6 | | | | | |
| 5 | 28.20 | 1/2 | 14.10 | 5 | 70.50 |
| 4 | 25.80 | 1 | 25.80 | 4 | 103.16 |
| 3 | 21.10 | 1 | 21.10 | 3 | 63.27 |
| 2 | 11.70 | 2 | 11.70 | 2 | 23.38 |
| 1 | 1.47 | 1 | 1.47 | 1 | 1.47 |
| 0 | 0.00 | 1/2 | 0.00 | 0 | 0.00 |
| | | | 74.14 | | 261.78 |

$$KB = 0.88$$

Plano de agua N° 6

| LA | A | F.S | f (V) | B | f (M) |
|----|-------|-----|--------|---|----------|
| 7 | | | | | |
| 6 | 33.60 | 1 | 33.60 | 6 | 201.60 |
| 5 | 28.20 | 4 | 112.80 | 5 | 564.0 |
| 4 | 25.80 | 2 | 51.58 | 4 | 206.32 |
| 3 | 21.10 | 4 | 84.36 | 3 | 253.08 |
| 2 | 11.70 | 2 | 23.38 | 2 | 46.76 |
| 1 | 1.47 | 4 | 5.88 | 1 | 5.88 |
| 0 | 0.00 | 1 | 0.00 | 0 | 0.00 |
| | | | 311.60 | | 1.277.64 |

$$KB = 1.02$$

Plano de agua N° 7

| LA | A | F.S | f (V) | B | f (M) |
|----|-------|-----|--------|---|--------|
| 7 | 34.98 | 1/2 | 17.50 | 7 | 122.43 |
| 6 | 33.60 | 1 | 33.60 | 6 | 201.60 |
| 5 | 28.20 | 1 | 28.20 | 5 | 141.00 |
| 4 | 25.80 | 1 | 25.80 | 4 | 103.16 |
| 3 | 21.10 | 1 | 21.10 | 3 | 63.27 |
| 2 | 11.70 | 1 | 11.70 | 2 | 23.38 |
| 1 | 1.47 | 1 | 1.47 | 1 | 1.47 |
| 0 | 0.00 | 1/2 | 0.00 | 0 | 0.00 |
| | | | 139.35 | | 679.71 |

$$KB = 1.22$$

TABLA N° 6.2

CALCULO DE:

$$\text{AREA DE PLANO DE AGUA} = (Aw_1) = \frac{1}{3} \times S \times f(A) \times 2 \text{ en M}^2$$

$$\text{POSICION LONGITUDINAL DEL CENTRO DE GRAVEDAD} = X_G = \frac{f(M)}{f(A)} \times S, \text{en M}$$

$$\text{MOMENTO DE INERCIA LONGITUDINAL} = \frac{1}{3} \times S^3 \times 2 \times \frac{f(ML)}{1}, \text{en M}^4$$

$$\text{MOMENTO DE INERCIA TRANSVERSAL} = \frac{1}{3} \times S \times 2 \times \frac{1}{3} \times f(M_t), \text{en M}^4$$

RADIO METACENTRICO LONGITUDINAL = IL/∇ , en M.

RADIO METACENTRICO TRANSVERSAL = It/∇ , en M.

MOMENTO UNITARIO = $\Delta \times BML/100L$, en M.Ton.

TONELADAS POR 1CM. DE INMERSION = $\frac{Aw_1}{\Delta}$, en Ton./cm.

97.56

Plano de Agua No. 1

| E | $1/2B$ | FS | $f(A)$ | B | $f(M)$ | B | $f(ML)$ | $(1/2)B$ | FS | $f(M_t)$ |
|----|--------|----|--------|---|--------|---|---------|----------|----|----------|
| 10 | | | | | | | | | | |
| 9 | | | | | | | | | | |
| 8 | | | | | | | | | | |
| 7 | 0.10 | 1 | 0.10 | 2 | 0.20 | 2 | 0.40 | 0.001 | 1 | 0.001 |
| 6 | 0.14 | 4 | 0.56 | 1 | 0.56 | 1 | 0.56 | 0.003 | 4 | 0.012 |
| 5 | 0.18 | 2 | 0.36 | 0 | 0.76 | 0 | - | 0.006 | 2 | 0.012 |
| 4 | 0.20 | 4 | 0.80 | 1 | 0.80 | 1 | 0.80 | 0.008 | 4 | 0.032 |
| 3 | 0.08 | 1 | 0.08 | 2 | 0.16 | 2 | 0.32 | 0.001 | 1 | 0.001 |
| 2 | | | | | 0.96 | | | | | |
| 1 | | | | | | | | | | |
| 0 | | | | | | | | | | |

1.90 -0.20 2.08 0.056
 -0.10
 1.98

$$A_1 = 1,47 \quad I_{L1} = 2,14 \quad BM_{L1} = 11,63 \quad MI_1 = 0,08$$

$$x_{G1} = 0,122 \quad IT_1 = 0,014 \quad BM_{T1} = 0,08 \quad TPCI_1 = 0,015$$

Plano de agua N° 2

| E | 1/2 B | FS | f (A) | B | f (M) | B | f (M1) | (1/2 B) ³ | FS | f (Mt) |
|----|-------|----|-------|---|-------|---|-------------------------|----------------------|--------|--------|
| 10 | | | | | | | | | | |
| 9 | 0.18 | 1 | 0.18 | 4 | 0.72 | 4 | 2.88 | 0.006 | 1 | 0.006 |
| 8 | 0.43 | 4 | 1.72 | 3 | 5.16 | 3 | 15.48 | 0.080 | 4 | 0.318 |
| 7 | 0.72 | 2 | 1.44 | 2 | 2.88 | 2 | 5.76 | 0.373 | 2 | 0.746 |
| 6 | 0.94 | 4 | 3.76 | 1 | 3.76 | 1 | 3.76 | 0.831 | 4 | 3.322 |
| 5 | 1.02 | 2 | 2.04 | 0 | 12.52 | 0 | 0.00 | 1.061 | 2 | 2.122 |
| 4 | 0.94 | 4 | 3.76 | 1 | 3.76 | 1 | 3.76 | 0.831 | 4 | 3.322 |
| 3 | 0.71 | 2 | 1.42 | 2 | 2.84 | 2 | 5.68 | 0.358 | 2 | 0.715 |
| 2 | 0.20 | 4 | 0.80 | 3 | 2.40 | 3 | 7.20 | 0.008 | 4 | 0.032 |
| 1 | 0.00 | 1 | 0.00 | 4 | 0.00 | 4 | 0.00 | 0.000 | 1 | 0.000 |
| 0 | - | | | | 9.00 | | | | | |
| | | | 15.12 | | 3.52 | | 40.76 -0.81 39.94 | | 10.584 | |

$$A_2 = 11.69 I_{L_2} = 41.56 B M_{L_2} = 26.64 \quad M_{1_2} = 0.041$$

$$X_{G_2} = +0.27 I_{T_2} = 2.73 B M_{T_2} = 1.75 \quad TPC_{1_2} = 0.12$$

Plano de agua N° 3

| E | 1/2 B | FS | f (A) | B | f (M) | B | f (M1) | (1/2 B) ³ | FS | f (Mt) |
|----|-------|----|-------|---|-------|---|---------------------------|----------------------|-------|--------|
| 10 | | | | | | | | | | |
| 9 | 0.34 | 1 | 0.34 | 4 | 1.36 | 4 | 5.44 | 0.04 | 1 | 0.04 |
| 8 | 0.75 | 4 | 3.00 | 3 | 9.00 | 3 | 27.00 | 0.42 | 4 | 1.68 |
| 7 | 1.12 | 2 | 2.24 | 2 | 4.48 | 2 | 8.96 | 1.40 | 2 | 2.80 |
| 6 | 1.43 | 4 | 5.72 | 1 | 5.72 | 1 | 5.72 | 2.92 | 4 | 11.68 |
| 5 | 1.60 | 2 | 3.20 | 0 | 20.56 | 0 | | 4.10 | 2 | 8.20 |
| 4 | 1.54 | 4 | 6.16 | 1 | 6.16 | 1 | 6.16 | 3.65 | 4 | 14.60 |
| 3 | 1.38 | 2 | 2.76 | 2 | 5.52 | 2 | 11.04 | 2.63 | 2 | 5.26 |
| 2 | 0.94 | 4 | 3.76 | 3 | 11.28 | 3 | 33.84 | 0.83 | 4 | 3.32 |
| 1 | 0.16 | 1 | 0.16 | 4 | 0.64 | 4 | 2.56 | 0.01 | 1 | 0.01 |
| 0 | . | | | | 23.06 | | | | | |
| | | | 27.34 | | -3.04 | | 100.72 -0.34 100.39 | | 47.58 | |

$$A_3 = 21.09 I_{L_3} = 104.46 B M_{L_3} = 24.69 \quad M_{1_3} =$$

$$X_{G_3} = -0.13 I_{T_3} = 12.26 B M_{T_3} = 2.9 \quad TPC_{1_3}$$

TABLA N° 7.1

Plano de agua N° 4

| E | $\frac{1}{2}B$ | FS | f(A) | B | f(M) | B | f(M1) | $(\frac{1}{2}B)^3$ | FS | f(Mt) |
|----|----------------|----|------|---|-------|---|-------|--------------------|----|-------|
| 10 | 0.48 | 1 | 0.48 | 4 | 11.92 | 4 | 7.68 | 0.11 | 1 | 0.11 |
| 9 | 0.48 | 1 | 0.48 | 4 | 11.92 | 4 | 7.68 | 0.11 | 1 | 0.11 |
| 8 | 0.94 | 4 | 3.76 | 3 | 11.28 | 3 | 33.84 | 0.83 | 4 | 3.32 |
| 7 | 1.31 | 2 | 2.62 | 2 | 5.24 | 2 | 10.48 | 2.24 | 2 | 4.48 |
| 6 | 1.60 | 4 | 6.40 | 1 | 6.40 | 1 | 6.40 | 4.09 | 4 | 16.36 |
| 5 | 1.74 | 2 | 3.48 | 0 | 24.84 | 0 | | 5.26 | 2 | 10.52 |
| 4 | 1.72 | 4 | 6.88 | 1 | 6.88 | 1 | 6.88 | 5.08 | 4 | 20.32 |
| 3 | 1.63 | 2 | 3.26 | 2 | 6.52 | 2 | 13.04 | 4.33 | 2 | 8.66 |
| 2 | 1.42 | 4 | 5.60 | 3 | 16.80 | 3 | 50.40 | 2.86 | 4 | 11.44 |
| 1 | 0.88 | 1 | 0.88 | 4 | 3.52 | 4 | 14.08 | 0.68 | 1 | 0.68 |
| 0 | | | | | 33.72 | | | | | |

$$33.36 \quad -8.88 \quad 142.8 \\ -2.3 \\ \underline{140.5}$$

$$A_4 = 25.79 l_{L_4} = 146.2 B M L_4 = 30.52 \quad M1_4 = 0.122$$

$$XG_4 = -0.226 l_{T_4} = 19.56 B M T_4 = 15.83 \quad TPC1_4 = 0.264$$

Plano de agua N° 5

| E | $\frac{1}{2}B$ | FS | f(A) | B | f(M) | B | f(M1) | $(\frac{1}{2}B)^3$ | FS | f(Mt) |
|----|----------------|----|------|---|-------|---|-------|--------------------|----|-------|
| 10 | | | | | | | | | | |
| 9 | 0.60 | 1 | 0.60 | 4 | 2.40 | 4 | 9.60 | 0.21 | 1 | 0.21 |
| 8 | 1.06 | 4 | 4.24 | 3 | 12.72 | 3 | 38.16 | 1.19 | 4 | 4.76 |
| 7 | 1.42 | 2 | 2.84 | 2 | 5.68 | 2 | 11.36 | 2.86 | 2 | 5.72 |
| 6 | 1.67 | 4 | 6.68 | 1 | 6.68 | 1 | 6.68 | 4.65 | 4 | 18.16 |
| 5 | 1.80 | 2 | 3.60 | 0 | 27.48 | 0 | | 5.83 | 2 | 11.66 |
| 4 | 1.78 | 4 | 7.12 | 1 | 7.12 | 1 | 7.12 | 5.63 | 4 | 22.52 |
| 3 | 1.72 | 2 | 3.44 | 2 | 6.88 | 2 | 13.76 | 5.08 | 2 | 10.16 |
| 2 | 1.64 | 4 | 6.56 | 3 | 19.68 | 3 | 59.04 | 4.41 | 4 | 17.64 |
| 1 | 1.39 | 1 | 1.39 | 4 | 5.56 | 4 | 22.24 | 2.68 | 1 | 2.68 |
| 0 | | | | | 39.24 | | | | | |

$$36.47 \quad -11.76 \quad 167.96 \\ -3.79 \\ \underline{164.16}$$

$$A_5 = 28.20 l_{L_5} = 235.6 B M L_5 = 33.04 \quad M1_5 = 0.20$$

$$XG_5 = -0.37 l_{T_5} = 24.21 B M T_5 = 3.39 \quad TPC1_5 = 0.29$$

TABLA N° 7.2

Plano de agua N° 6

| E | $\frac{1}{2}B$ | FS | f (A) | B | f (M) | B | f (M1) | $(\frac{1}{2}B)^3$ | FS | f (Mt) |
|----|----------------|----|-------|---|--------|---|--------|--------------------|----|--------|
| 10 | 0.06 | 1 | 0.06 | 5 | 0.30 | 5 | 1.50 | 0.001 | 1 | 0.00 |
| 9 | 0.72 | 4 | 2.88 | 4 | 11.52 | 4 | 46.00 | 0.37 | 4 | 1.48 |
| 8 | 1.16 | 2 | 2.32 | 3 | 6.96 | 3 | 20.88 | 1.56 | 2 | 3.12 |
| 7 | 1.50 | 4 | 6.00 | 2 | 12.00 | 2 | 24.00 | 3.37 | 4 | 13.48 |
| 6 | 1.72 | 2 | 3.44 | 1 | 3.44 | 1 | 3.44 | 5.08 | 2 | 10.16 |
| 5 | 1.81 | 4 | 7.24 | 0 | 34.22 | 0 | | 5.93 | 4 | 23.72 |
| 4 | 1.82 | 2 | 3.64 | 1 | 3.64 | 1 | 3.64 | 6.02 | 2 | 12.04 |
| 3 | 1.77 | 4 | 7.08 | 2 | 14.16 | 2 | 28.32 | 5.54 | 4 | 22.16 |
| 2 | 1.72 | 2 | 3.44 | 3 | 10.32 | 3 | 30.96 | 5.08 | 2 | 10.16 |
| 1 | 1.55 | 4 | 6.20 | 4 | 24.80 | 4 | 99.20 | 3.72 | 4 | 14.88 |
| 0 | 1.16 | 1 | 1.16 | 5 | 5.80 | 5 | 29.00 | 1.56 | 1 | 1.56 |
| | | | 43.46 | | 58.12 | | 286.90 | | | 122.76 |
| | | | | | -23.90 | | -13.14 | | | |
| | | | | | | | 273.80 | | | |

$$A_6 = 33.60 I_{L6} = 284.9 \quad B M_{L6} = 36.66 \quad M_{16} = 0.24$$

$$X_{G6} = -0.63 I_{T6} = 23.96 \quad B M_{T6} = 3.77 \quad T P C l_6 = 0.67$$

Plano de agua N° 7

| E | $\frac{1}{2}B$ | FS | f (A) | B | f (M) | B | f (M1) | $(\frac{1}{2}B)^3$ | FS | f (Mt) |
|----|----------------|----|-------|---|--------|---|--------|--------------------|----|--------|
| 10 | 0.13 | 1 | 0.13 | 5 | 0.65 | 5 | 3.25 | 0.01 | 1 | 0.01 |
| 9 | 0.83 | 4 | 3.32 | 4 | 13.28 | 4 | 53.12 | 0.57 | 4 | 2.28 |
| 8 | 1.26 | 2 | 2.52 | 3 | 7.56 | 3 | 22.68 | 2.00 | 2 | 4.00 |
| 7 | 1.56 | 4 | 6.24 | 2 | 12.48 | 2 | 24.96 | 3.79 | 4 | 15.16 |
| 6 | 1.75 | 2 | 3.50 | 1 | 3.50 | 1 | 3.50 | 5.35 | 2 | 10.70 |
| 5 | 1.82 | 4 | 7.28 | 0 | 37.47 | 0 | | 6.02 | 4 | 24.08 |
| 4 | 1.84 | 2 | 3.68 | 1 | 3.68 | 1 | 3.68 | 6.22 | 2 | 12.44 |
| 3 | 1.80 | 4 | 7.20 | 2 | 14.40 | 2 | 28.80 | 5.83 | 4 | 23.32 |
| 2 | 1.77 | 2 | 3.54 | 3 | 10.62 | 3 | 31.86 | 5.54 | 2 | 11.08 |
| 1 | 1.62 | 4 | 6.48 | 4 | 25.92 | 4 | 103.68 | 4.25 | 4 | 17.00 |
| 0 | 1.35 | 1 | 1.35 | 5 | 6.75 | 5 | 33.75 | 2.46 | 1 | 2.46 |
| | | | 45.24 | | 61.37 | | 309.28 | | | 122.90 |
| | | | | | -23.90 | | -12.62 | | | |
| | | | | | | | 296.65 | | | |

$$A_7 = 34.98 I_{L7} = 308.7 \quad B M_{L7} = 36.02 \quad M_{17} = 0.26$$

$$X_{G7} = -0.61 I_{T7} = 36.74 \quad B M_{T7} = 4.28 \quad T P C l_7 = 0.36$$

TABLA N° 7.3

RESUMEN DE CURVAS HIDROSTATICAS

| | L ₁ | L ₂ | L ₃ | L ₄ | L ₅ | L ₆ | L ₇ |
|----------------------------|----------------|----------------|----------------|----------------|----------------|----------------|----------------|
| V | 0.17 | 1.56 | 4.23 | 4.79 | 7.13 | 7.77 | 8.57 |
| Δ | 0.18 | 1.60 | 4.33 | 4.91 | 7.30 | 7.97 | 8.78 |
| X ₃ | -0.50 | +0.11 | +0.01 | -0.35 | -0,5 | -0.64 | -0.68 |
| X _G | -0.12 | +0.27 | -0.13 | -0.23 | -0.37 | -0.50 | -0.61 |
| B _{M_L} | 11.63 | 26.64 | 24.69 | 30.52 | 33.04 | 36.66 | 33.02 |
| B _{M_T} | 0.08 | 1.75 | 2.90 | 2.08 | 3.39 | 3.77 | 4.28 |
| M ₁ | 0.002 | 0.041 | 0.08 | 0,122 | 0.20 | 0.23 | 0.26 |
| TPC1 | 0.015 | 0.12 | 0.21 | 0.26 | 0.29 | 0.37 | 0.36 |
| K _B | 0.25 | 0.45 | 0.60 | 0.73 | 0.88 | 1.02 | 1.22 |

TABLA N°8

CURVAS HIDROSTATICAS

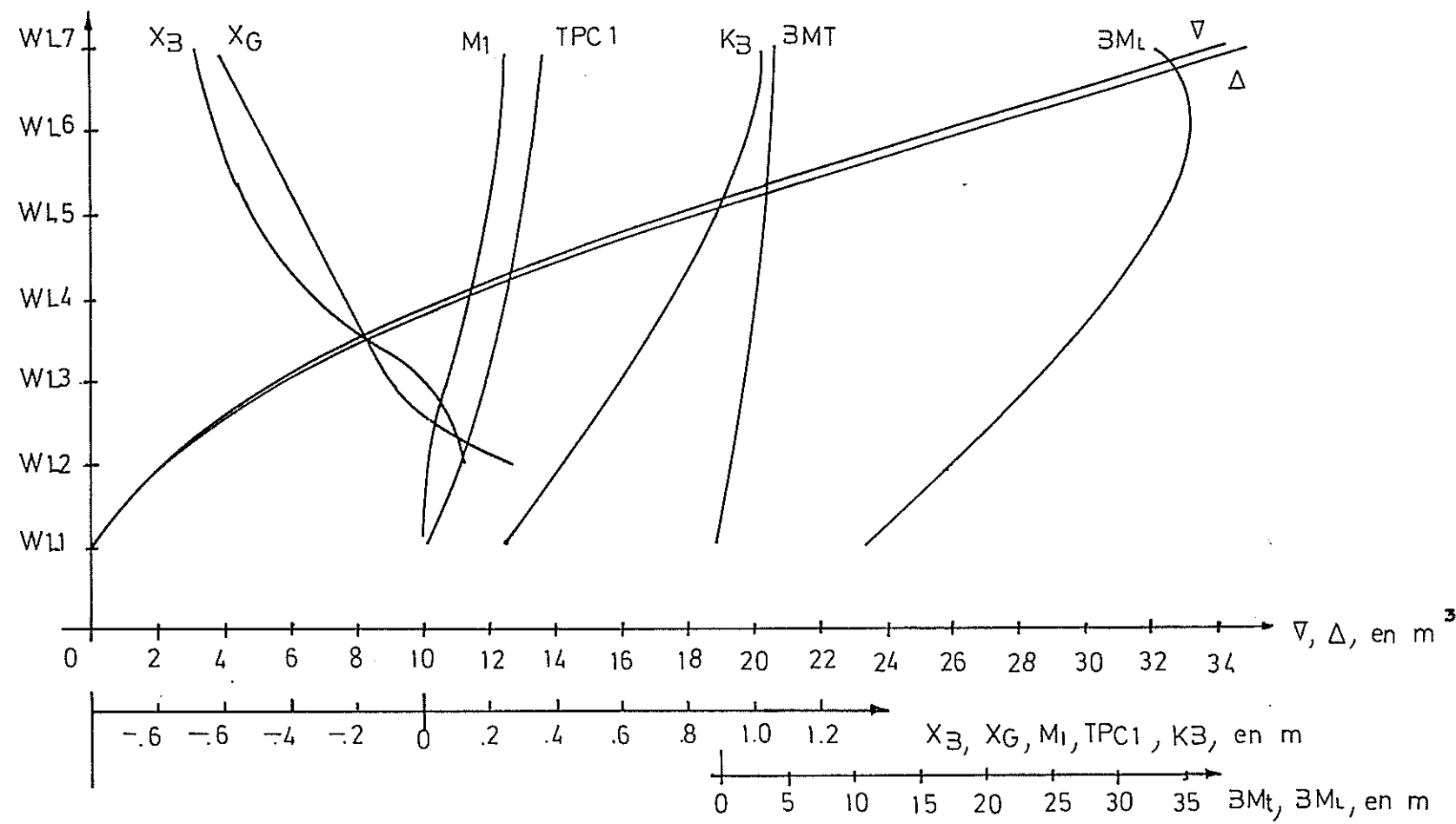


FIGURA N° 10

CALCULO DE LOS COEFICIENTES DE FORMA

| | L ₁ | L ₂ | L ₃ | L ₄ | L ₅ | L ₆ | L ₇ |
|----------------|----------------|----------------|----------------|----------------|----------------|----------------|----------------|
| L | 9.86 | 10.32 | 10.48 | 10.78 | 11.60 | 12.28 | 12.40 |
| B | 0.36 | 2.04 | 3.20 | 3.48 | 3.60 | 3.62 | 3.66 |
| T | 0.18 | 0.54 | 0.68 | 0.92 | 1.18 | 1.42 | 1.58 |
| A _m | 0.03 | 0.26 | 0.93 | 1.72 | 2.61 | 3.50 | 4.40 |
| A _w | 1.47 | 11.69 | 21.09 | 25.79 | 28.20 | 33.60 | 34.98 |
| V | 0.17 | 1.56 | 4.23 | 4.79 | 7.13 | 7.77 | 8.57 |
| C _b | - | 0.15 | 0.26 | 0.31 | 0.36 | 0.40 | 0.47 |
| C _p | - | 0.64 | 0.61 | 0.58 | 0.59 | 0.60 | 0.62 |
| C _m | - | 0.23 | 0.42 | 0.53 | 0.61 | 0.68 | 0.76 |
| C _w | 0.41 | 0.55 | 0.65 | 0.68 | 0.70 | 0.75 | 0.77 |

TABLA N° 9

COEFICIENTES DE FORMAS.

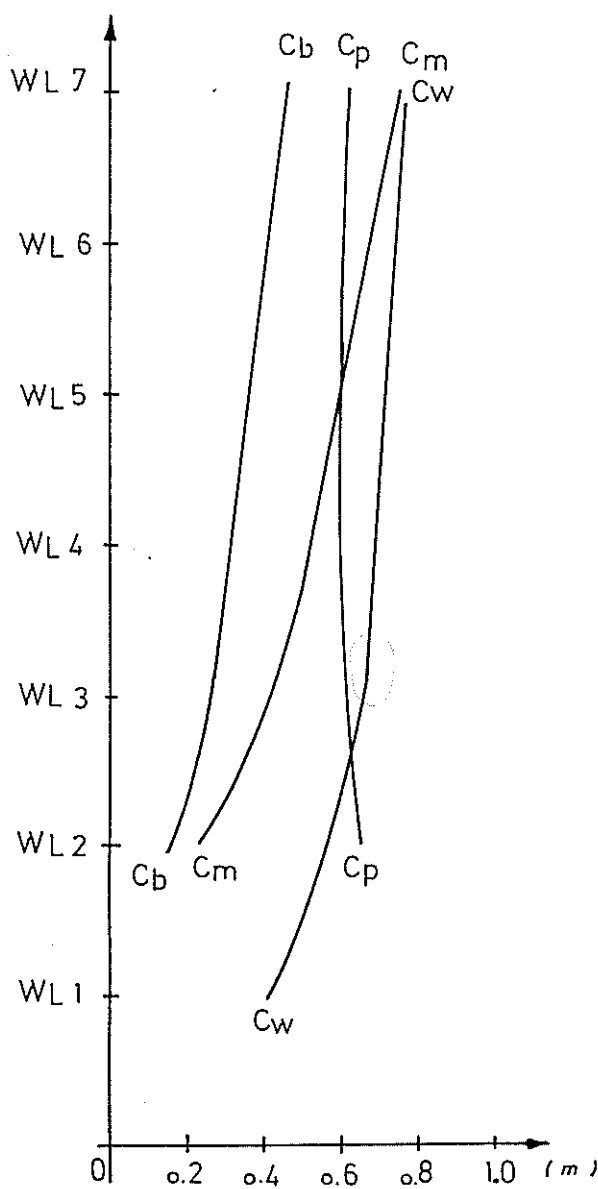


FIGURA N°11

CALCULO DE CURVAS CRUZADAS, PARA $\phi = 15^\circ$

| | 0 | 1 | 2 | 3 | 4 | 5 | 6 | 7 | 8 | 9 | 10 |
|----|------|------|------|------|------|------|------|------|------|------|------|
| L1 | 2.74 | 3.28 | 3.48 | 3.46 | 3.44 | 3.14 | 3.16 | 3.22 | 2.70 | 1.76 | 0.34 |
| L2 | 2.88 | 3.07 | 3.48 | 3.62 | 3.72 | 3.70 | 3.54 | 3.12 | 2.50 | 1.54 | 0.17 |
| L3 | 1.46 | 2.68 | 3.02 | 3.46 | 3.58 | 3.60 | 3.40 | 2.84 | 2.26 | 1.30 | 0.20 |
| L4 | | 2.56 | 2.80 | 3.14 | 3.30 | 3.52 | 3.14 | 2.56 | 1.96 | 1.04 | |
| L5 | | 1.20 | 2.30 | 2.76 | 2.90 | 2.88 | 2.70 | 2.24 | 1.60 | 0.50 | |
| L6 | | 0.18 | 1.32 | 2.12 | 2.32 | 2.30 | 2.10 | 1.18 | 1.06 | 0.42 | |
| L7 | | | 0.14 | 0.40 | 1.48 | 1.60 | 1.14 | 0.28 | | | |

→ a

| | 0 | 1 | 2 | 3 | 4 | 5 | 6 | 7 | 8 | 9 | 10 |
|-----|------|------|------|------|------|------|------|------|------|------|------|
| KY1 | 0.61 | 0.51 | 0.41 | 0.34 | 0.31 | 0.18 | 0.30 | 0.54 | 0.59 | 0.57 | 0.47 |
| KY2 | 0.42 | 0.55 | 0.50 | 0.48 | 0.48 | 0.44 | 0.48 | 0.53 | 0.53 | 0.48 | 0.42 |
| KY3 | 0.90 | 0.64 | 0.46 | 0.45 | 0.44 | 0.42 | 0.46 | 0.52 | 0.46 | 0.42 | 0.32 |
| KY4 | | 0.52 | 0.64 | 0.52 | 0.47 | 0.47 | 0.44 | 0.46 | 0.42 | 0.40 | |
| KY5 | | 0.60 | 0.72 | 0.58 | 0.57 | 0.60 | 0.58 | 0.52 | 0.40 | 0.14 | |
| KY6 | | 0.10 | 0.54 | 0.70 | 0.70 | 0.74 | 0.71 | 0.80 | 0.35 | 0.16 | |
| KY7 | | | 0.05 | 0.13 | 0.60 | 0.74 | 0.50 | 0.10 | | | |

→ b

| | 0 | 1 | 2 | 3 | 4 | 5 | 6 | 7 | 8 | 9 | 10 |
|--------|------|------|------|------|------|------|------|------|------|------|------|
| KY1 L1 | 1.67 | 1.67 | 1.42 | 1.17 | 1.06 | 0.56 | 0.95 | 1.74 | 1.71 | 1.00 | 0.16 |
| KY2 L2 | 1.21 | 1.69 | 1.74 | 1.74 | 1.78 | 1.63 | 1.70 | 1.65 | 1.32 | 0.73 | 0.07 |
| KY3 L3 | 1.31 | 1.72 | 1.39 | 1.56 | 1.57 | 1.51 | 1.56 | 1.17 | 1.03 | 0.54 | 0.02 |
| KY4 L4 | | 1.33 | 1.79 | 1.82 | 1.55 | 1.65 | 1.38 | 1.18 | 0.82 | 0.41 | |
| KY5 L5 | | 0.72 | 1.66 | 1.60 | 1.65 | 1.72 | 1.56 | 1.16 | 0.64 | 0.07 | |
| KY6 L6 | | 0.02 | 0.71 | 1.48 | 1.62 | 1.70 | 1.50 | 0.94 | 0.37 | 0.07 | |
| KY7 L7 | | | 0.07 | 0.05 | 0.88 | 1.18 | 0.57 | 0.03 | | | |

→ c

TABLA N° 10

continuación

0 15°

| WL1 | | | WL2 | | | WL3 | | | WL4 | | | WL5 | | |
|----------|-----|-------------|----------|-----|-------------|----------|-----|-------------|----------|-----|-------------|----------|-----|-------------|
| Σ | FS | Σ FT |
| 30.74 | 1/2 | 15.37 | | | | | | | | | | | | |
| 31.34 | 1 | 31.34 | 31.34 | 1/2 | 15.67 | | | | | | | | | |
| 27.80 | 1 | 27.80 | 27.80 | 1 | 27.80 | 27.80 | 1/2 | 13.90 | | | | | | |
| 24.02 | 1 | 24.02 | 24.02 | 1 | 24.02 | 24.02 | 1 | 24.02 | 24.02 | 1/2 | 12.01 | | | |
| 19.08 | 1 | 19.08 | 19.08 | 1 | 19.08 | 19.08 | 1 | 19.08 | 19.08 | 1 | 19.08 | 19.08 | 1/2 | 9.54 |
| 13.00 | 1 | 13.00 | 13.00 | 1 | 13.00 | 13.00 | 1 | 13.00 | 13.00 | 1 | 13.00 | 13.00 | 1 | 13.00 |
| 5.04 | 1/2 | 2.07 | 5.04 | 1/2 | 2.07 | 5.04 | 1/2 | 2.07 | 5.04 | 1/2 | 2.07 | 5.04 | 1/2 | 2.07 |
| | | 132.68 | | | 101.60 | | | 72.57 | | | 46.16 | | | 24.61 |

a →

$$KY = \Sigma \text{ MOMENTO} / \Sigma \text{ VOLUMEN}$$

$$\text{DESPLAZAMIENTO} = \Sigma \text{ VOLUMEN} h s$$

| | | | | |
|-------|--|--------|------|-------|
| | | | | |
| | | | | |
| | | | | |
| 67.67 | | 138.68 | 0.49 | 40.21 |
| 53.82 | | 101.60 | 0.53 | 29.46 |
| 39.20 | | 72.57 | 0.54 | 21.04 |
| 26.55 | | 46.16 | 0.58 | 13.38 |
| 15.19 | | 24.61 | 0.62 | 7.14 |

$$h = 116 \text{ m}$$

$$s = 0.25 \text{ m}$$

b →

| WL1 | | | WL2 | | | WL3 | | | WL4 | | | WL5 | | |
|----------|-----|-------------|----------|-----|-------------|----------|-----|-------------|----------|-----|-------------|----------|-----|-------------|
| Σ | FS | Σ FT |
| 18.11 | 1/2 | 6.52 | | | | | | | | | | | | |
| 15.26 | 1 | 15.26 | 15.26 | 1/2 | 7.63 | | | | | | | | | |
| 13.38 | 1 | 13.38 | 13.38 | 1 | 13.38 | 13.38 | 1/2 | 6.69 | | | | | | |
| 11.93 | 1 | 11.93 | 11.93 | 1 | 11.93 | 11.93 | 1 | 11.93 | 11.93 | 1/2 | 5.97 | | | |
| 10.78 | 1 | 10.78 | 10.78 | 1 | 10.78 | 10.78 | 1 | 10.78 | 10.78 | 1 | 10.78 | 10.78 | 1/2 | 5.39 |
| 8.41 | 1 | 8.41 | 8.41 | 1 | 8.41 | 8.41 | 1 | 8.41 | 8.41 | 1 | 8.41 | 8.41 | 1 | 8.41 |
| 2.78 | 1/2 | 1.39 | 2.78 | 1/2 | 1.39 | 2.78 | 1/2 | 1.39 | 2.78 | 1/2 | 1.39 | 2.78 | 1/2 | 1.39 |
| | | 67.67 | | | 53.82 | | | 39.20 | | | 26.55 | | | 15.19 |

TABLA N° 10

CALCULO DE CURVAS CRUZADAS, PARA

| | 0 | 1 | 2 | 3 | 4 | 5 | 6 | 7 | 8 | 9 | 10 |
|----|------|------|------|------|------|------|------|------|------|------|------|
| L1 | 2.08 | 2.32 | 2.36 | 2.44 | 2.46 | 2.30 | 2.26 | 2.20 | 2.00 | 1.90 | 0.58 |
| L2 | 2.20 | 2.54 | 2.66 | 2.80 | 2.84 | 2.70 | 2.66 | 2.60 | 2.50 | 1.94 | 0.32 |
| L3 | 2.10 | 2.72 | 2.90 | 3.06 | 3.12 | 3.00 | 2.98 | 2.95 | 2.70 | 1.66 | 0.10 |
| L4 | 0.82 | 2.44 | 2.81 | 3.26 | 3.32 | 3.20 | 3.20 | 2.94 | 2.36 | 1.36 | |
| L5 | 0.42 | 2.06 | 2.60 | 2.88 | 3.00 | 2.96 | 2.84 | 2.55 | 1.98 | 1.02 | |
| L6 | | 1.44 | 2.26 | 2.50 | 2.60 | 2.54 | 2.42 | 2.10 | 1.52 | 0.60 | |
| L7 | | | 1.90 | 2.10 | 2.20 | 2.24 | 2.08 | 1.66 | | | |

| | 0 | 1 | 2 | 3 | 4 | 5 | 6 | 7 | 8 | 9 | 10 |
|-----|------|------|------|------|------|------|------|------|------|------|------|
| KY1 | 0.84 | 0.84 | 0.36 | 0.26 | 0.22 | 0.12 | 0.23 | 0.46 | 0.62 | 1.07 | 1.00 |
| KY2 | 1.13 | 0.81 | 0.61 | 0.49 | 0.44 | 0.34 | 0.43 | 0.63 | 0.88 | 1.08 | 0.85 |
| KY3 | 1.39 | 1.10 | 0.99 | 0.69 | 0.67 | 0.58 | 0.66 | 0.88 | 1.02 | 0.90 | 0.58 |
| KY4 | 1.24 | 1.24 | 1.15 | 1.03 | 0.97 | 0.88 | 0.96 | 0.98 | 0.90 | 0.74 | |
| KY5 | 0.60 | 1.24 | 1.16 | 1.06 | 1.02 | 1.05 | 1.02 | 0.96 | 0.80 | 0.55 | |
| KY6 | | 0.91 | 1.12 | 1.07 | 1.06 | 1.08 | 1.06 | 0.92 | 0.68 | 0.37 | |
| KY7 | | | 1.04 | 1.07 | 1.07 | 1.07 | 1.01 | 0.83 | | | |

| | 0 | 1 | 2 | 3 | 4 | 5 | 6 | 7 | 8 | 9 | 10 |
|--------|------|------|------|------|------|------|------|------|------|------|------|
| KY1.L1 | 1.74 | 1.95 | 0.84 | 0.63 | 0.54 | 0.27 | 0.52 | 1.01 | 1.28 | 2.03 | 0.58 |
| KY2.L2 | 2.48 | 2.05 | 1.62 | 1.37 | 1.25 | 0.91 | 1.14 | 1.63 | 2.20 | 2.10 | 0.27 |
| KY3.L3 | 2.92 | 2.99 | 2.87 | 2.11 | 2.09 | 2.03 | 1.96 | 2.60 | 2.75 | 1.49 | 0.06 |
| KY4.L4 | 1.01 | 3.02 | 3.23 | 3.35 | 3.22 | 2.81 | 3.07 | 2.88 | 2.12 | 1.00 | |
| KY5.L5 | 0.25 | 2.55 | 3.01 | 3.05 | 3.06 | 3.10 | 2.89 | 2.45 | 1.58 | 0.56 | |
| KY6.L6 | | 1.31 | 2.53 | 2.67 | 2.75 | 2.74 | 2.56 | 1.93 | 1.03 | 0.22 | |
| KY7.L7 | | | 1.97 | 2.24 | 2.35 | 2.40 | 2.10 | 1.38 | | | |

TABLA Nº 10.1

CALCULO DE CURVAS CRUZADAS, PARA $\theta = 45^\circ$

| | 0 | 1 | 2 | 3 | 4 | 5 | 6 | 7 | 8 | 9 | 10 |
|----|------|------|------|------|------|------|------|------|------|------|------|
| L1 | 1.48 | 1.70 | 1.82 | 1.96 | 2.02 | 1.90 | 1.78 | 1.70 | 1.52 | 1.24 | 0.72 |
| L2 | 1.60 | 1.86 | 2.00 | 2.14 | 2.20 | 2.10 | 2.08 | 2.00 | 1.84 | 1.58 | 0.96 |
| L3 | 1.64 | 1.98 | 2.14 | 2.32 | 2.38 | 2.24 | 2.24 | 2.24 | 2.14 | 1.90 | 0.46 |
| L4 | 1.68 | 2.04 | 2.26 | 2.42 | 2.50 | 2.34 | 2.36 | 2.40 | 2.36 | 2.22 | 0.10 |
| L5 | 1.64 | 2.14 | 2.38 | 2.52 | 2.56 | 2.42 | 2.44 | 2.50 | 2.56 | 1.76 | |
| L6 | 1.30 | 2.42 | 2.60 | 2.62 | 2.66 | 2.52 | 2.54 | 2.64 | 2.40 | 1.20 | |
| L7 | 0.20 | 2.24 | 2.38 | 2.74 | 2.80 | | | | | | |

→ a

| | 0 | 1 | 2 | 3 | 4 | 5 | 6 | 7 | 8 | 9 | 10 |
|-----|------|------|------|------|------|------|------|------|------|------|------|
| KY1 | 0.78 | 0.76 | 0.58 | 0.48 | 0.43 | 0.33 | 0.45 | 0.64 | 0.86 | 1.30 | 1.64 |
| KY2 | 1.14 | 0.88 | 0.70 | 0.60 | 0.54 | 0.41 | 0.54 | 0.70 | 0.96 | 1.20 | 1.64 |
| KY3 | 1.36 | 1.05 | 0.88 | 0.67 | 0.71 | 0.64 | 0.69 | 0.81 | 1.01 | 1.34 | 1.25 |
| KY4 | 1.58 | 1.27 | 1.04 | 0.94 | 0.88 | 0.83 | 0.87 | 0.98 | 1.14 | 1.40 | 0.94 |
| KY5 | 1.81 | 1.44 | 1.22 | 1.10 | 1.07 | 1.01 | 1.04 | 1.14 | 1.25 | 1.12 | |
| KY6 | 1.83 | 1.50 | 1.42 | 1.28 | 1.24 | 1.20 | 1.26 | 1.32 | 1.26 | 0.74 | |
| KY7 | 1.83 | 1.44 | 1.56 | 1.45 | 1.42 | 1.35 | 1.40 | 1.29 | 1.00 | 0.34 | |

→ b

| | 0 | 1 | 2 | 3 | 4 | 5 | 6 | 7 | 8 | 9 | 10 |
|--------|------|------|------|------|------|------|------|------|------|------|------|
| KY1 L1 | 1.45 | 1.29 | 1.05 | 0.94 | 0.86 | 0.62 | 0.80 | 1.08 | 1.30 | 1.48 | 1.18 |
| KY2 L2 | 1.82 | 1.63 | 1.40 | 1.28 | 1.18 | 0.86 | 1.12 | 1.40 | 1.76 | 2.02 | 1.57 |
| KY3 L3 | 2.23 | 2.08 | 1.88 | 1.55 | 1.68 | 1.43 | 1.54 | 1.81 | 2.16 | 2.54 | 0.57 |
| KY4 L4 | 2.65 | 2.59 | 2.35 | 2.27 | 2.20 | 1.94 | 2.05 | 2.35 | 2.69 | 3.10 | 0.09 |
| KY5 L5 | 2.96 | 3.08 | 2.90 | 2.77 | 3.17 | 2.44 | 2.53 | 2.85 | 3.20 | 1.97 | |
| KY6 L6 | 2.38 | 3.63 | 3.69 | 3.35 | 3.29 | 3.02 | 3.20 | 3.48 | 3.02 | 0.88 | |
| KY7 L7 | 0.30 | 3.22 | 3.71 | 3.97 | 3.64 | 3.80 | 3.12 | 1.80 | 0.11 | | |

→ c

TABLA Nº 10.2

| WL ₁ | WL ₂ | WL ₃ | WL ₄ | WL ₅ |
|-----------------|-----------------|-----------------|-----------------|-----------------|
| Σ | FS | Σ FT | Σ | FS |
| 17.84 | 1/2 | 8.92 | | |
| 20.36 | 1 | 20.36 | 20.36 | 1/2 |
| 21.68 | 1 | 21.68 | 21.68 | 1 |
| 22.74 | 1 | 22.74 | 22.74 | 1 |
| 22.92 | 1 | 22.92 | 22.92 | 1 |
| 22.90 | 1 | 22.90 | 22.90 | 1 |
| 20.34 | 1/2 | 10.17 | 20.34 | 1/2 |
| | | 110.59 | 110.59 | 89.67 |
| | | | 67.37 | |

a

| WL ₁ | WL ₂ | WL ₃ | WL ₄ | WL ₅ |
|--|-----------------|-----------------|-----------------|-----------------|
| Σ | FS | Σ FT | Σ | FS |
| KY = Σ MOMENTO / Σ VOLUMEN h s | | | | |
| DESPLAZAMIENTO = Σ VOLUMEN h s | | | | |
| | | | | |
| | | | | |
| | | | | |

$h = 1.16 \text{ m}$
 $s = 0.25 \text{ m}$

b

| WL ₁ | WL ₂ | WL ₃ | WL ₄ | WL ₅ |
|-----------------|-----------------|-----------------|-----------------|-----------------|
| Σ | FS | Σ FT | Σ | FS |
| 12.05 | 1/2 | 6.02 | | |
| 16.04 | 1 | 16.04 | 16.04 | 1/2 |
| 19.47 | 1 | 19.47 | 19.47 | 1 |
| 24.28 | 1 | 24.28 | 24.28 | 1 |
| 27.87 | 1 | 27.87 | 27.87 | 1 |
| 29.94 | 1 | 29.94 | 29.94 | 1 |
| 27.64 | 1/2 | 13.82 | 13.82 | 1/2 |
| 137.44 | | 121.40 | 105.64 | 83.77 |

c

TABLA N° 105

64

CALCULO DE CURVAS CRUZADAS, PARA

 $\theta = 60^\circ$

| | 0 | 1 | 2 | 3 | 4 | 5 | 6 | 7 | 8 | 9 | 10 |
|----|------|-------|------|------|------|------|------|------|------|------|------|
| L1 | 1.14 | 1.36 | 1.50 | 1.72 | 1.64 | 1.63 | 1.58 | 1.40 | 1.12 | 0.72 | 0.06 |
| L2 | 1.26 | 1.50 | 1.64 | 1.86 | 1.80 | 1.72 | 1.76 | 1.68 | 1.46 | 1.06 | 0.40 |
| L3 | 1.32 | 1.60 | 1.76 | 1.98 | 1.92 | 1.88 | 1.86 | 1.74 | 1.40 | 0.74 | |
| L4 | 1.36 | 1.68 | 1.88 | 2.08 | 2.02 | 1.96 | 1.96 | 2.00 | 1.94 | 1.72 | 1.12 |
| L5 | 1.40 | 1.72 | 1.92 | 2.14 | 2.10 | 2.00 | 2.03 | 2.10 | 2.12 | 2.00 | 0.28 |
| L6 | 1.38 | 1.90 | 2.21 | 2.20 | 2.17 | 2.10 | 2.12 | 2.20 | 2.26 | 2.26 | |
| L7 | 1.32 | 2.34. | 2.20 | 2.32 | 2.28 | 2.20 | 2.24 | 2.32 | 2.40 | 2.30 | |

a

b

c

| | 0 | 1 | 2 | 3 | 4 | 5 | 6 | 7 | 8 | 9 | 10 |
|-----|------|------|------|------|------|------|------|------|------|------|------|
| KY1 | 1.26 | 1.04 | 0.84 | 0.74 | 0.70 | 0.64 | 0.71 | 0.90 | 1.17 | 1.50 | 2.20 |
| KY2 | 1.29 | 1.00 | 0.92 | 0.80 | 0.76 | 0.71 | 0.76 | 0.90 | 1.14 | 1.50 | 1.98 |
| KY3 | 1.42 | 1.16 | 1.00 | 0.88 | 0.83 | 0.80 | 0.84 | 1.06 | 1.15 | 1.48 | 1.98 |
| KY4 | 1.52 | 1.26 | 1.08 | 0.97 | 0.94 | 0.91 | 0.95 | 1.04 | 1.20 | 1.46 | 1.93 |
| KY5 | 1.64 | 1.46 | 1.20 | 1.06 | 1.03 | 1.00 | 1.04 | 1.11 | 1.22 | 1.46 | 1.28 |
| KY6 | 1.72 | 1.42 | 1.30 | 1.16 | 1.13 | 1.10 | 1.14 | 1.20 | 1.30 | 1.40 | |
| KY7 | 1.94 | 1.32 | 1.30 | 1.24 | 1.19 | 1.17 | 1.21 | 1.49 | 1.36 | 1.24 | |

| | 0 | 1 | 2 | 3 | 4 | 5 | 6 | 7 | 8 | 9 | 10 |
|--------|------|------|------|------|------|------|------|------|------|------|------|
| KY1 L1 | 1.43 | 1.41 | 1.26 | 1.21 | 1.20 | 1.04 | 1.12 | 1.26 | 1.31 | 1.08 | 0.13 |
| KY2 L2 | 1.62 | 1.50 | 1.44 | 1.41 | 1.26 | 1.33 | 1.51 | 1.66 | 1.59 | 0.79 | |
| KY3 L3 | 1.87 | 1.85 | 1.76 | 1.69 | 1.64 | 1.50 | 1.58 | 1.97 | 2.00 | 2.07 | 1.46 |
| KY4 L4 | 2.06 | 2.11 | 2.03 | 1.95 | 1.95 | 1.78 | 1.86 | 2.08 | 2.32 | 2.51 | 2.16 |
| KY5 L5 | 2.29 | 2.51 | 2.30 | 2.22 | 2.20 | 2.00 | 2.11 | 2.33 | 2.58 | 2.92 | 0.35 |
| KY6 L6 | 2.45 | 2.69 | 2.75 | 2.51 | 2.48 | 2.20 | 2.41 | 2.64 | 2.93 | 3.16 | |
| KY7 L7 | 2.56 | 3.08 | 2.85 | 2.82 | 2.76 | 2.57 | 2.71 | 3.45 | 3.26 | 2.85 | |

TABLA N° 10.3

| WL ₁ | | | WL ₂ | | | WL ₃ | | | WL ₄ | | | WL ₅ | | |
|-----------------|-----|--------|-----------------|-----|-------|-----------------|-----|-------|-----------------|-----|-------|-----------------|-----|-------|
| Σ | FS | ΣFT | Σ | FS | ΣFT | Σ | FS | ΣFT | Σ | FS | ΣFT | Σ | FS | ΣFT |
| 14.87 | 1/2 | 7.43 | | | | | | | | | | | | |
| 16.02 | 1 | 16.02 | 16.02 | 1/2 | 8.01 | | | | | | | | | |
| 18.08 | 1 | 18.08 | 18.08 | 1 | 18.08 | 18.08 | 1/2 | 9.04 | | | | | | |
| 19.72 | 1 | 19.72 | 19.72 | 1 | 19.72 | 19.72 | 1 | 19.72 | 19.72 | 1/2 | 9.86 | | | |
| 19.81 | 1 | 19.81 | 19.81 | 1 | 19.81 | 19.81 | 1 | 19.81 | 19.81 | 1 | 19.81 | 19.81 | 1/2 | 9.90 |
| 20.71 | 1 | 20.71 | 20.71 | 1 | 20.71 | 20.71 | 1 | 20.71 | 20.71 | 1 | 20.71 | 20.71 | 1 | 20.71 |
| 21.92 | 1/2 | 10.96 | 21.92 | 1/2 | 10.96 | 21.92 | 1/2 | 10.96 | 21.92 | 1/2 | 10.96 | 21.92 | 1/2 | 10.86 |
| | | 112.76 | | | 97.29 | | | 80.24 | | | 61.34 | | | 41.57 |

a

b

c

| WL ₁ | | | WL ₂ | | | WL ₃ | | | WL ₄ | | | WL ₅ | | |
|-----------------|-----|--------|-----------------|-----|-------|-----------------|-----|-------|-----------------|-----|-------|-----------------|-----|-------|
| Σ | FS | ΣFT | Σ | FS | ΣFT | Σ | FS | ΣFT | Σ | FS | ΣFT | Σ | FS | ΣFT |
| 12.45 | 1/2 | 6.22 | | | | | | | | | | | | |
| 15.61 | 1 | 15.61 | 15.61 | 1/2 | 7.80 | | | | | | | | | |
| 19.39 | 1 | 19.39 | 19.39 | 1 | 19.39 | 19.39 | 1/2 | 9.69 | | | | | | |
| 22.81 | 1 | 22.81 | 22.81 | 1 | 22.81 | 22.81 | 1 | 22.81 | 22.81 | 1/2 | 11.40 | | | |
| 23.81 | 1 | 23.81 | 23.81 | 1 | 23.81 | 23.81 | 1 | 23.81 | 23.81 | 1 | 23.81 | 23.81 | 1/2 | 11.90 |
| 26.22 | 1 | 26.22 | 26.22 | 1 | 26.22 | 26.22 | 1 | 26.22 | 26.22 | 1 | 26.22 | 26.22 | 1 | 26.22 |
| 28.91 | 1/2 | 14.49 | 28.50 | 1/2 | 14.50 | 28.91 | 1/2 | 14.50 | 28.91 | 1/2 | 14.50 | 28.91 | 1/2 | 14.50 |
| | | 128.46 | | | | | | | | | | | | |

KY = Σ MOMENTO / Σ VOLUMEN

DESPLAZAMIENTO = Σ VOLUMEN h.s

$$\begin{aligned} h &= 1.16 \text{ m} \\ s &= 0.25 \text{ m} \end{aligned}$$

| WL ₁ | | | WL ₂ | | | WL ₃ | | | WL ₄ | | | WL ₅ | | |
|-----------------|-----|--------|-----------------|-----|-------|-----------------|-----|-------|-----------------|-----|-------|-----------------|-----|-------|
| Σ | FS | ΣFT | Σ | FS | ΣFT | Σ | FS | ΣFT | Σ | FS | ΣFT | Σ | FS | ΣFT |
| 12.45 | 1/2 | 6.22 | | | | | | | | | | | | |
| 15.61 | 1 | 15.61 | 15.61 | 1/2 | 7.80 | | | | | | | | | |
| 19.39 | 1 | 19.39 | 19.39 | 1 | 19.39 | 19.39 | 1/2 | 9.69 | | | | | | |
| 22.81 | 1 | 22.81 | 22.81 | 1 | 22.81 | 22.81 | 1 | 22.81 | 22.81 | 1/2 | 11.40 | | | |
| 23.81 | 1 | 23.81 | 23.81 | 1 | 23.81 | 23.81 | 1 | 23.81 | 23.81 | 1 | 23.81 | 23.81 | 1/2 | 11.90 |
| 26.22 | 1 | 26.22 | 26.22 | 1 | 26.22 | 26.22 | 1 | 26.22 | 26.22 | 1 | 26.22 | 26.22 | 1 | 26.22 |
| 28.91 | 1/2 | 14.49 | 28.50 | 1/2 | 14.50 | 28.91 | 1/2 | 14.50 | 28.91 | 1/2 | 14.50 | 28.91 | 1/2 | 14.50 |
| | | 114.43 | | | | | | | | | | | | |

TABLA N° 1073 20

74.76

52.22

CÁLCULO DE CURVAS CRUZADAS, PARA $\phi = 75^\circ$

| | 0 | 1 | 2 | 3 | 4 | 5 | 6 | 7 | 8 | 9 | 10 |
|----|------|------|------|------|------|------|------|------|------|------|------|
| L1 | 0.80 | 1.10 | 1.28 | 1.44 | 1.52 | 1.44 | 1.36 | 1.06 | 0.64 | | |
| L2 | 1.02 | 1.28 | 1.44 | 1.60 | 1.68 | 1.58 | 1.56 | 1.42 | 1.06 | 0.44 | |
| L3 | 1.14 | 1.40 | 1.56 | 1.72 | 1.78 | 1.68 | 1.64 | 1.42 | 0.86 | | |
| L4 | 1.20 | 1.46 | 1.66 | 1.80 | 1.86 | 1.74 | 1.76 | 1.78 | 1.68 | 1.26 | 0.34 |
| L5 | 1.24 | 1.54 | 1.74 | 1.88 | 1.94 | 1.82 | 1.82 | 1.88 | 1.86 | 1.60 | 0.74 |
| L6 | 1.26 | 1.62 | 1.84 | 1.98 | 2.00 | 1.88 | 1.90 | 1.96 | 2.02 | 1.92 | 1.20 |
| L7 | 1.26 | 1.98 | 1.96 | 2.60 | 2.10 | 2.00 | 1.98 | 2.08 | 2.16 | 2.20 | 0.12 |

→ a

| | 0 | 1 | 2 | 3 | 4 | 5 | 6 | 7 | 8 | 9 | 10 |
|-----|------|------|------|------|------|------|------|------|------|------|------|
| KY1 | 1.60 | 1.36 | 1.19 | 1.07 | 1.04 | 0.99 | 1.08 | 1.31 | 1.64 | | |
| KY2 | 1.56 | 1.34 | 1.18 | 1.07 | 1.04 | 1.04 | 1.04 | 1.31 | 1.50 | 1.94 | |
| KY3 | 1.56 | 1.25 | 1.20 | 1.08 | 1.06 | 1.02 | 1.05 | 1.16 | 1.16 | 1.82 | |
| KY4 | 1.60 | 1.40 | 1.22 | 1.11 | 1.08 | 1.06 | 1.08 | 1.17 | 1.34 | 1.70 | 2.17 |
| KY5 | 1.68 | 1.42 | 1.25 | 1.16 | 1.12 | 1.08 | 1.12 | 1.19 | 1.56 | 1.56 | 2.14 |
| KY6 | 1.70 | 1.45 | 1.28 | 1.17 | 1.14 | 1.12 | 1.14 | 1.21 | 1.30 | 1.50 | 2.00 |
| KY7 | 1.78 | 1.34 | 1.26 | 1.18 | 1.15 | 1.11 | 1.17 | 1.21 | 1.33 | 1.41 | 2.58 |

→ b

| | 0 | 1 | 2 | 3 | 4 | 5 | 6 | 7 | 8 | 9 | 10 |
|--------|------|------|------|------|------|------|------|------|------|------|------|
| KY1.L1 | 1.28 | 1.49 | 1.52 | 1.54 | 1.58 | 1.52 | 1.46 | 1.38 | 1.04 | 0.0 | 0.0 |
| KY2.L2 | 1.59 | 1.49 | 1.69 | 1.71 | 1.74 | 1.64 | 1.62 | 1.86 | 1.59 | 0.85 | |
| KY3.L3 | 1.77 | 1.71 | 1.87 | 1.85 | 1.88 | 1.71 | 1.76 | 1.90 | 1.64 | 1.56 | |
| KY4.L4 | 1.92 | 1.75 | 2.02 | 1.99 | 2.00 | 1.84 | 1.90 | 2.08 | 2.25 | 2.14 | 0.77 |
| KY5.L5 | 2.08 | 2.04 | 2.17 | 2.12 | 2.17 | 1.96 | 2.03 | 2.23 | 2.90 | 2.49 | 1.58 |
| KY6.L6 | 2.14 | 2.18 | 2.35 | 2.31 | 2.28 | 2.10 | 2.16 | 2.37 | 2.62 | 2.88 | 2.40 |
| KY7.L7 | 2.24 | 2.34 | 2.46 | 3.06 | 2.41 | 2.77 | 2.31 | 2.51 | 2.87 | 3.10 | 0.30 |

→ c

TABLA N° 10.4

| | WL1 | | | WL2 | | | WL3 | | | WL4 | | | WL5 | | |
|----------|-----|--------------|----------|-----|--------------|----------|------|--------------|----------|-----|--------------|----------|-----|--------------|--|
| Σ | F.S | $\Sigma F.T$ | Σ | F.S | $\Sigma F.T$ | Σ | F.S | $\Sigma F.T$ | Σ | F.S | $\Sigma F.T$ | Σ | F.S | $\Sigma F.T$ | |
| 10.64 | 1/2 | 5.32 | | | | | | | | | | | | | |
| 13.08 | 1 | 13.08 | 13.08 | 1/2 | 6.54 | | | | | | | | | | |
| 14.88 | 1 | 14.88 | 14.88 | 1 | 14.88 | 1/2 | 7.44 | | | | | | | | |
| 16.54 | 1 | 16.54 | 16.54 | 1 | 16.54 | 16.54 | 1 | 16.54 | 16.54 | 1/2 | 8.27 | | | | |
| 18.06 | 1 | 18.06 | 18.06 | 1 | 18.06 | 18.06 | 1 | 18.06 | 18.06 | 1 | 18.06 | 18.06 | 1/2 | 9.03 | |
| 19.58 | 1 | 19.58 | 19.58 | 1 | 19.58 | 19.58 | 1 | 19.58 | 19.58 | 1 | 19.58 | 19.58 | 1 | 19.58 | |
| 20.94 | 1/2 | 20.94 | 20.94 | 1/2 | 10.47 | 20.94 | 1/2 | 10.47 | 20.94 | 1/2 | 10.47 | 20.94 | 1/2 | 10.47 | |

a

b

c

| $K_Y = \frac{\Sigma \text{ MOMENTO}}{\Sigma \text{ VOLUMEN}}$ |
|---|
| DESPLAZAMIENTO = Σ VOLUMEN . h.s |

$$\begin{aligned} h &= 1.16 \text{ m} \\ s &= 0.25 \text{ m} \end{aligned}$$

| | WL1 | | | WL2 | | | WL3 | | | WL4 | | | WL5 | | |
|----------|-----|--------------|----------|-----|--------------|----------|-----|--------------|----------|-----|--------------|----------|-----|--------------|--|
| Σ | F.S | $\Sigma F.T$ | |
| 12.71 | 1/2 | 6.30 | | | | | | | | | | | | | |
| 16.00 | 1 | 16.00 | 16.00 | 1/2 | 8.00 | | | | | | | | | | |
| 17.69 | 1 | 17.69 | 17.69 | 1 | 17.69 | 17.69 | 1/2 | 8.84 | | | | | | | |
| 20.95 | 1 | 20.95 | 20.95 | 1 | 20.95 | 20.95 | 1 | 20.95 | 20.95 | 1/2 | 10.47 | | | | |
| 23.97 | 1 | 23.97 | 23.97 | 1 | 23.97 | 23.97 | 1 | 23.97 | 23.97 | 1 | 23.97 | 23.97 | 1/2 | 11.98 | |
| 25.95 | 1 | 25.95 | 25.95 | 1 | 25.95 | 25.95 | 1 | 25.95 | 25.95 | 1 | 25.95 | 25.95 | 1 | 25.95 | |
| 26.68 | 1/2 | 26.68 | 26.68 | 1/2 | 13.34 | 26.68 | 1/2 | 13.34 | 26.68 | 1/2 | 13.34 | 26.68 | 1/2 | 13.34 | |
| 124.25 | | | | | 110.00 | | | | | | | 73.68 | | | |

TABLA N° 10.4

0.05

51.19

RESUMEN DE CALCULO DE CURVAS CRUZADAS

| Lxv | 15° | | 30° | | 45° | | 60° | | 75° | |
|-----|------|-------|------|-------|------|-------|------|-------|------|-------|
| | KY | Δ |
| Lw3 | 0.49 | 40.21 | 0.87 | 39.64 | 1.06 | 37.61 | 1.14 | 32.70 | 1.27 | 29.39 |
| Lw4 | 0.53 | 29.46 | 0.93 | 32.51 | 1.10 | 32.07 | 1.17 | 28.31 | 1.28 | 24.94 |
| Lw5 | 0.54 | 21.04 | 0.96 | 25.44 | 1.18 | 26.00 | 1.21 | 23.26 | 1.29 | 20.90 |
| Lw6 | 0.58 | 13.38 | 0.97 | 17.75 | 1.24 | 19.53 | 1.22 | 17.78 | 1.30 | 16.35 |
| Lw7 | 0.62 | 7.14 | 0.98 | 10.80 | 1.30 | 12.91 | 1.26 | 12.05 | 1.31 | 11.33 |

TABLA N° 11

CURVAS CRUZADAS

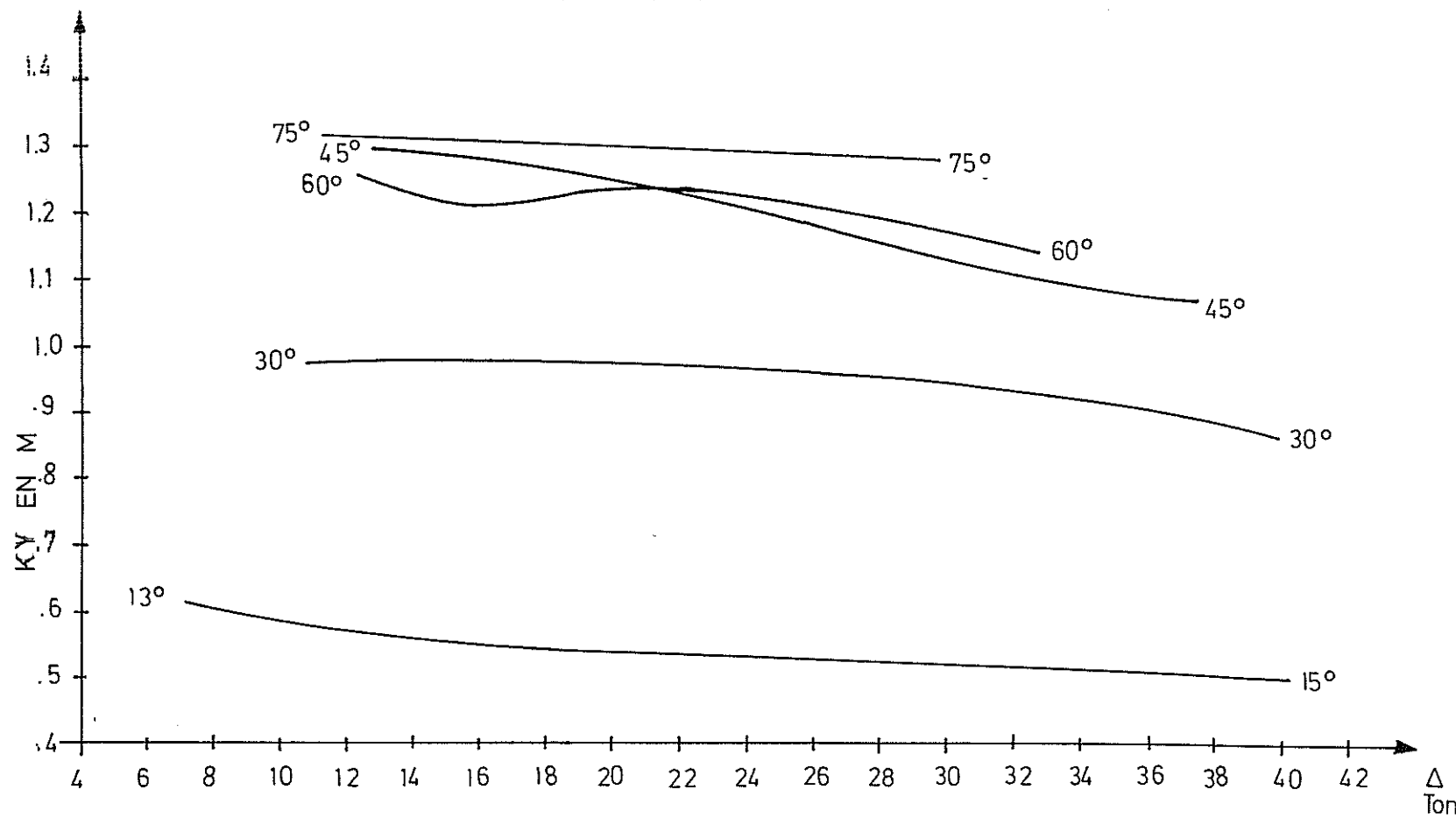


FIGURA N°12

4.5.1 Espaciamiento de cuadernas centrales

$$S = 1.520 + L (0.7L - 54)$$

$$S = 1.520 + 11.6 (0.7 \times 11.6 - 54)$$

$$= 987 \text{ m.m.}$$

4.5.2 Espaciamiento de las cuadernas de los extremos (Sf)

$$S_f = 0.75 S$$

$$S_f = 0.75 \times 976$$

$$= 740 \text{ m.m.}$$

4.5.3 Carga de Diseño (h)

$$h = \left(\frac{L}{100} + 0.50 \right) 2.5 + D^1$$

$$D^1 = D - H/2 \text{ (Fig. N° 13)}$$

$$= 1.98 - \frac{0.50}{2} = 1.63$$

$$h = \left(\frac{11.6}{100} + 0.50 \right) 2.5 + 1.63$$

$$= 1.54 + 1.63$$

$$= 3.17 \text{ m.}$$

4.5.4 Módulo seccional requerido de la cuaderna transversal maestra (Z)

$$Z = 30C_2 l^2 \times S \times h$$

$$l = l_o - 3f + 0.3R \text{ (Fig. N° 14)}$$

$$l_o = 1.10 \text{ m.}$$

$$R = 0.69 \text{ m.}$$

$$h = 3.17 \text{ m.}$$

$$C_2 = 0.666$$

$$f = 0$$

$$l = 1.10 \quad 3 \times 0 + 0.3 \times 0.69$$

$$= 1.307 \text{ m.}$$

$$Z = 30 \times 0.666 (1,3)^2 \times 0.90 \times 3,17$$

$$= 96.33 \text{ cm}^3.$$

4.5.5 Espesor y estructura laminar del Casco

a) Límites del Espesor laminar del casco en el fondo

$$l_{\min} = 20 C_1 S (D - 0.45) F$$

$$= 20 \times 0.764 \times 0.90 (2.14 - 0.45) \times 0.70$$

$$= 16.26 \text{ m.m.}$$

$$t_{\max} = C_1 (L + 15)$$

$$= 0.764 (12,96 + 15)$$

$$= 21.36 \text{ m.m.}$$

El espesor de la lámina del casco, deberá oscilar entre 16 y 22 m.m.

b) Estructura de la lámina del casco

Para nuestro diseño, escogemos la estructura tipo "C" (Fig. 15)

$$\begin{aligned} S_1 &= 50 \text{ m.m.} \\ \text{Reforzamiento Longitudinal} \end{aligned}$$

$$D_1 = 6 \text{ m.m.}$$

$$S_2 = 100 \text{ m.m.}$$

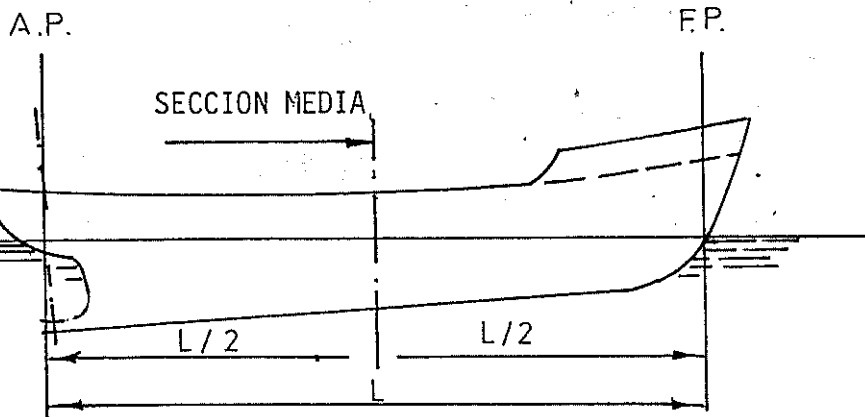
Reforzamiento Transversal

$$D_2 = 4 \text{ m.m.}$$

4 capas de malla externa, galvanizada, cuadrada y sol

DEFINICIONES :

A. — ESLORA



B. — SECCION MEDIA.

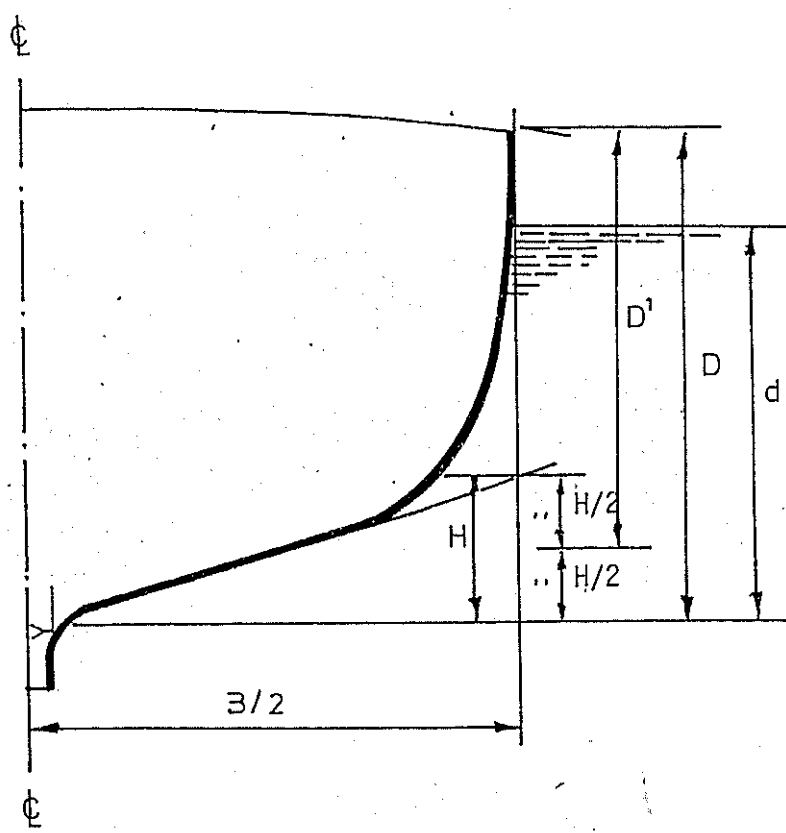
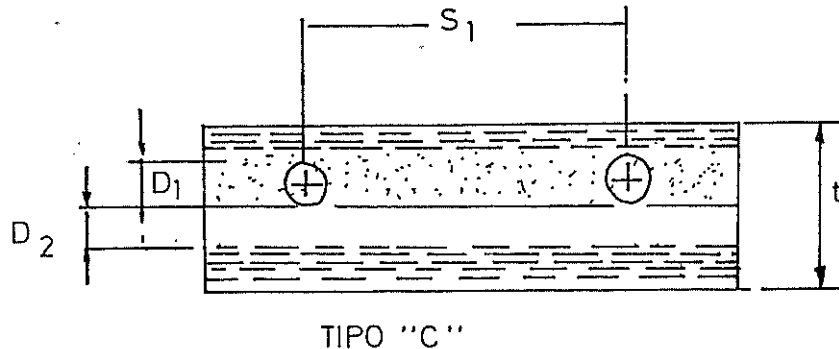


FIGURA N°13

ESTRUCTURA LAMINAR



CUADERNA CENTRAL

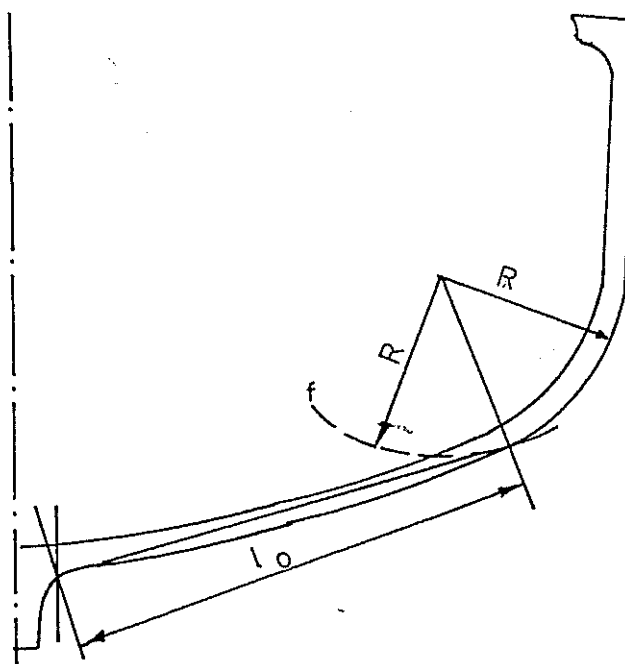


FIGURA N° 14

dada

| | | | |
|------|---|------------------------------|--------------------|
| i | = | 25 m.m x 25 m.m x 16 calibre | 1.651 m.m |
| i | = | 19 m.m x 19 m.m x 16 calibre | 1.29 m.m (Espesor) |
| iii | = | 13 m.m x 13 m.m x 19 calibre | 1.067 m.m |
| iiii | = | 13 m.m x 13 m.m x 19 calibre | 0.91 m.m (Espesor) |

3 capas de malla interna, galvanizada, cuadrada y sólo
dada

| | | |
|-----|---|------------------------------|
| i | = | 25 m.m x 25 m.m x 16 calibre |
| ii | = | 19 m.m x 19 m.m x 19 calibre |
| iii | = | 13 m.m x 13 m.m x 19 calibre |

$$\text{Tamaño promedio malla externa} = \frac{25 + 19 + 13}{4} = 17.5 \text{ m.m}$$

$$\text{Tamaño promedio malla interna} = \frac{25 + 19 + 13}{3} = 19.0 \text{ m.m}$$

$$a = \text{Tamaño Promedio de malla} = \frac{17.5 + 19.0}{2} = 18.25 \text{ m.m}$$

$$\text{Calibre Promedio malla externa} = \frac{1.651 \times 2 + 1.067 \times 2}{4} = 1.359 \text{ m.m}$$

$$\text{Calibre promedio malla interna} = \frac{1.651 + 1.067 + 2}{3} = 1.261 \text{ m.m}$$

$$d = \text{Calibre promedio de malla} = \frac{1.359 + 1.261}{2} = 1.31 \text{ m.m}$$

$$\text{Espesor malla externa} = 1.29 \times 2 + 0.91 \times 2 = 4.4 \text{ m.m}$$

$$\text{Espesor malla interna} = 1.29 \times 2 + 0.91 = 3.49 \text{ m.m}$$

$$t = \text{Espesor de la lámina} = 4.4 + 6 + 4 + 3.49 = 17.89 \text{ mm.}$$

Se encuentra dentro de los límites permisibles
(16.0 - 22.0 m.m)

$$\begin{aligned} \text{Espesor del casco} &= 3 + 4.4 + 6 + 4 + 3.40 + 3 = \\ &= 23.89 \text{ m.m} \end{aligned}$$

c) Requerimiento de resistencia del casco

Coeficiente específico de adhesión de las mallas (kn)
en cm^2/cm^3 .

$$K_n = 59 \frac{d}{a} \cdot \frac{n}{t - (D_1 + D_2)} \quad (\text{Tabla N}^{\circ} 12)$$

$$= 59 \times \frac{1.31}{18.25} \cdot \frac{7}{17.9 - (6 + 4)} = \frac{541,03}{144,17} = 3,75 \text{ cm}^2/\text{cm}^3$$

Se encuentra dentro de los límites permisibles
(Tabla N^o 12)

Coeficiente específico de adhesión total (Kt) en cm^2/cm^3

$$K_t = 31.4 \cdot \frac{1}{t} \left(\frac{D_1}{S_1} + \frac{D_2}{S_2} \right) + K_n \left(1 - \frac{D_1 + D_2}{t} \right)$$

Tabla N^o 12

$$= 31.4 \cdot \frac{1}{17.9} \left(\frac{6}{50} + \frac{4}{100} \right) + 3.75 \left(1 - \frac{6 + 4}{17.9} \right)$$

$$= 0.28 + 1.65$$

$$= 1,94 \text{ cm}^2/\text{cm}^3$$

Se encuentra dentro de los límites permisibles
(Tabla N^o 12)

Coeficiente porcentual de reforzamiento (U_t) en %

$$U_t = 78,5 \frac{D_2}{S \times T} + U_n \left(1 - \frac{D_1 + D_2}{t}\right) \text{ (Tabla N° 12)}$$

$$U_n = 1.25 \times d \times H_n$$

$$= 1.25 \times 1.31 \times 3.75 = 6.14\%$$

$$(U_t)_x = 78.5 \cdot \frac{(4)^2}{100 \times 17.9} + 6,14 \left(1 - \frac{6 + 4}{17.9}\right)$$

$$= 3,34\%$$

$$(U_t)_y = 78.5 \frac{(6)^2}{50 \times 17.9} + 6,14 \left(1 - \frac{6 + 4}{17.9}\right)$$

$$= 5,79\%$$

Se encuentran dentro de los límites permisibles
(Tabla N° 12)

Contenido específico de acero (G_n) en Kg/dm³

Asumimos $G_n = 0.7$ Kg/m²

$$G_s = \frac{N \times G_n}{t} + 6.18 \frac{1}{t} \left(\frac{D_1^2}{S_1} + \frac{D_2^2}{S_2} \right) \text{ (Tabla N° 12)}$$

$$G_s = \frac{7 \times 0,7}{17,9} + 6.18 \frac{1}{17.9} \left(\frac{6^2}{50} + \frac{4^2}{100} \right)$$

$$G_s = 0.273 + 0.303$$

$$= 0.576 \text{ Hg/dm}^3$$

Se encuentra dentro de los límites permisibles
(Tabla N° 12)

d) Cálculo del área seccional en el fondo

$$A_b = C_2 \left(\frac{5}{L - 12} + 2.5 \right) \frac{B \times L^2}{D_1}$$

Para Buque menor de 15 m. la expresión $\frac{5}{L-12}$, La asumimos con un valor de 0.5

$$Ab = 0.666 (0.5 + 2,5) \frac{3,6 \times 11.6^2}{1.63}$$

$$= 593 \text{ cm}^2$$

4.5.6 Espesor y estructura laminar de la cubierta

a) Límite del espesor laminar de la cubierta

$$t_{min} = 15C1S (D - 0.45) \times F$$

$$= 15 \times 0.764 \times 0.90 (2.14 - 0.45) 0.70$$

$$= 12.20 \text{ m.m}$$

$$tamx = C_1 (L + 15)$$

$$= 0.764 (11.6 + .15)$$

$$= 20.32 \text{ m.m}$$

Rango Permisible (12 - 21 m.m)

b) Estructura de la lámina de cubierta

$$\begin{aligned} S_1 &= 50 \\ \text{Reforzamiento Longitudinal} \\ D_1 &= 6 \end{aligned}$$

$$\begin{aligned} S_2 &= 100 \\ \text{Reforzamiento transversal} \\ D_2 &= 4 \end{aligned}$$

3 capas de malla exterior, galvanizada, cuadrada y soldada

3 capas de malla interior, galvanizada, cuadrada y soldada

i = 13 m.m x 13 m.m x 19 calibre

ii = 19 m.m x 19 m.m x 16 calibre

iii = 25 m.m x 25 m.m x 16 calibre

$$a = \frac{13 + 19 + 25}{3} = 19$$

$$d = \frac{1.651 \times 2 + 1.067}{3} = 1.45$$

$$t = 1.29 \times 4 + 0.92 \times 2 + 10 = 17 \text{ m.m}$$

Se encuentra dentro de los límites permisibles (12-2 m.m)

c) Requerimientos de resistencia de la cubierta

$$K_n = 59 \frac{d}{a} \frac{n}{T - (D_1 + D_2)}$$

$$= 59 \frac{1.45}{19} \cdot \frac{6}{17 - (6 + 4)}$$

$$= 3.85$$

Se encuentra dentro de los límites permisibles (1.8-4) (Tabla N° 12)

$$K_t = 31.4 \frac{1}{t} \left(\frac{D_1}{S_1} + \frac{D_2}{S_2} \right) + K_n \left(1 - \frac{D_1 + D_2}{t} \right)$$

$$= 31.4 \frac{1}{17} \left(\frac{6}{50} + \frac{4}{10} \right) + 3.85 \left(1 - \frac{6 + 4}{17} \right)$$

$$= 0.29 + 1.58 = 1.87$$

Se encuentra dentro de los límites permisibles (1.6 - 30 m.m)

(Tabla N° 12)

$$U_n = 1.25 d K_n$$

$$= 1.25 \times 1.45 \times 3.85 \\ = 6,97$$

$$(UT)_x = 78.5 \frac{4^2}{100 \times 17} + 6,97 \left(1 - \frac{6+4}{17}\right) \\ = 3.74$$

$$(ut)_y = 78.5 \cdot \frac{6^2}{50 \times 17} + 6.97 \left(1 - \frac{6+4}{17}\right) \\ = 6.33$$

Se encuentra dentro de los límites permisibles (2.0 ~ 6.5) (Tabla Nº 12)

d) Cálculo del área seccional de la cubierta

$$Ad = c_2 \left(\frac{4}{L - 12} + 1 \right) \frac{B \times L_2}{D_1} \\ = 0.666 (0.5 + 2) \frac{3.6 \times 11.6^2}{1.63} \\ = 494 \text{ cm}^2$$

4.5.7 Escantillonado de la cuaderna maestra

- a) Carga de diseño = 3,17 m.
- b) Sección modular de la cuaderna maestra = 96.33 cm³
- c) Cálculo del centro de gravedad

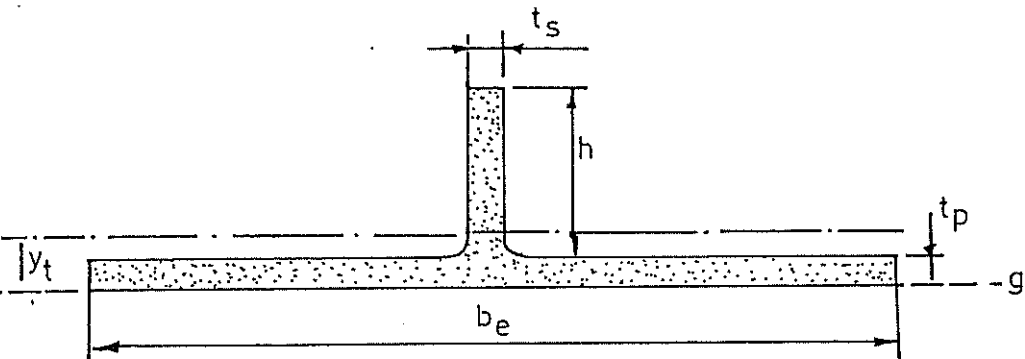
$$t_s = 1,8 \text{ cm.}$$

$$h = 10.0 \text{ cm.} \quad \text{Figura N° 15}$$

$$t_p = 1.8 \text{ cm.}$$

$$b_e = 0.72 \text{ m.}$$

MODULO SECCIONAL DE LA CUADERNA Y BAOS
SECCION TRASVERSAL RECTANGULAR



- b_e = Ancho efectivo del panel $b_e = 0.85 s \text{ cm.}$
 s = Distancia en cm. entre cuadernas
 t_p = Espesor del panel en cm.
 h = Profundidad de la cuaderna en cm.
 t_s = Espesor en cm. del panel/cuaderna
 y_t = Distancia entre la línea base, el centro de gravedad del área seccional

$$y_t = \frac{b_e \cdot \frac{t_p^2}{2} + t_s \cdot h \left(\frac{h}{2} + t_p \right)}{b_e \cdot t_p + t_s \cdot h} \text{ cm}$$

FIGURA N°15

$$\gamma_t = \frac{be \frac{tp^2}{2} + ts \cdot h (\frac{h}{2} + tp)}{be \cdot tp + ts \cdot h}$$

$$\gamma_t = \frac{72 \cdot \frac{(1.8)^2}{2} + 1.8 \times 10 (\frac{10}{2} + 1.8)}{72 \times 1.8 + 1.8 + 10} = 1.61 \text{ cm.}$$

d) Cálculo del momento de inercia

$$\begin{aligned} I &= \frac{be \cdot tp^3}{12} + be \cdot tp (\gamma_t - \frac{tp}{2})^2 + \frac{ts \cdot h^3}{12} + tsh(\frac{h}{2} + tp - \gamma_t)^2 \\ &= \frac{72 \times (1.8)^3}{12} + 72 \cdot 1.8 (1.61 - \frac{1.8}{2})^2 + \frac{1.8 \times (10)^3}{12} \\ &\quad + 1.8 \times 10 (\frac{10}{2} + 10 - 1.61)^2 \\ &= 761 \text{ cm}^4 \end{aligned}$$

e) Módulo seccional de la cuaderna maestra

$$\begin{aligned} Z &= \frac{1}{h + tp - \gamma_t} = \frac{761}{10 + 1.8 - 1.61} \\ &= 74,6 \text{ cm}^3 \end{aligned}$$

Si: $h = 12 \text{ cm.}$

$$\gamma_t = \frac{\frac{(1.8)^2}{2} + 1.8 \times 12 (\frac{12}{2} + 1.8)}{72 \times 1.8 \times 12} = 1.76 \text{ cm.}$$

$$\begin{aligned} I &= \frac{72 (1.8)^3}{12} + 72 \times 1.8 (1.76 - \frac{1.8}{2})^2 + \frac{1.8 (12)^3}{12} \\ &\quad + 1.8 \times 12 (\frac{12}{2} + 1.8 - 1.76)^2 \\ &= 1.178 \text{ cm}^3 \end{aligned}$$

$$Z = \frac{1.178}{12 + 1.8 - 1.76} = 98,16 \text{ cm}^3$$

$$Z \text{ REQUERIDO} = 96.33 \text{ cm}^3$$

4.5.8 Escantillonado de los baos transversales

a) Módulo seccional requerido de los baos transversales

$$Z = 45 K_1 C_2 l \times S \times h \text{ cm}^3$$

$$K_1 = 1.0$$

$$h = 0.175 B$$

$$= 0.175 \times 3,6$$

$$= 0.63 \text{ m.}$$

$$\begin{aligned} Z &= 45 \times 1,0 \times 0,666 \times 1,8^{-2} \times 0,9 \times 0,63 \\ &= 61 \text{ cm}^3 \end{aligned}$$

b) Módulo seccional de los baos transversales

$$t_s = 1.7 \text{ cm.}$$

$$h = 10 \text{ cm.} \quad \text{Figura N° 15}$$

$$t_p = 1.7 \text{ cm.}$$

$$be = 72 \text{ cm.}$$

$$Y_t = \frac{72 \times \frac{1.7^{-2}}{2} + 1.7 \times 10 \left(\frac{10}{2} + 1.7 \right)}{72 \times 1,7 \times 1,7 \times 10} = 1.56 \text{ cm.}$$

$$I = \frac{72 \times 1.7^{-2}}{12} + 72 \times 1,7 \left(1,56 - \frac{1.7}{2} + 1.7 \times 10 \right)$$

$$\left(\frac{10}{2} + 1.7 - 1.56 \right)^2$$

$$= 681.5$$

$$Z = \frac{681.5}{10 + 1.7 - 1.56} = 67 \text{ cm}^3$$

REQUERIMIENTOS DE FERROCEMENTO

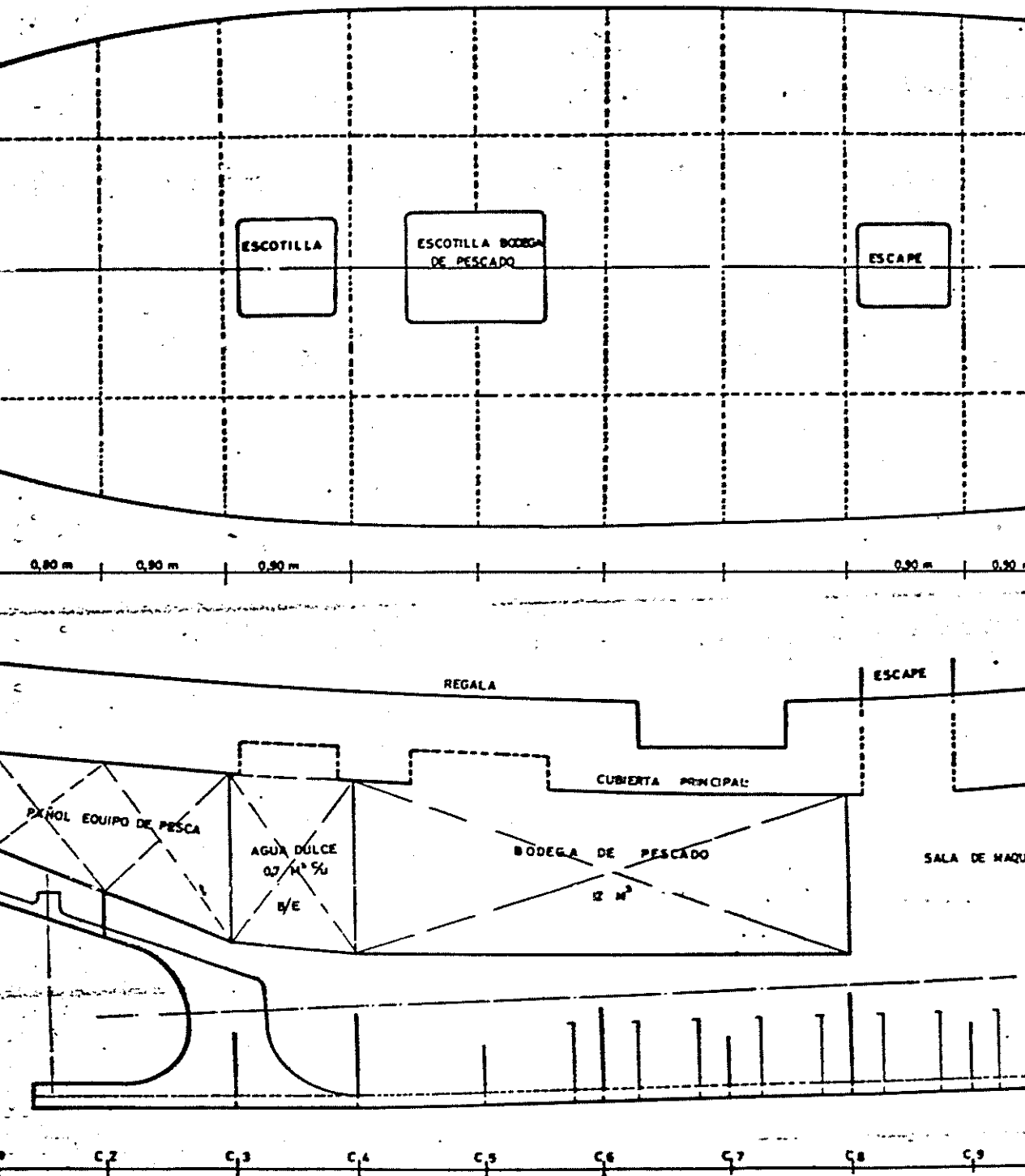
| | |
|--------|--|
| | $K_n \text{ (cm}^2/\text{cm}^3\text{)} \quad K_n = 59 \frac{d}{a} \frac{n}{t - (D_1 + D_2)}$ |
| | $K_t \text{ (cm}^2/\text{cm}^3\text{)} \quad K_t = 31.4 \frac{1}{S_1} \left(\frac{D_1}{S_1} - \frac{D_2}{S_2} \right) + K_h \left(1 - \frac{D_1 + D_2}{t} \right)$ |
| | $n \% \quad n = 1.25 d \quad K_n$ |
| Tipo C | $t \% \quad t = 78.5 \frac{D_2}{S_1 t} + n \left(1 - \frac{D_1 + D_2}{t} \right)$ |
| | En dirección x : $D = D_d S = S_1$ En dirección y : $D = D_d S = S_2$ |
| | $G_s \text{ (Kg/dm}^3\text{)} \quad G_s = \frac{n}{t} \frac{G_n}{t} - 6,18 \frac{1}{t} \left(\frac{D_1^2}{S_1} - \frac{D_2^2}{S_2} \right)$ |

| Tipo de Estructura | $\rho_s \text{ (Kg/dm}^3\text{)}$ | Coeficiente de reforzamiento. $t \text{ en \%}$ | Coeficiente específico de adherencia $(\text{cm}^2/\text{cm}^3)$ | | | | | | | |
|--------------------|-----------------------------------|--|--|------|------|------|------|------|------|------|
| | | | Kn | | Kt | | Kn | | Kt | |
| | | | Min. | Máx. | Min. | Máx. | Min. | Máx. | Min. | Máx. |
| A | 0.33 | 0.60 | 1.75 | 2.8 | 2.0 | 3.0 | 2.0 | 3.0 | | |
| B | 0.35 | 0.65 | 2.0 | 4.0 | 1.9 | 3.5 | 1.8 | 3.0 | | |
| C | 0.38 | 0.65 | 2.0 | 6.5 | 1.8 | 4.0 | 1.6 | 3.0 | | |
| D | 0.38 | 0.65 | 2.0 | 6.5 | 1.8 | 4.0 | 1.4 | 3.0 | | |

TABLA N° 12

FUENTE: DET NORDKE VERITAS

ESCANTILLONES



ESCANILLONES

NOTAS:

- S₁ - ESPACIAMIENTO DE REFUERZOS LONGITUDINALES
 S₂ - ESPACIAMIENTO DE REFUERZOS VERTICALES
 D₁ - DIÁMETRO REFUERZOS LONGITUDINALES
 D₂ - DIÁMETRO REFUERZOS VERTICALES
 T - ESPESOR TOTAL DE LA LAMINA
 L,2,3,4,5&7 CAPAS DE MALLAS

LAMINA DEL CASCO

MALLA GALVANIZADA CUADRADA Y SOLDADA

- S₁ 50 mm
 S₂ 100 mm
 D₁ 6 mm
 D₂ 4 mm
 1 13 mm x 13 mm x 0,92 mm Ø
 2 13 mm x 13 mm x 0,92 mm Ø
 3 19 mm x 19 mm x 1,3 mm Ø
 4 25 mm x 25 mm x 1,3 mm Ø
 5 25 mm x 25 mm x 1,3 mm Ø
 6 19 mm x 19 mm x 1,3 mm Ø
 7 13 mm x 13 mm x 0,92 mm Ø
 T 25 mm

PUNTOS DE
SOLDADURA

LAMINA DE CUBIERTA

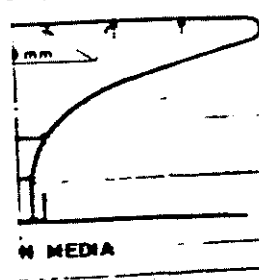
MALLA GALVANIZADA CUADRADA Y SOLDADA

- S₁ 50 mm
 S₂ 100 mm
 D₁ 6 mm
 D₂ 6 mm
 1 13 mm x 13 mm x 0,92 mm Ø
 2 19 mm x 19 mm x 1,3 mm Ø
 3 25 mm x 25 mm x 1,3 mm Ø
 4 25 mm x 25 mm x 1,3 mm Ø
 5 19 mm x 19 mm x 1,3 mm Ø
 6 13 mm x 13 mm x 0,92 mm Ø
 T 25 mm

EST 16

E REFORZAMIENTO

m 120 cm x 20 cm

ESCUELA SUPERIOR POLITECNICA DEL LITORAL
TESIS DE GRADO INGENIERIA NAVAL

PLANO ESCANTILLONADO

ESCALA 1:20

PLANO N°

(2)

DIBUJADO VICENTE GONZALEZ TOALA

CALCULADO VICENTE GONZALEZ TOALA

DIRECTOR DE TESIS

ING. MIGUEL FIERRO

FECHA
FEBRERO 1981

$$Z = \text{REQUERIDO} = 61 \text{ cm}^3$$

4.5.9 Planos de Escantillonado del casco (Plános Nos. 3 y 4)

4.5.10 Pluma y mástil

a) Escantillonado de la pluma

La distancia entre el pié del mástil y el centro de la escotilla es de 3 m.

Para obtener mejores resultados técnicos y eficiencia, escogemos:

$$h/l = 1$$

$$\alpha = 30^\circ$$

Material: Madera (María)

Asumimos: Diámetro = 12 cm.

Factor de seguridad = 8

$$\text{Radio de Giro} = r = \frac{D}{4} = \frac{120 \text{ m.m}}{4} = 30 \text{ m.m}$$

$$\text{Relación de Esbeltez} = \frac{3.500 \text{ m.m}}{30 \text{ m.m}} = 116,66$$

Coeficiente K . (DIAGRAMA) = 0.2

Esfuerzo límite de flexión (María) = $T_d = 450 \text{ k g/cm}^2$

$$\text{Esfuerzo de trabajo seguro } (T_d)_s = \frac{450}{8} = 56.25 \text{ k g/cm}^2$$

Resistencia a la carga segura máxima de la pluma (T)

$$T = (K \gamma) \times A \times (T_d)_s$$

$$= 0.2 \times 3,1416 (6 \text{ cm})^2 \times 56,25 \text{ kg/cm}^2 = 1.272,3 \text{ Kg.}$$

Corresponde a una carga de trabajo segura de:

$$W = \frac{1.272,3}{2,06} = 617,6 \text{ kg}$$

b) Escantillonado del mástil

$$x = \frac{\text{Th} \times B^2}{2L^3} (A + 2L)$$

$$x = \frac{979 \text{ kg} (1,0 \text{ m})^2}{2 \times (4,5 \text{ m})^3} (3,5 \text{ m} + 2 \times 4,5 \text{ m}) \\ = 67 \text{ kg}$$

$$\text{Momento flexor máximo} = M = X \cdot A$$

$$= 67 \text{ kg} \times 3,5 \text{ m.} \\ = 235 \text{ kg} \times \text{m.} \\ = 23.500 \text{ kg} \times \text{cm.}$$

$$\text{Módulo de sección requerido} = W = \frac{23.500 \text{ kg} \times \text{cm.}}{800 \text{ kg/cm}^2} \\ = 29,4 \text{ cm}^3$$

Material: Turbo redondo de acero sin soldadura

Turbo de prueba:

$$D = 101,6 \text{ mm}$$

$$A = 16,9 \text{ cm}^2$$

$$W = 59,31 \text{ kg.}$$

4.6 Cálculo de Pesos y centro de gravedad

a) Quilla

Perfil de acero de: 15 cm x 9 cm x 3/8" x 105 dm

$$V = (0,9 \text{ dm} \times 2 + 1,5 \text{ dm}) \times 0,095 \text{ dm} \times 105 \text{ dm} = 32,91 \text{ dm}^3 \\ W = 32,91 \text{ dm}^3 \times 7,8 \text{ kg/dm}^3 = 256,75 \text{ Kg.}$$

b) Casco

$$\begin{array}{rcl} \text{Ferrocemento: Hierro} & 2,5 \text{ lbs/pi\'e}^2 \\ \text{Mortero} & \underline{12,5 \text{ lbs/pi\'e}^2} \\ & 15,0 \text{ lbs/pi\'e}^2 \end{array}$$

$$\begin{array}{rcl} 1. \text{ Superficie Mojada} & 42 \text{ m}^2 \\ 2. \text{ Obra muerta del casco} & 30 " \\ 3. \text{ Cubierta} & 30 " \\ 4. \text{ Pisos} & 15 " \\ 5. \text{ Mamparos} & \underline{25 " \\ 142 \text{ m}^2} \end{array}$$

$$W = 142 \text{ m}^2 \times 10.75 \frac{\text{pi\'e}^2}{\text{m}^2} \times 15 \frac{\text{lbs}}{\text{pi\'e}^2} = 22.897,5 \text{ lbs.}$$

$$= 10.400 \text{ Kg.}$$

c) Casetas

Armazón: amarillo

$$W_1 = 0.0688 \text{ pi\'e}^2 \times 2.7 \text{ m} \times 3.28 \frac{\text{pi\'e}}{\text{m}} \times 7 \times 40 \frac{\text{lbs}}{\text{pi\'e}^3} = 170 \text{ lbs.}$$

$$W_2 = 0.0688 \text{ pi\'e}^2 \times 2.5 \text{ m} \times 3.28 \frac{\text{pi\'e}}{\text{m}} \times 8 \times 40 \frac{\text{lbs}}{\text{pi\'e}^3} = 180.4 "$$

$$W_3 = 0.0688 \text{ pi\'e}^2 \times 1.9 \text{ m} \times 3.28 \frac{\text{pi\'e}}{\text{m}} \times 8 \times 40 \frac{\text{lbs}}{\text{pi\'e}^3} = 139.8 "$$

$$490.24 \text{ lbs}$$

$$= 222,8 \text{ Kg.}$$

Paredes, techo y puertas: plywood marino

$$W_4 = 1.90 \text{ m} \times 2.50 \text{ m} \times (3.28 \frac{\text{pi\'e}}{\text{m}})^2 \times 0,02 \text{ pi\'e}$$

$$x \frac{50 \text{ lbs}}{\text{pi\'e}^3} x 2 = 102.2 \text{ lbs.}$$

$$W_5 = 1.90 \text{ m} \times 2.70 \text{ m} \times (3.28 \frac{\text{pi\'e}}{\text{m}})^2 \times 0,02 \text{ pi\'e}$$

$$x \frac{50 \text{ lbs}}{\text{pi\'e}^3} x 2 = 110.0 \text{ "}$$

$$W_6 = 2.50 \text{ m} \times 2.70 \text{ m} \times (3.28 \frac{\text{pi\'e}}{\text{m}})^2 \times 0,02 \text{ pi\'e}$$

$$x \frac{50 \text{ lbs}}{\text{pi\'e}^3} = \frac{72.4 \text{ "}}{284.6 \text{ lbs.}}$$

$$W_7 = \text{Impermeabilizaci\'on del techo y pintura} \quad 10 \text{ Kg.}$$

$$W_8 = \text{Clavos y otros} \quad 10 \text{ Kg.}$$

$$W = 372,17 \text{ Kg.}$$

d) Pluma

$$\text{Longitud} = 3.5 \text{ m.}$$

$$\text{Di\'ametro} = 0.12 \text{ m.}$$

$$\text{Peso espec\'ifico} = 500 \text{ Kg/m}^3$$

$$W = 3.1416 \times (0,06 \text{ m})^2 \times 3.5 \text{ m} \times 500 \text{ Kg/m}^3$$

$$= 19.79 \text{ Kg.}$$

e) M\'astil

$$A = 16.9 \text{ cm}^2$$

$$L = 4.5 \text{ m.}$$

$$J = 7.8 \text{ Kg/dm}^3$$

$$W = 0.169 \text{ dm}^2 \times 45 \text{ dm} \times 7.8 \text{ Kg/dm}^3$$

$$= 59.31 \text{ Kg.}$$

f) Tanques de combustibles

$$a_1 = 2 \left(\frac{60 \text{ cm} + 65 \text{ cm}}{2} \times 45\text{cm} + \frac{40 \text{ cm} + 42 \text{ cm}}{2} \times 30\text{cm} \right) = 0,56 \text{ m}^2$$

$$a_2 = (100 \text{ cm} + 55 \text{ cm} + 65\text{cm} + 45\text{cm} + 20\text{cm}) 200\text{cm} = 5,7 \text{ m}^2$$

$$A = 0.56 \text{ m}^2 + 5.7 \text{ m}^2 = 6.32 \text{ m}^2$$

$$W = 6,32 \text{ m}^2 \times 48 \text{ Kg/m}^2 = 303 \text{ Kg.}$$

Material: Plancha de hierro de 1/4"

g) TAnques para agua potable

Material: Plancha de hierro de 1/4"

$$A = 4.08 \text{ m}^2 \times 48 \text{ kg/m}^2 = 195 \text{ Kg.}$$

h) Pisos de madera

h.1 Bodega de pescado

$$W = 3.60\text{m} \times 3.00\text{m} \times (3,28 \frac{\text{pi\'e}}{\text{m}})^2 \times 0,1 \text{ pi\'e} \times 40 \text{ lbs/Pi\'e}^3$$

$$= 464 \text{ Kg.}$$

h.2 Cuarto de m\'aquinas

$$W = 2.70\text{m} \times 2.30\text{m} \times (3.28 \frac{\text{pi\'e}}{\text{m}})^2 \times 0,1 \text{ pi\'e} \times 40 \text{ lbs/pi\'e}^3$$

$$= 268 \text{ Kg.}$$

h.3 Alojamiento

$$W = 2.20\text{m} \times 2.50\text{m} \times (3.28 \frac{\text{pi\'e}}{\text{m}})^2 \times 0,1 \text{ pi\'e} \times 40 \text{ lbs/pi\'e}^3$$

$$= 240 \text{ Kg.}$$

h.4 Pa\'nol de pesca

$$W = (2.50m \times 2.00m) (3.20 \frac{\text{pi\'e}}{m})^2 \times 0,1 \text{ pi\'e} \times 40 \text{ lbs/pi\'e}^3 \\ = 215 \text{ Kg.}$$

h.5 Cubierta de trabajo

$$W = 6m \times 3m \times (3.28 \frac{\text{pi\'e}}{m})^2 \times 0,12 \text{ pi\'e} \times 40 \text{ lbs/pi\'e}^3 \\ = 776 \text{ Kg.}$$

h.6 Piso caseta

$$W = (2.50m \times 2.20m) (3.28 \frac{\text{pi\'e}}{m})^2 \times 0,1 \times 40 \text{ lbs/pi\'e}^3 \\ = 248 \text{ Kg.}$$

i) Peso del eje

Material: Bronce manganeso

$$W = \pi r^2 l \cancel{A} \\ = 3,1416 \times \left(\frac{0,548 \text{ dm}}{2} \right)^2 \times 55 \text{ dm} \times 11,35 \text{ Kg/dm}^3 = 147,2 \text{ Kg.}$$

Tabla N° 13

4.7 C\'alculo del desplazamiento, en tres condiciones de Carga Diferente

a) Porte Bruto

Peso de combustible: $2.000 \text{ dm}^3 \times 0.84 \frac{\text{Kg}}{\text{dm}^3} = 1.68 \text{ ton.}$

Peso de agua dulce: $1\text{m}^3 \times 1 \text{ ton./m}^3 = 1.00 \text{ "}$

Peso de hielo = 0.98 "

Peso tripulantes = 0.40 "

Aparejos de Pesca = 0.30 "

CALCULO DE PESOS Y CENTRO DE GRAVEDAD

| Nº | ITEMS | W (Kg) | YG (m) | Mv (Kgx m) | XG (m) | ML (Kgx m) |
|----|-----------------------------|-----------|--------|------------|--------|------------|
| 01 | QUILLA | 256.75 | 1.10 | 304.42 | 5.65 | 1.450.63 |
| 02 | CASCO | 10.407.00 | 2.40 | 24.978.54 | 6.60 | 68.686.20 |
| 03 | CASETA | 372.17 | 4.50 | 1.674.76 | 8.00 | 2.977.36 |
| 04 | PLUMA | 20.00 | 4.20 | 84.00 | 5.00 | 100.00 |
| 05 | MASTIL | 60.00 | 5.20 | 312.00 | 6.60 | 396.00 |
| 06 | MAQUINILLA DE PESCA | 300.00 | 3.50 | 1.050.00 | 6.00 | 1.800.00 |
| 07 | TAPA ESCOTILLA BODEGA | 20.00 | 3.40 | 68.00 | 4.86 | 97.20 |
| 08 | TAPA ESCOTILLA PAÑOL | 12.00 | 3.40 | 40.80 | 1.44 | 17.28 |
| 09 | MOTOR PRINCIPAL | 564.00 | 2.20 | 1.240.00 | 7.84 | 4.421.76 |
| 10 | MOTOR AUXILIAR | 69.00 | 2.30 | 158.00 | 8.00 | 552.00 |
| 11 | COMPRESOR | 45.00 | 2.30 | 103.00 | 8.74 | 393.00 |
| 12 | DINAMO | 55.00 | 2.30 | 126.00 | 9.00 | 495.00 |
| 13 | BOMBA No. 1 | 32.00 | 2.30 | 74.00 | 9.00 | 288.00 |
| 14 | BOMBA No. 2 | 32.00 | 2.30 | 74.00 | 9.10 | 291.00 |
| 15 | BATERIAS | 80.00 | 2.70 | 216.00 | 8.91 | 713.00 |
| 16 | TANQUES COMBUSTIBLE No. 1,2 | 606.00 | 2.80 | 1.696.00 | 7.16 | 4.339.00 |
| 17 | TANQUES DE AGUA No. 1 y 2 | 390.00 | 2.80 | 1.092.00 | 2.55 | 994.00 |



TABLA N° 13

continuación



| | | | | | | |
|----|------------------------------|-----------|------|-----------|-------|------------|
| 18 | TANQUE DIARIO DE COMBUSTIBLE | 48.00 | 3.80 | 182.00 | 7.00 | 336.00 |
| 19 | TANQUE DE ACEITE | 5.00 | 2.10 | 11.00 | 6.80 | 34.00 |
| 20 | TUBERIAS | 120.00 | 2.20 | 600.00 | 7.80 | 936.00 |
| 21 | PISO ALOJAMIENTO | 240.00 | 2.50 | 600.00 | 10.45 | 2.508.00 |
| 22 | PISO CUARTO DE MAQUINA | 268.00 | 1.80 | 482.00 | 7.95 | 2.130.00 |
| 23 | PISO BODEGA | 464.00 | 2.00 | 928.00 | 4.86 | 2.255.00 |
| 24 | PISO PAÑOL DE PESCA | 215.00 | 2.80 | 602.00 | 1.44 | 309.00 |
| 25 | PISO CASETA | 284.00 | 3.50 | 994.00 | 7.84 | 2.226.00 |
| 26 | CUBIERTA DE TRABAJO | 776.00 | 3.36 | 2.607.00 | 3.20 | 2.483.00 |
| 27 | EJE | 150.00 | 1.80 | 270.00 | 3.96 | 594.00 |
| 28 | PALA | 40.00 | 1.80 | 72.00 | 0.68 | 27.00 |
| 29 | HELICE | 35.00 | 1.70 | 60.00 | 1.22 | 43.00 |
| 30 | CUADRANTE DEL TIMON | 6.00 | 2.50 | 15.00 | 0.80 | 5.00 |
| 31 | COCINA | 35.00 | 3.70 | 129.50 | 7.00 | 245.00 |
| 32 | LITERAS | 40.00 | 3.10 | 124.00 | 10.40 | 416.00 |
| | | 16.046.92 | | 40.970.02 | | 102.858.93 |

$$Y_G = \frac{Mv}{W} = \frac{40.970.02}{16.046.92} = 2.55 \text{ m.}$$

$$X_G = \frac{Ml}{W} = \frac{102.858.93}{16.046.92} = 6.40 \text{ m.}$$

TABLA N° 13

| | |
|-------------|-------------|
| Provisiones | = 0.10 ton. |
| Pescado | = 4.20 " |
| Porte Bruto | 8.66 ton. |

b) Variaciones del desplazamiento total

| | <u>PARTIDA DE CALADERO</u> | <u>MEDIA CARGA</u> | <u>MAXIMA CARGA</u> |
|------------------------|----------------------------|--------------------|---------------------|
| Combustible | 1.680 Kg. | 840 Kg. | 840 Kg. |
| Agua Dulce | 1.000 " | 500 " | 500 " |
| Hielo | 980 " | 490 " | 490 " |
| Tripulación | 400 " | 400 " | 900 " |
| Aparejos de Pesca | 300 " | 300 " | 300 " |
| Provisiones | 100 " | 50 " | 50 " |
| Pescado | <u>000 "</u> | <u>2.100 "</u> | <u>4.200 "</u> |
| Porte Bruto | 4.460 Kg. | 4.680 Kg. | 6.780 Kg. |
| Desplazamiento Líviano | <u>16.046 "</u> | <u>16.046 "</u> | <u>16.046 "</u> |
| Desplazamiento Total | 20.506 Kg. | 20.726 Kg. | 22.826 Kg. |

4.8 ESTABILIDAD

a) Francobordo

PUntal de diseño = 200 cm.

Calado de diseño = 118 cm.

Francobordo de diseño = 82 cm.

Desplazamiento de diseño = 18 ton.

DE CURVAS HIDROSTATICAS

| | T | A | TPC1 |
|---------------------|---------|-----------|------|
| Partida de caladero | 128 cm. | 20.5 ton. | 0215 |

| | | | |
|--------------|---------|-----------|-------|
| Media carga | 130 cm. | 20.7 ton. | 0.220 |
| Máxima carga | 140 " | 22.8 " | 0.225 |

$$\text{Variación de calado, partida de caladero} = \frac{20.5 - 18.0}{0.215} \\ = 11.62 \text{ cm.}$$

$$\text{Variación de calado, media carga} = \frac{20.7 - 20.5}{0.220} = 9 \text{ cm.}$$

$$\text{Variación de calado, máxima carga} = \frac{22.8 - 20.7}{0.225} = 9.33$$

$$\text{Francobordo, Partida de caladero} = 200 - (118 + 11,62) \\ = 70.38 \text{ cm.}$$

$$\text{Francobordo, Media Carga} = 200 - (118 + 11,62 + 9) \\ = 61.68 \text{ cm.}$$

$$\text{Francobordo, Máxima carga} = 200 - (118 + 11,62 + 9 + 9.33) = 52.35 \text{ cm.}$$

$$\left(\frac{f_{min}}{Bwl}\right), \text{Máxima carga} = \frac{52,35}{360} \text{ cm} = 0.145$$

$\left(\frac{f_{min}}{Bwl}\right)$ de acuerdo a las regulaciones de la IMCO, tiene un -

rango permisible entre 0.02 y 0.20

b) Calados

$$A_1 = 1,0 \text{ m} \times 0,9 \text{ m.}$$

Superficies libres :

$$A_2 = 2,0 \text{ m} \times 0,6 \text{ m}$$

$$I_1 = \frac{2 \times 0,9 \times 1^3}{12} = 0,15 \quad I_2 = \frac{2 \times 2 \times 0,6^2}{12} = 0,864$$

$$GG_1 = \frac{3,15 \times 1}{18,193} = 0,00824$$

$$GG_2 = \frac{0,864 \times 0,91}{18,193} = 0,0432$$

Corección de GM, por superficie libres = 0,00824 + 0,0432 = 0,0515

$$\text{Asiento} = \frac{M}{M_1} = \frac{A \times b}{M_1} = \frac{26,4 \times 0,06}{0,237} = 650 \text{ m.m.}$$

$$H_{\text{popa}} = 1,42 \text{ m} - \frac{0,065 \text{ m.}}{2} = 1,385 \text{ m.}$$

$$H_{\text{popa}} = 1,42 \text{ m} + \frac{0,065 \text{ m.}}{2} = 1,455 \text{ m.}$$

c) Altura metacéntrica inicial

$$KM = KG + GM$$

$$= KB + BM_t$$

De curvas hidrostáticas

$$KB = 1,02 \text{ m.}$$

$$BM_t = 3,77 \text{ m.}$$

$$KM = 1,02 \text{ m.} + 3,77 \text{ m.} = 4,79 \text{ m.}$$

$$GM = KM - KG$$

$$= 4,79 \text{ m.} - 1,20 \text{ m.} = 3,59 \text{ m.}$$

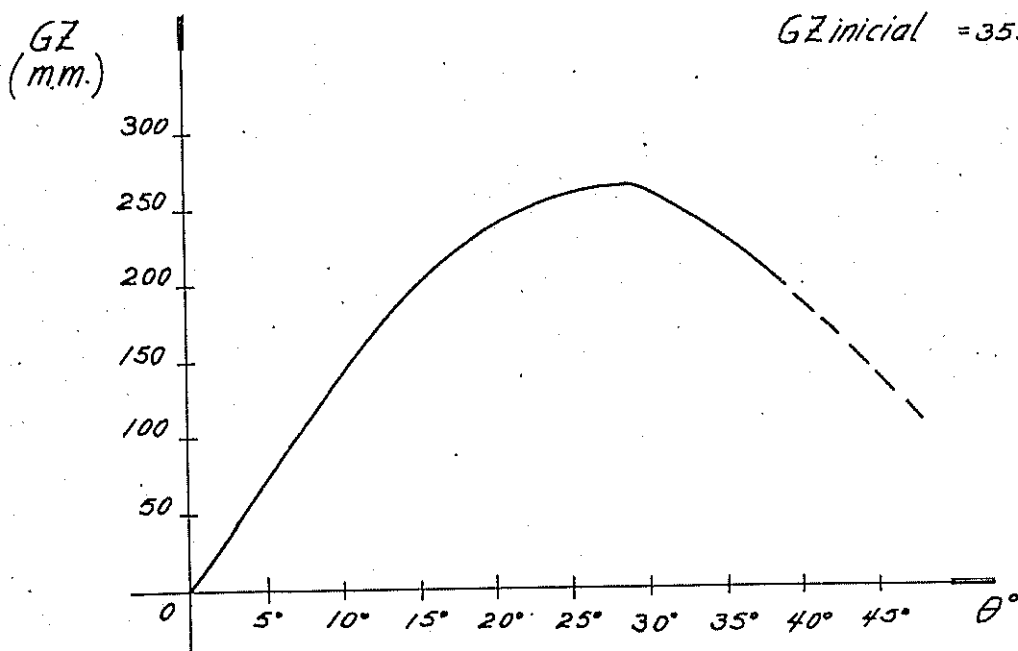
d) Estabilidad dinámica

| θ° | GZ | F.S. | f(A) |
|----------------|-------|------|-------|
| 0° | 0.000 | 1 | 0.000 |
| 9° | 0.075 | 4 | 0.300 |

| | | | | |
|------------|-------|---|--------------|---|
| 10° | 0.145 | 2 | 0,290 | |
| 15° | 0.200 | 4 | 0,800 | $A_{0^\circ} = \frac{1}{3} \times \frac{\pi}{36} \times f(A)$ |
| 20° | 0.245 | 2 | 0,490 | $A_{30^\circ} = \frac{1}{3} \times \frac{\pi}{36} \times 3,24$ |
| 25° | 0.270 | 4 | 1,080 | |
| 30° | 0.280 | 1 | <u>0,280</u> | $= 0,094 \text{ m - rad.}$ |
| | | | 3,240 | |
| 30° | 0,280 | 1 | 0,280 | |
| 35° | 0.270 | 4 | 1,080 | $A_{30^\circ} - 40^\circ = \frac{1}{3} \times \frac{\pi}{36} \times 1.61$ |
| 40° | 0,250 | 1 | <u>0,250</u> | $= 0,043 \text{ m - rad.}$ |
| | | | 1,61 | |

$$A_{40^\circ} = 0,140 \text{ m - rad.}$$

$$\begin{aligned} GZ 30^\circ &= 280 \text{ mm.} \\ GZ \text{ máx.} &\rightarrow 30^\circ \\ GZ \text{ inicial} &= 359 \text{ mm.} \end{aligned}$$



Según Convención de Torremolino.

- 1.- El área situada bajo la curva GZ, hasta los 30° , no debe ser inferior a 0,055 m - rad.
- 2.- El área situada bajo la curva GZ, entre los 30° y 40° no debe ser inferior a 0,030 m - rad.
- 3.- El área situada bajo la curva GZ, hasta los 40° , no debe ser inferior a 0,09 m - rad.
- 4.- GZ, tendrá un valor mínimo de 200 m.m. para 30° .
- 5.- El máximo valor de GZ, preferentemente debe estar en un ángulo superior a los 30° .
- 6.- GZ inicial, no debe ser inferior a 350 m.m.

CAPITULO V

SELECCION DEL SISTEMA PROPULSOR

5.1 CALCULO DE LA POTENCIA DEL MOTOR PRINCIPAL

Utilizamos el "Método gráfico para el cálculo de la potencia de los pesqueros" de T. Kagi, Inuz y Nakamura, del Departamento de Arquitectura Naval de la Universidad de Tokio, considerando que es un método especial para buques pesqueros de menos de 30 metros de eslora entre perpendiculares.

a) Se calcula $\nabla / (L/10)^3$, en función de la eslora en metros y el volumen de desplazamiento en metros cúbicos.

$$\nabla / (L/10)^3 = 17.88 \text{ m}^3 / (11.60\text{m}/10)^3 = 11.53$$

b) En función de $\nabla / (L/10)^3 = 11.53$ y el coeficiente prismático $C_p = 0.596$, utilizando la figura 16 ($B/T = 2.2$) y Figura 17 ($B/T = 3.0$), para Números de Froude entre 0.16 y 0.38 calculamos los valores de $C_w \times 100$, interpolando.

c) Con el valor de $(C_w \times 100)$ calculado, encontramos la potencia correspondiente a la resistencia por formación de olas, con la siguiente fórmula:

$$(ENP)_w / (C_w \times 100) (V / \sqrt{gT})^3 = 0.002138 [\nabla / L/10]^{3/2}$$

De la Figura No. 17, en función de $\nabla / (L/10)^3$ y L , encontramos el valor del segundo miembro de la Ecuación

$$(ENP)_w / (C_w \times 100) (V / \sqrt{gT})^3 = 80.42$$

d) Se calcula $(EHP)_w$

e) Cálculo de la superficie mojada, mediante la fórmula:

$$S = K_s \cdot K_b \cdot K_a \cdot \sqrt{\Delta} L, \text{ en donde:}$$

S = Superficie mojada en m^2

K_s = Coeficiente empírico, se determina mediante la Figura 18, en función de C_p y B/T

$K_s = 2.66$

K_B = Corrección por cuaderna maestra. Se determina de la Figura 19, en función de C_m .

$K_B = 0.928$

K_a = Corrección por apéndices, su valor standar aproximado = 1.05

$K_a = 1.05$

$\sqrt{\Delta} L$, se determina de la Fig. Nº 20, en función de $\nabla/(L/10)^3$ y L .

$$\sqrt{\Delta} L = 18$$

$$S = 2.66 \times 0.928 \times 1.05 \times 18 = 46.65 m^2$$

f) Se calcula los EHP friccionales del buque, en agua salada y a 15°

$$\frac{(EHP)_f}{S} = 0.3434 \times \lambda \times L^{1.425} \cdot (V / \sqrt{L \cdot g})^{2.825}$$

$$\lambda = 0.1392 + \frac{0.258}{2.68 + L}$$

$$\lambda = 0.1392 + \frac{0.258}{2.68 + 12.30} = 0.1564229$$

$$L^{1.4125} = (12.30 \text{ m})^{1.4125} = 17.52$$

$$\frac{(EHP)_f}{S} = 0.3434 \times 0,1564229 \times 34,633 \cdot (V / \sqrt{Lg})^{2.825}$$

$$\frac{(EHP)_f}{S} = 0.93 (V / \sqrt{Lg})^{2.825}$$

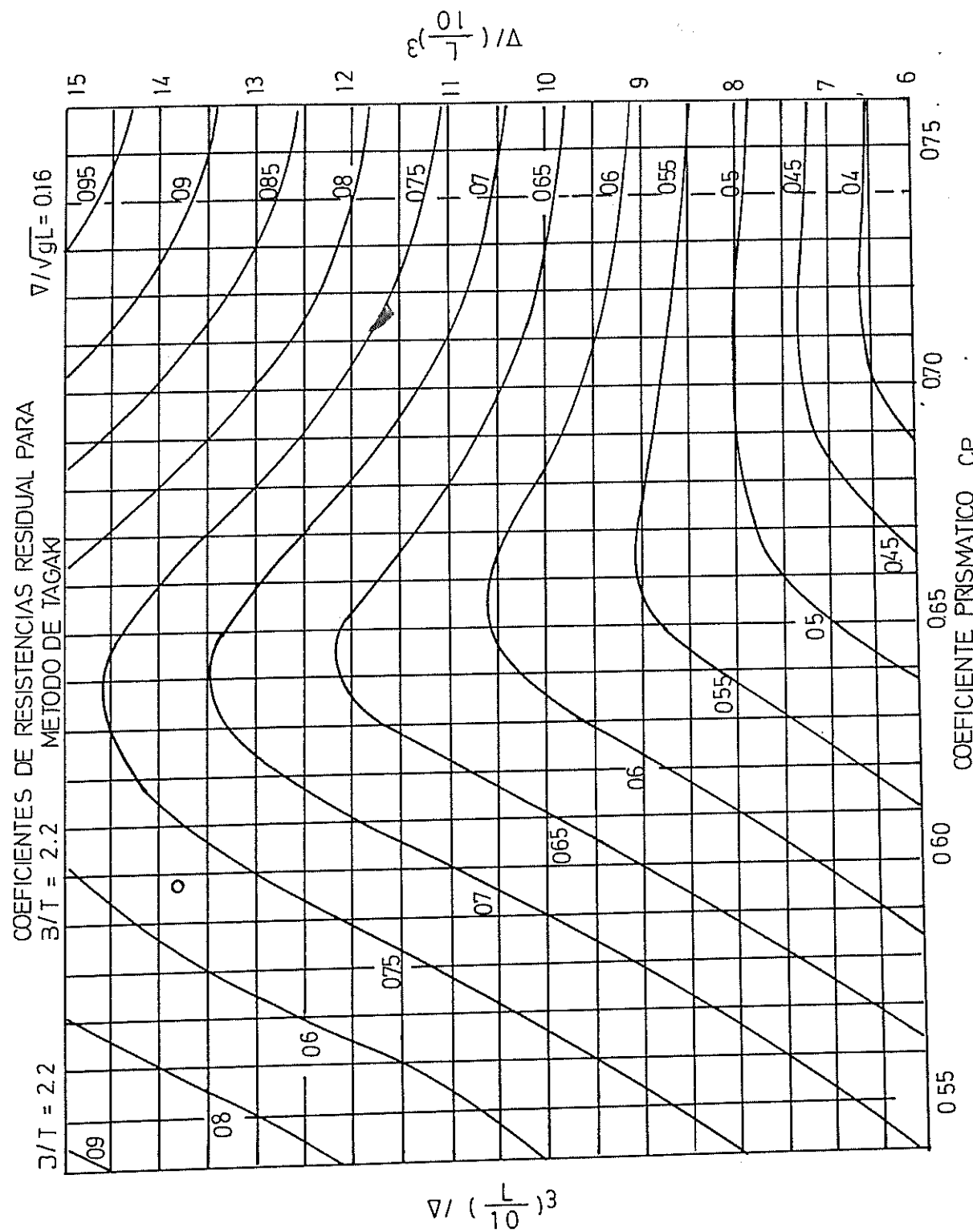
$$EHP = (EHP)_w + (EHP)_f$$

Cálculos (Tabla No. 14)

g) Características del motor escogido:

| | |
|----------------------------|-----------------------------|
| Marca | YANMAR |
| Modelo | 4KDE |
| Tipo | DIESEL VERTICAL DE 4 CICLOS |
| Número de cilindros | 3 |
| Carrera | 145 x 170 m.m |
| Desplazamiento | 8.423 lbs. |
| Caballos x revoluciones | 90/1.500 |
| Velocidad media del pistón | 8.22 m/seg. |
| Reducción | 2.9 : 1 |
| R.P.M., eje propulsor | 518 |
| Compresión | 19.2 |
| Sistema de combustión | Cámara de combustión |
| Sistema de arranque | Aire comprimido |
| Sistema de enfriamiento | Bomba de agua |
| Sistema de lubricación | Presión bomba |
| Peso | 1.240 lbs. |

.2 DISTRIBUCION DEL CUARTO DE MAQUINAS
(Plano N° 5)



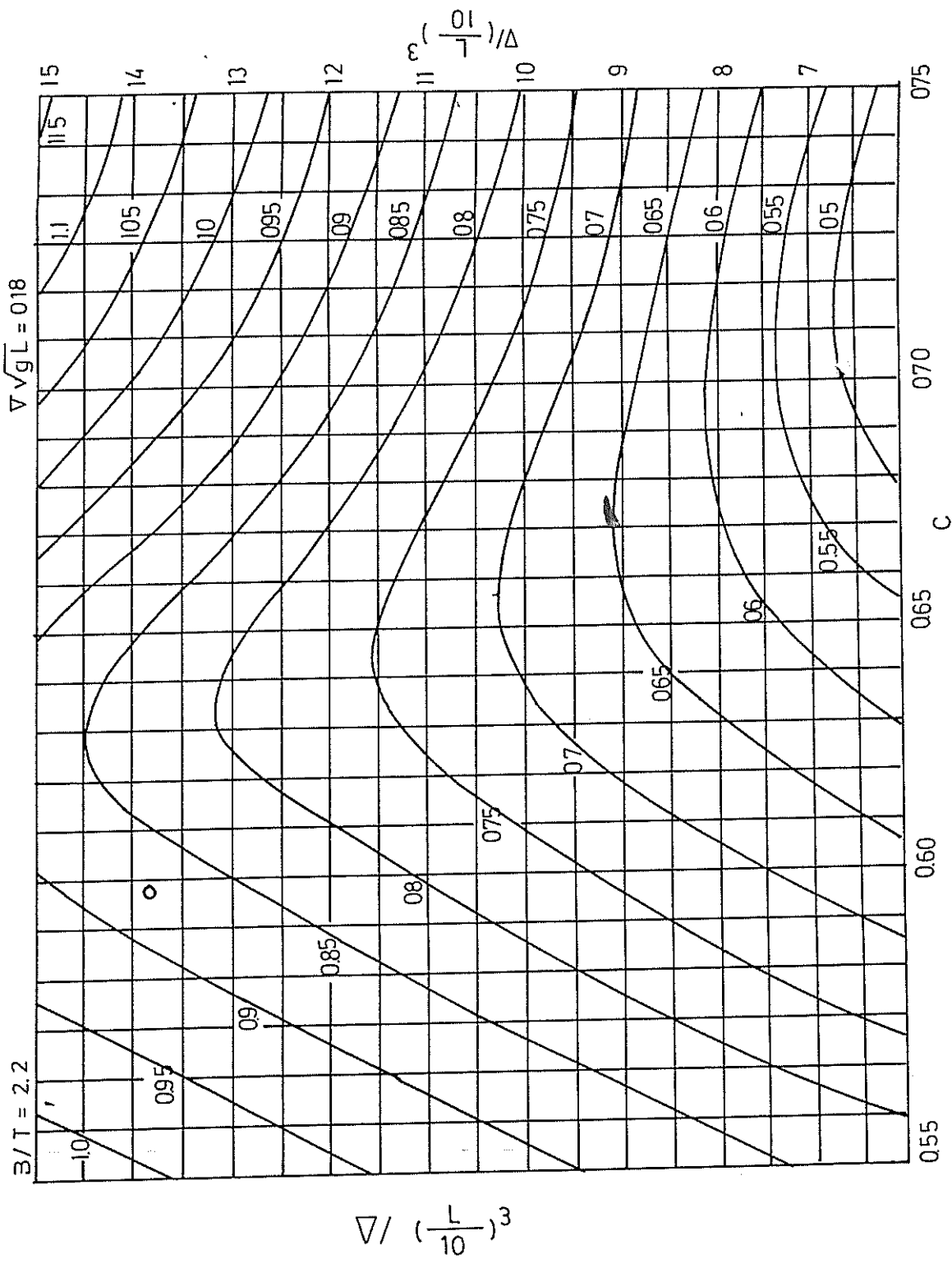


FIGURA Nº16.1

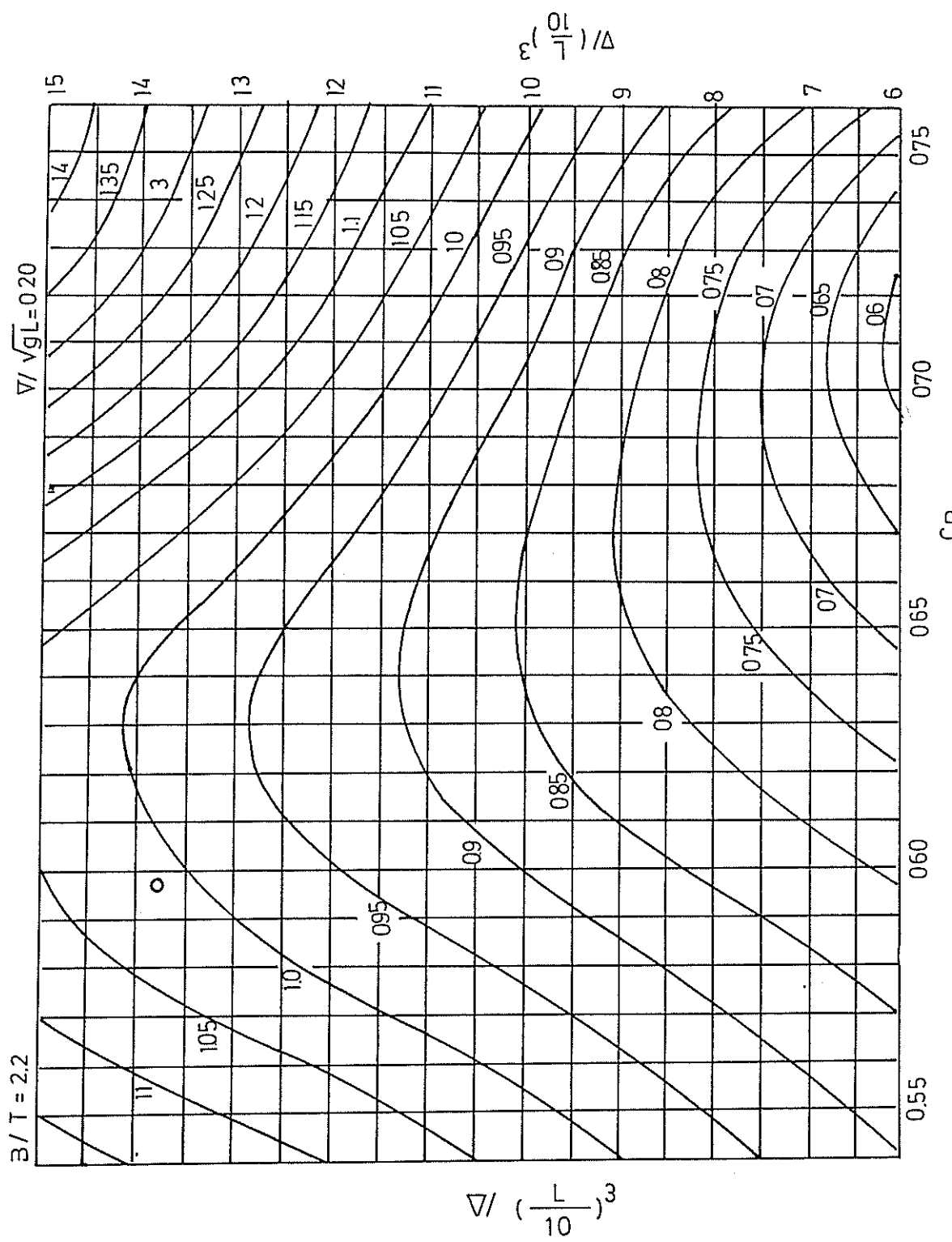


FIGURA Nº 16.2

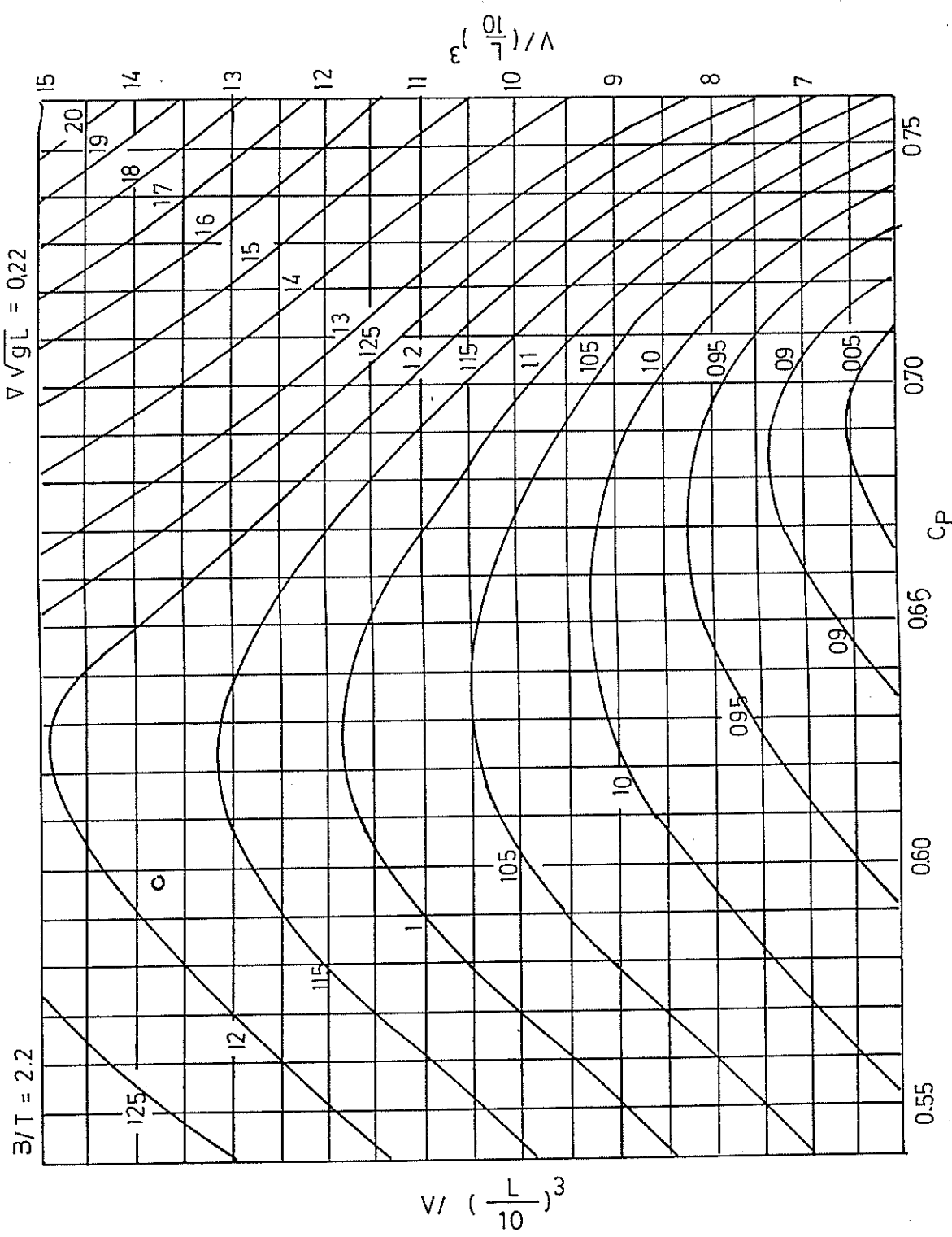


FIGURA N°16.3

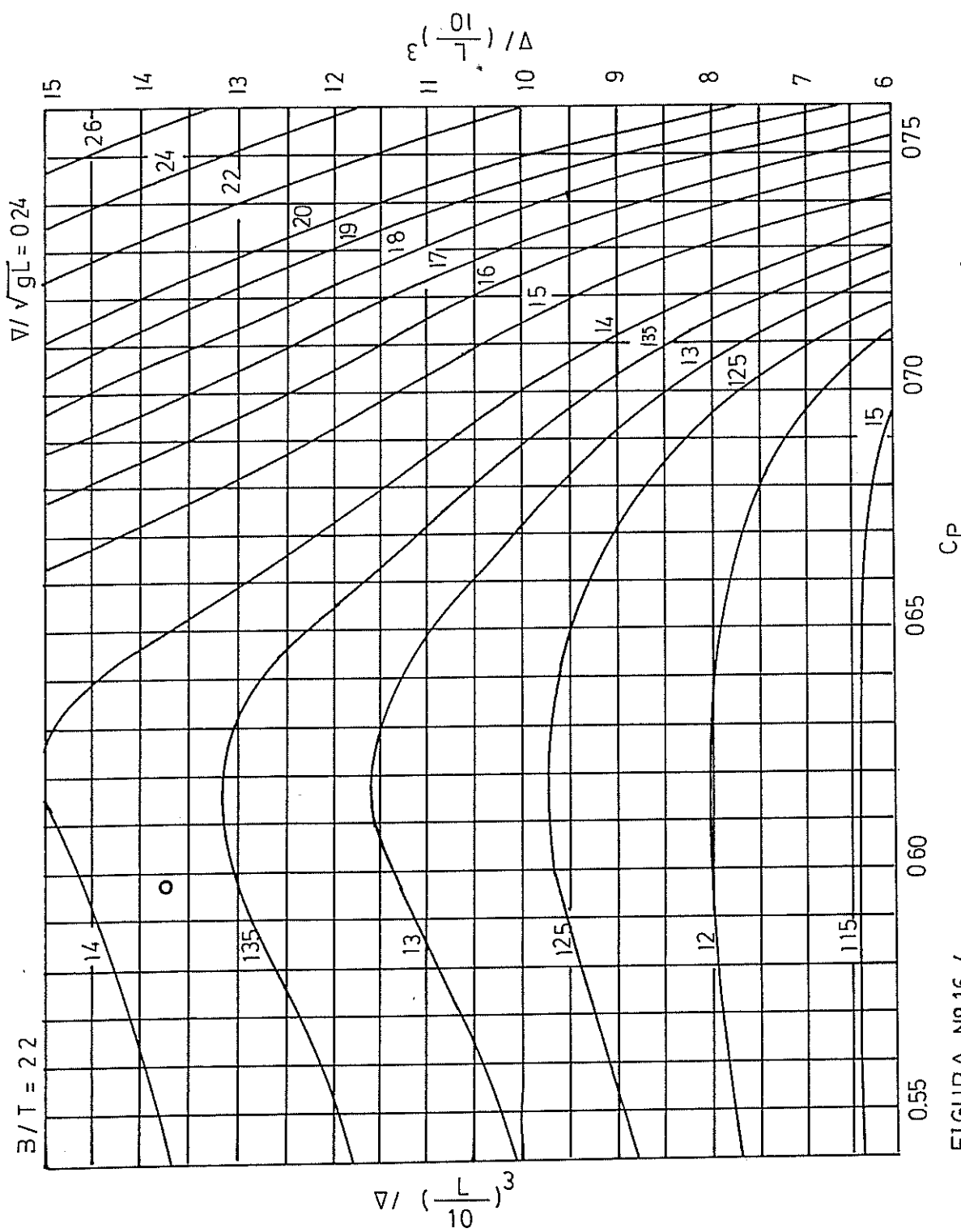


FIGURA N° 16.4

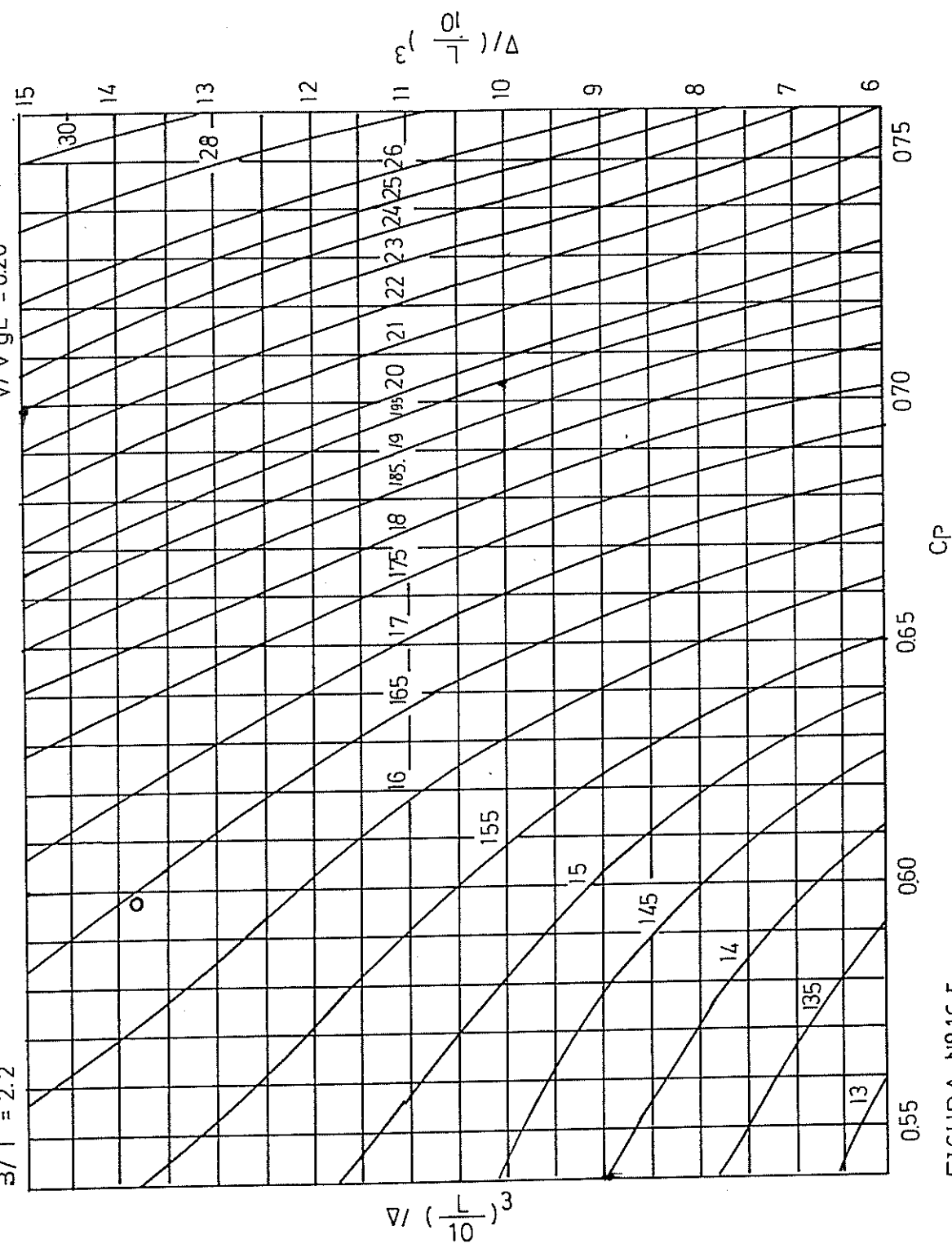


FIGURA N° 16.5

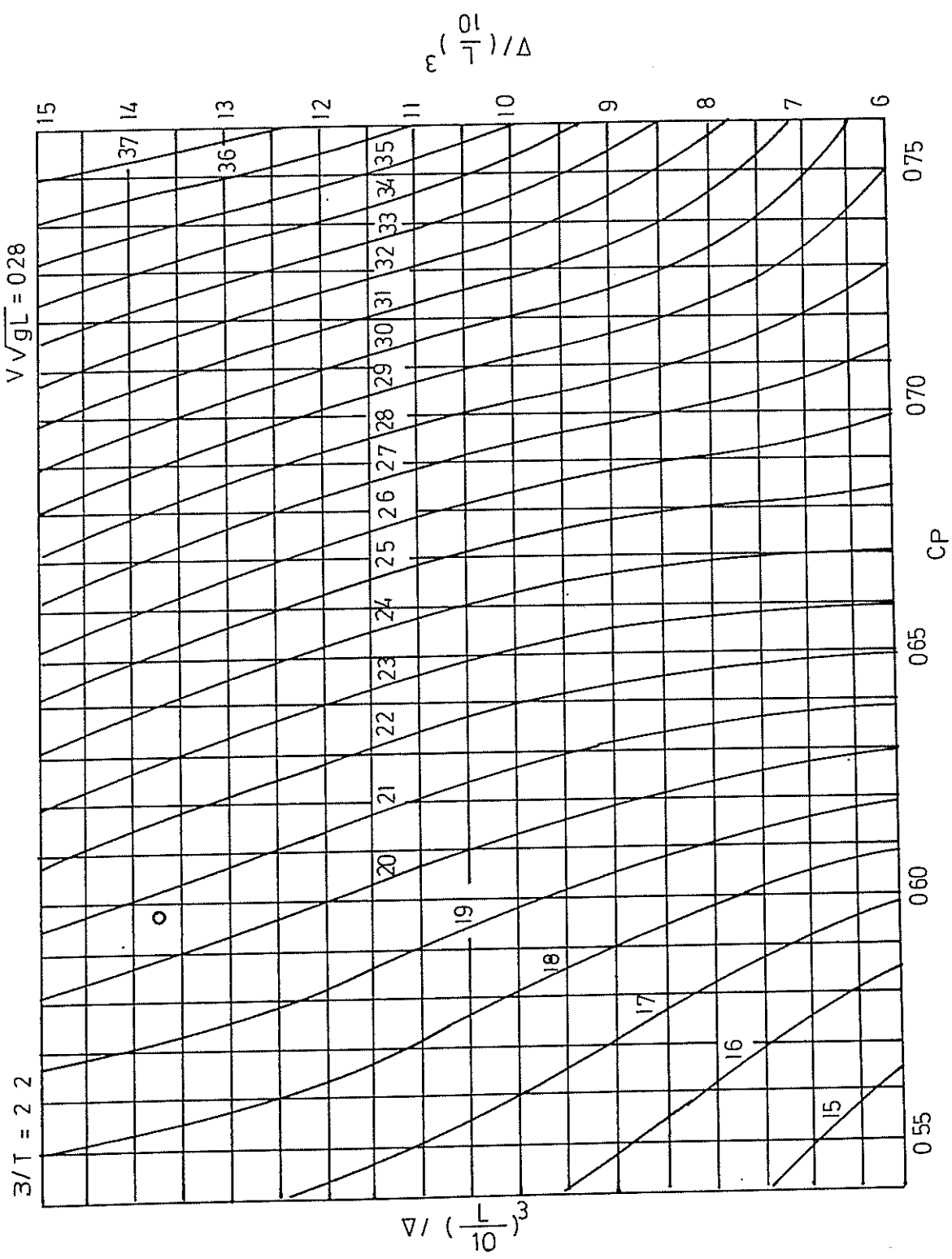


FIGURA N° 16.6

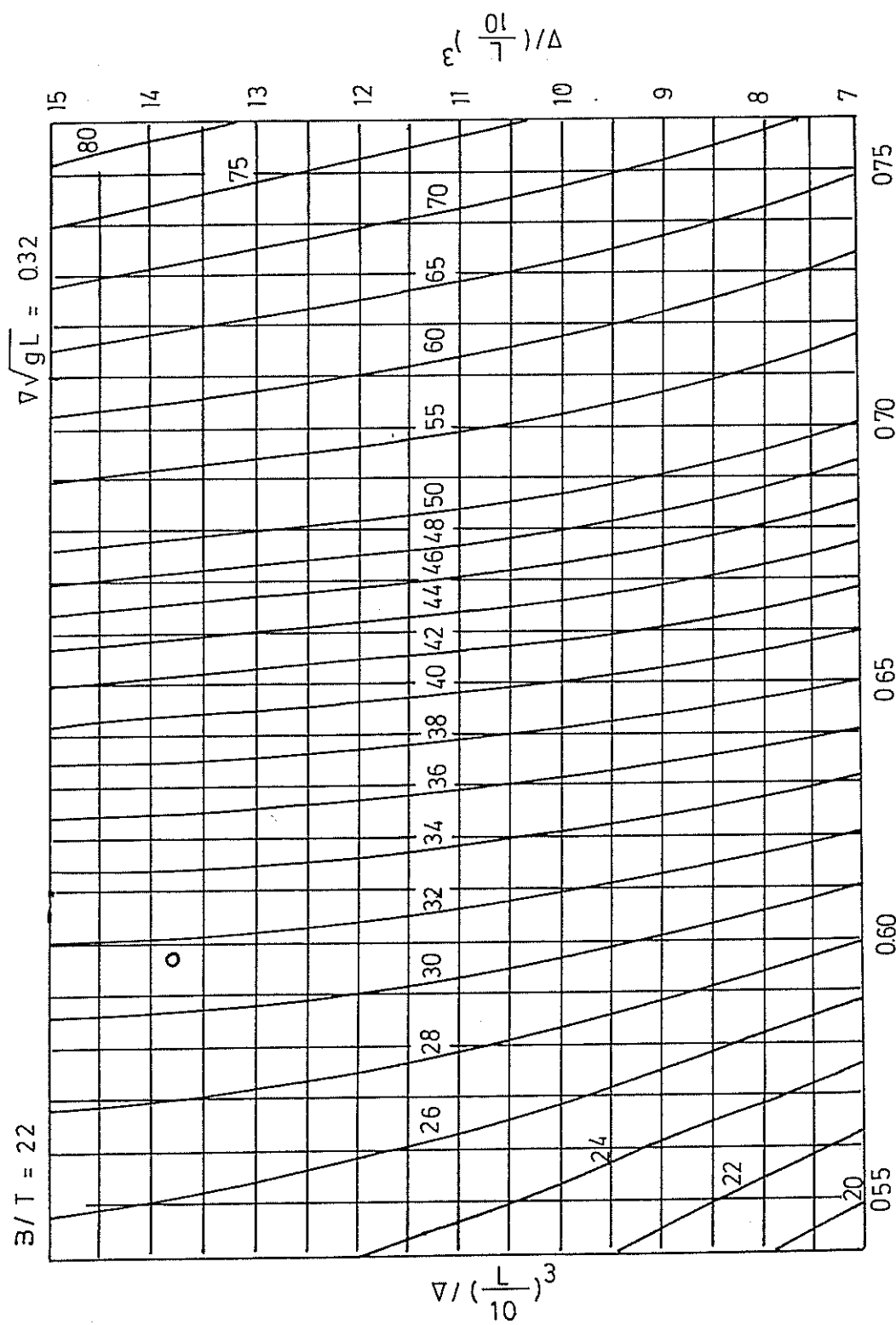


FIGURA N° 16.7

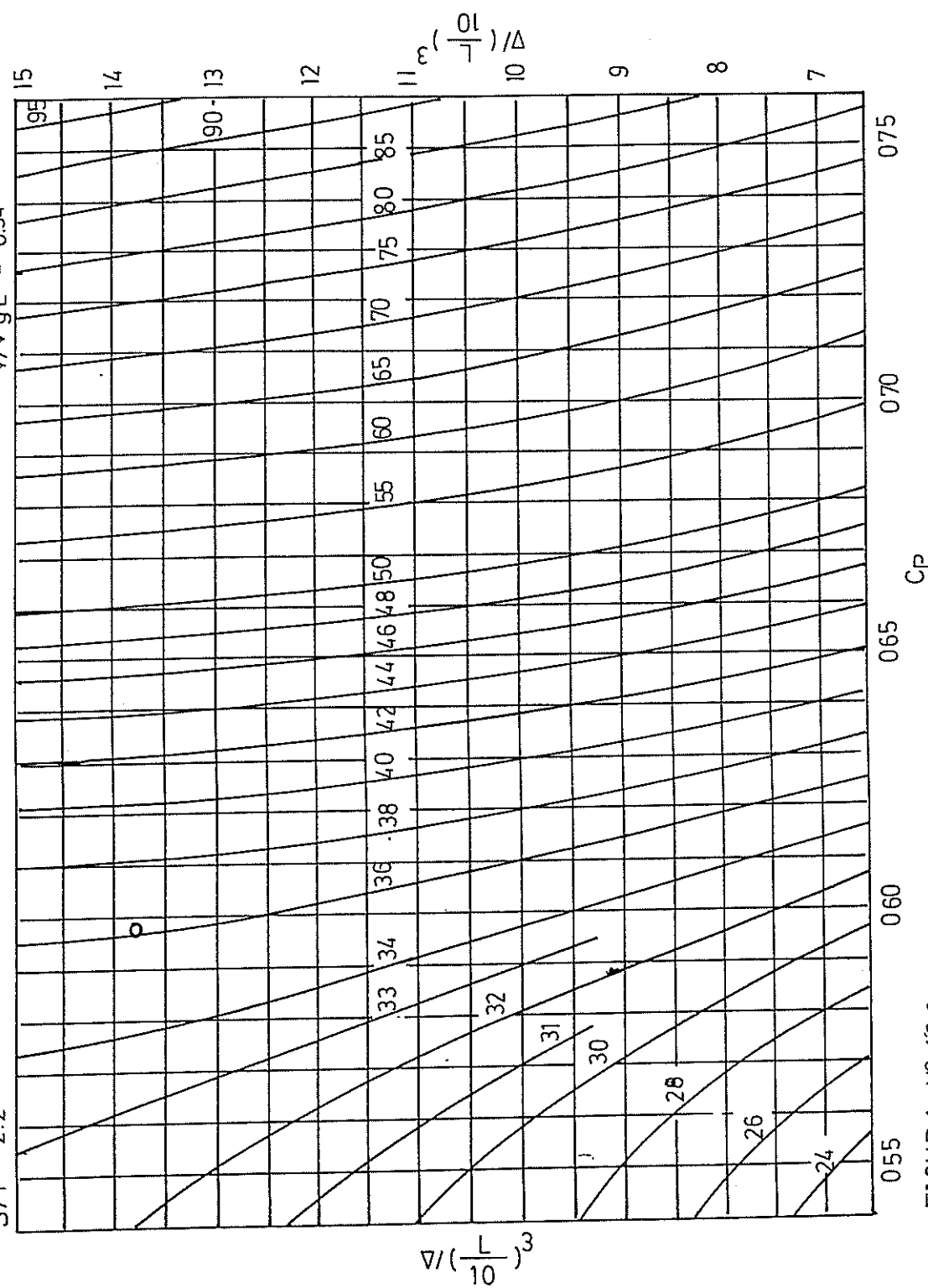
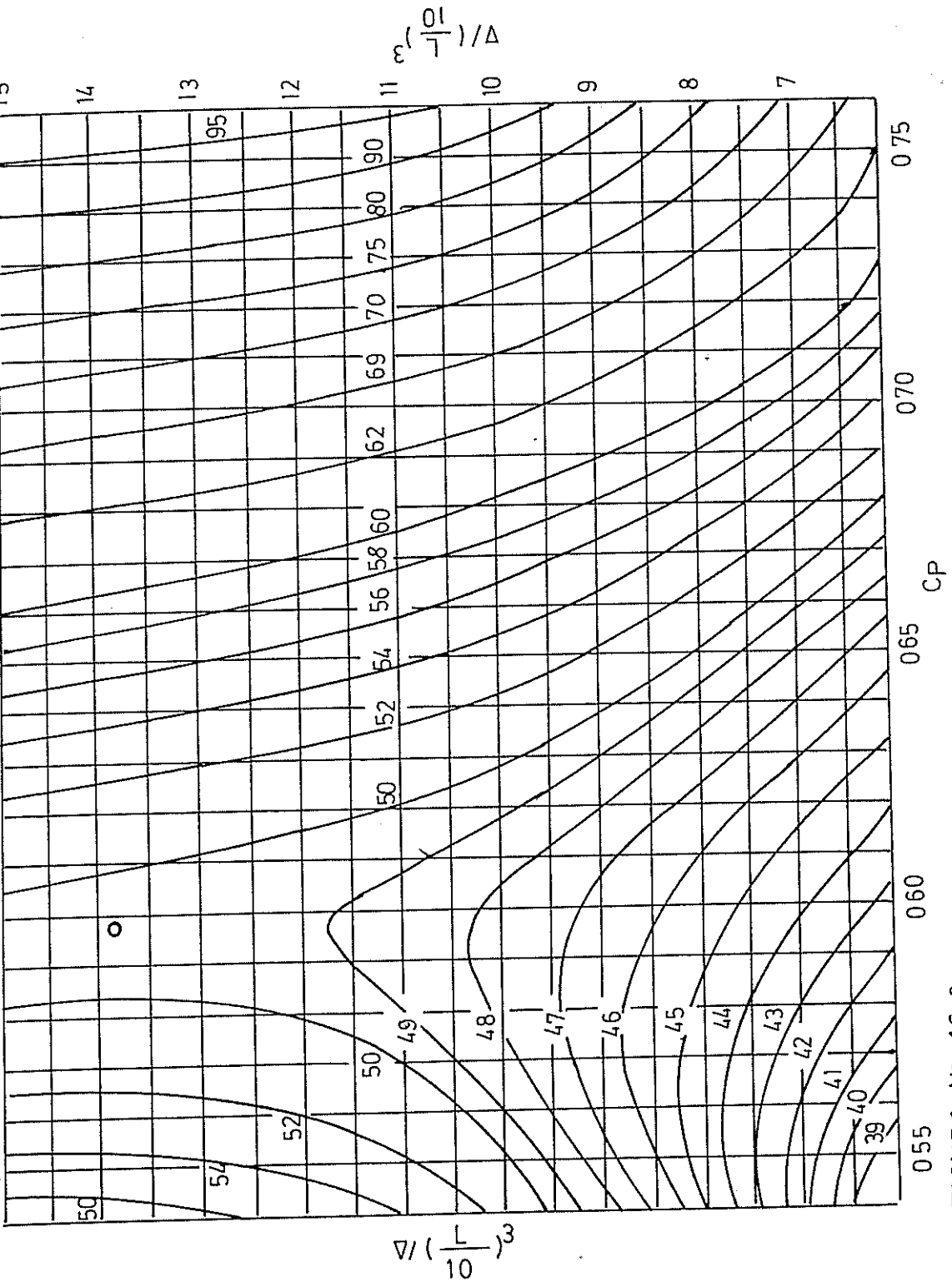


FIGURA N° 16.8



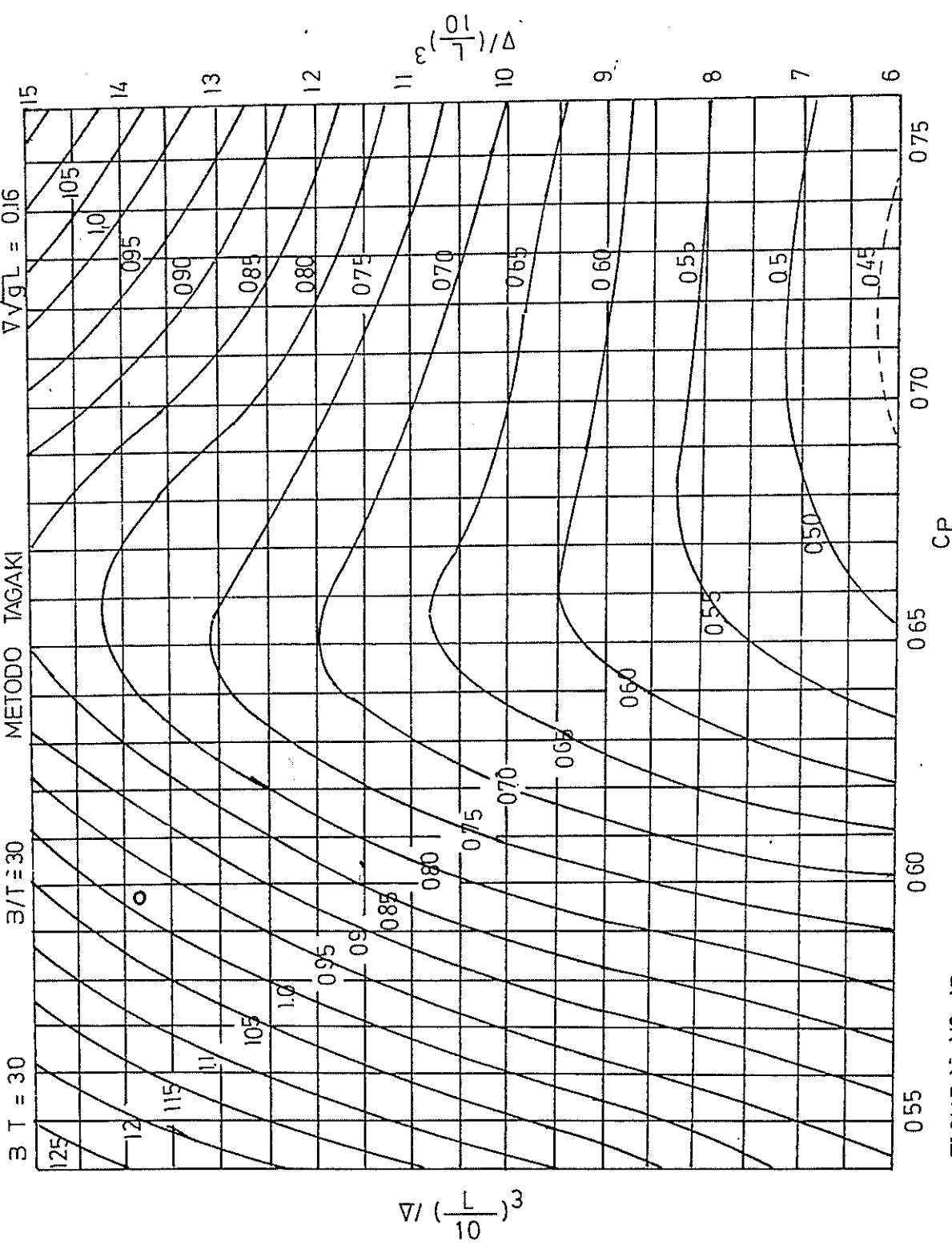


FIGURA N° 17

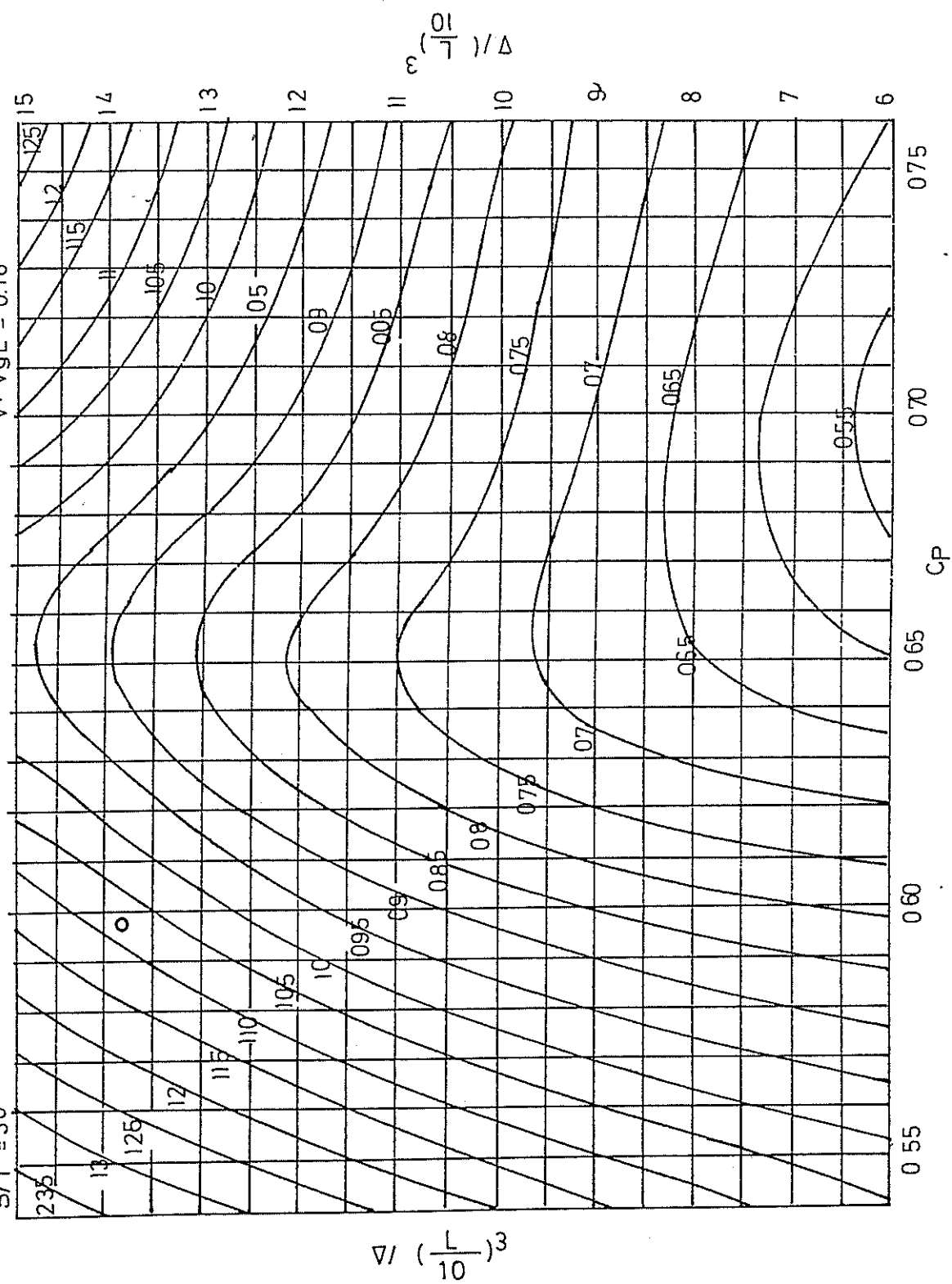


FIGURA N° 17.1

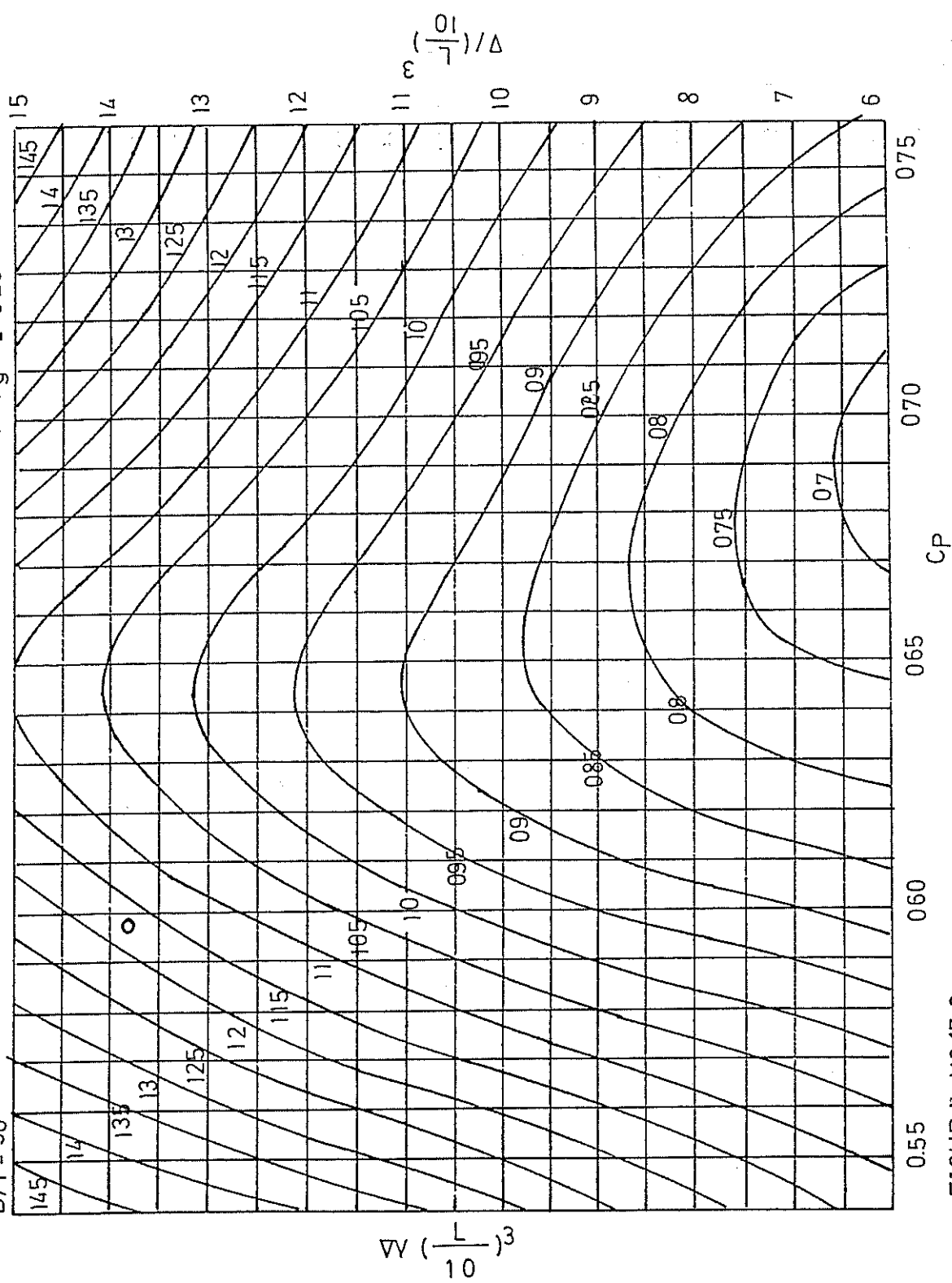
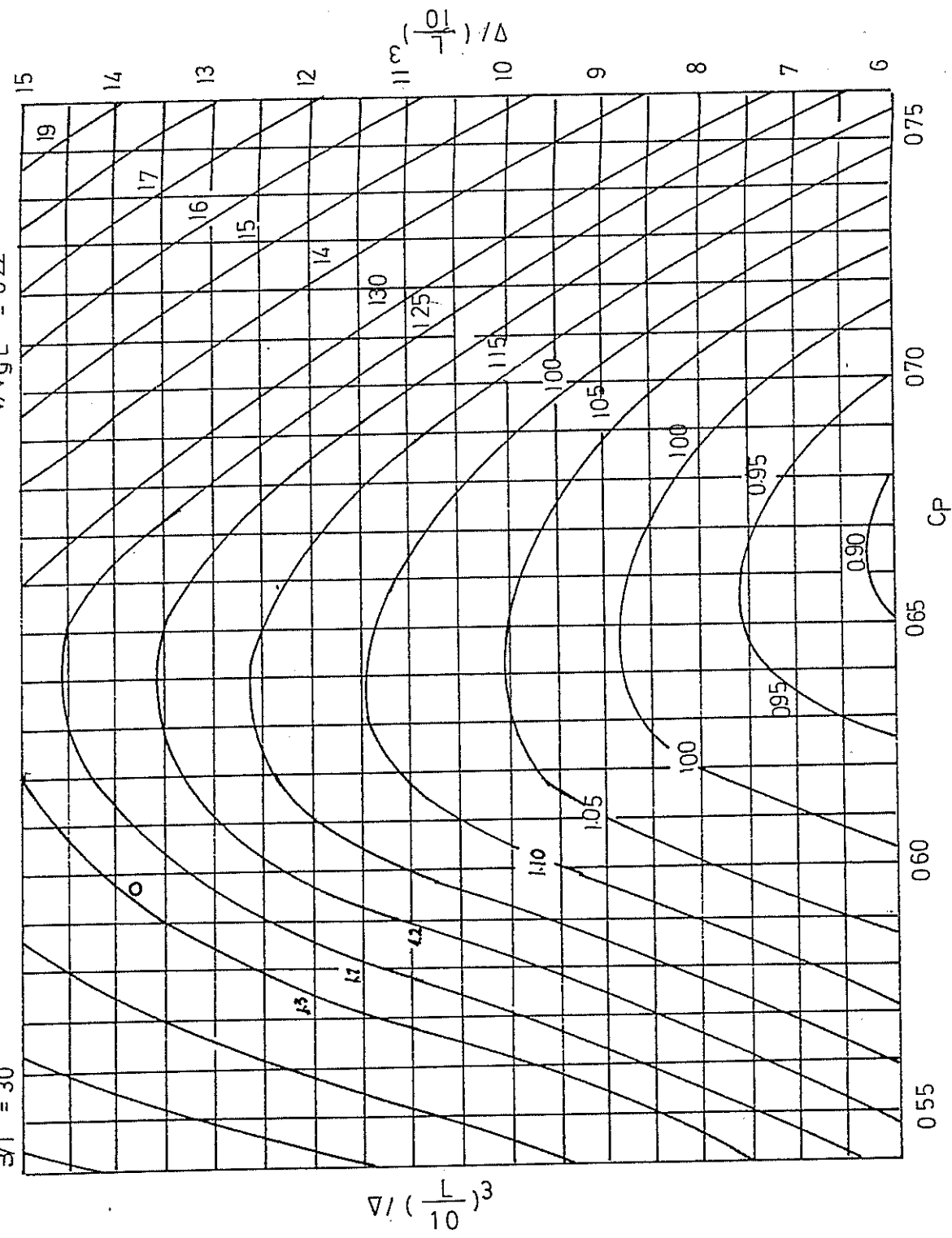


FIGURA N° 17.2



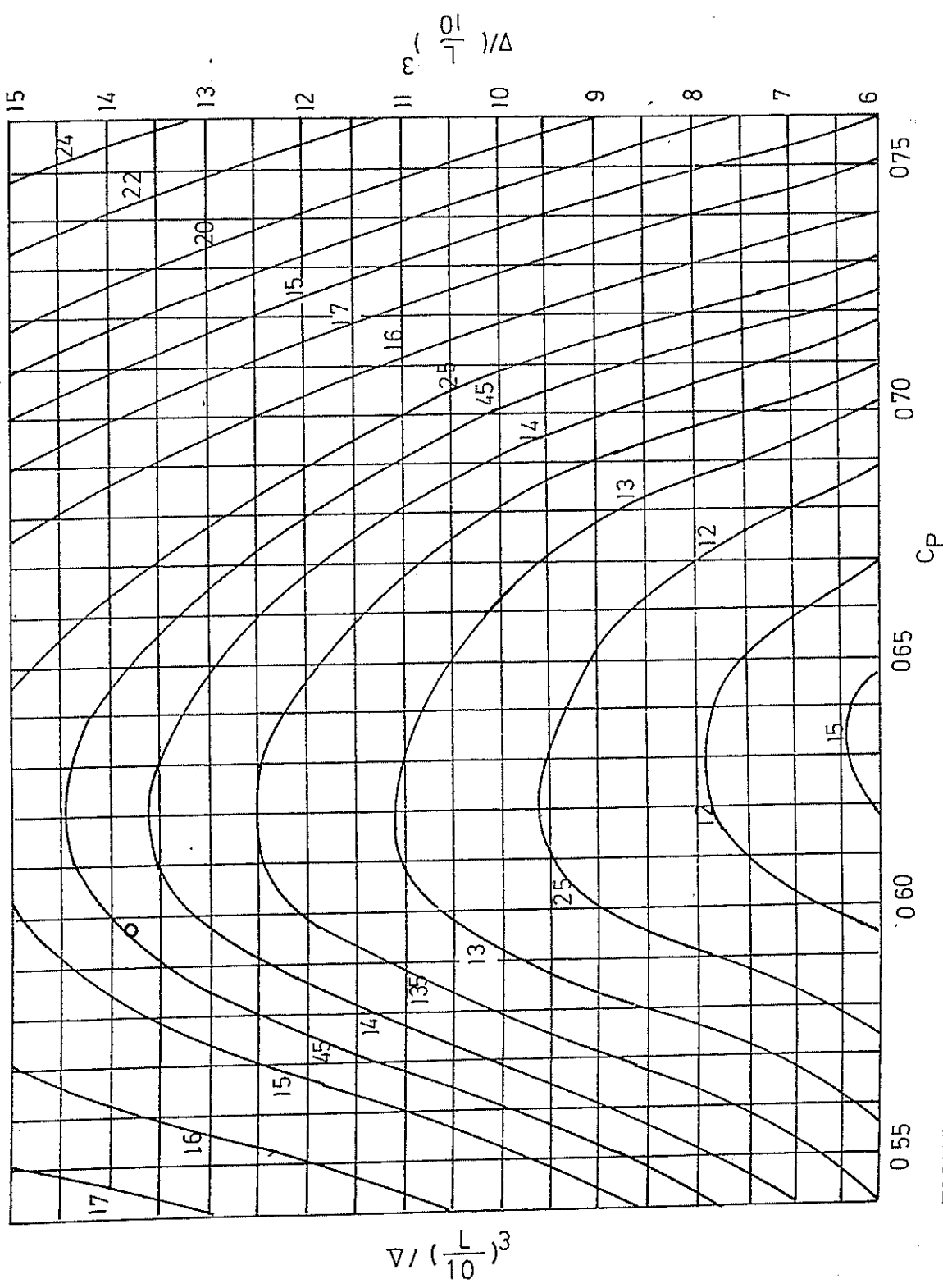


FIGURA N° 17.4

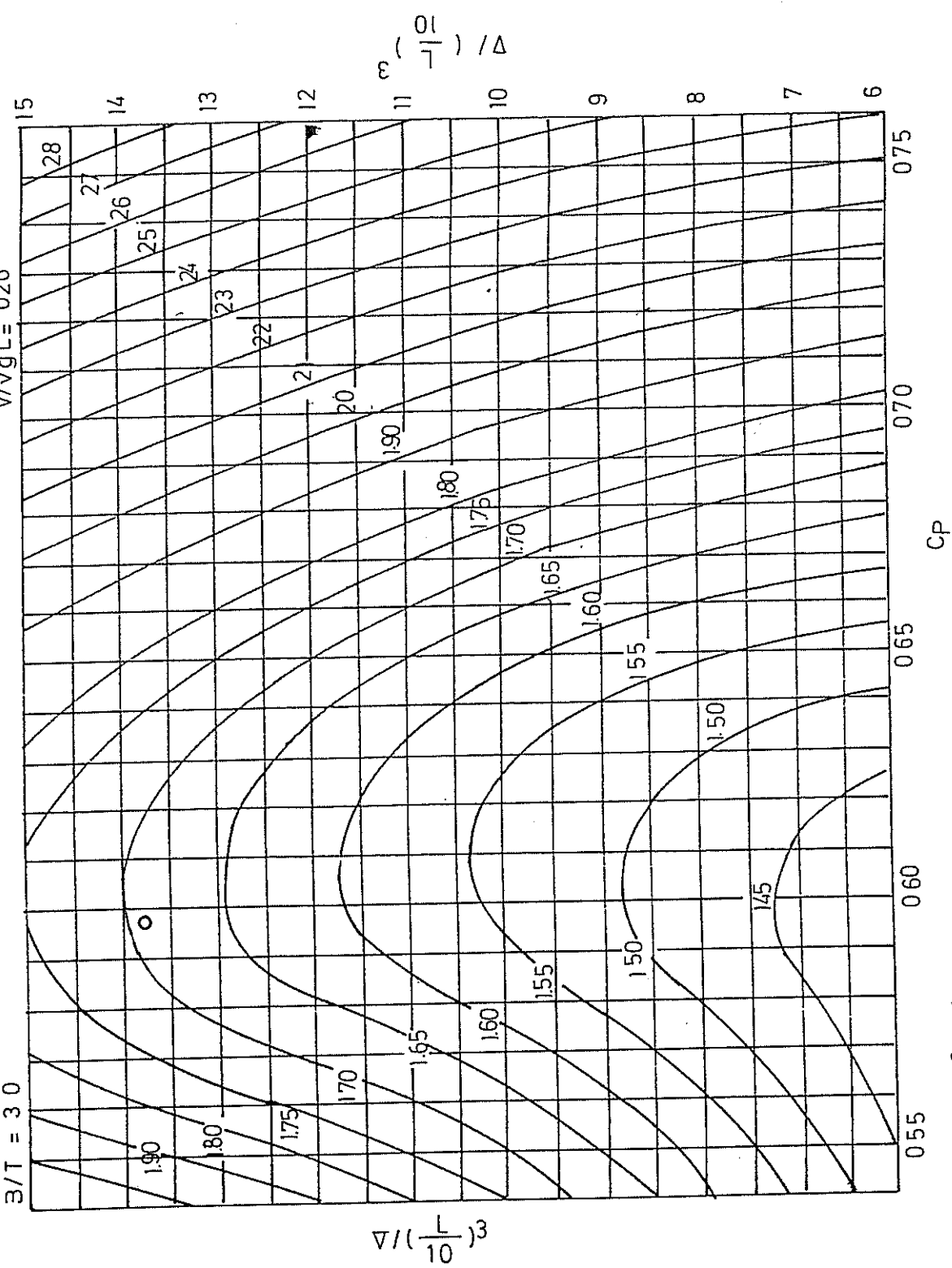


FIGURA N° 17.5

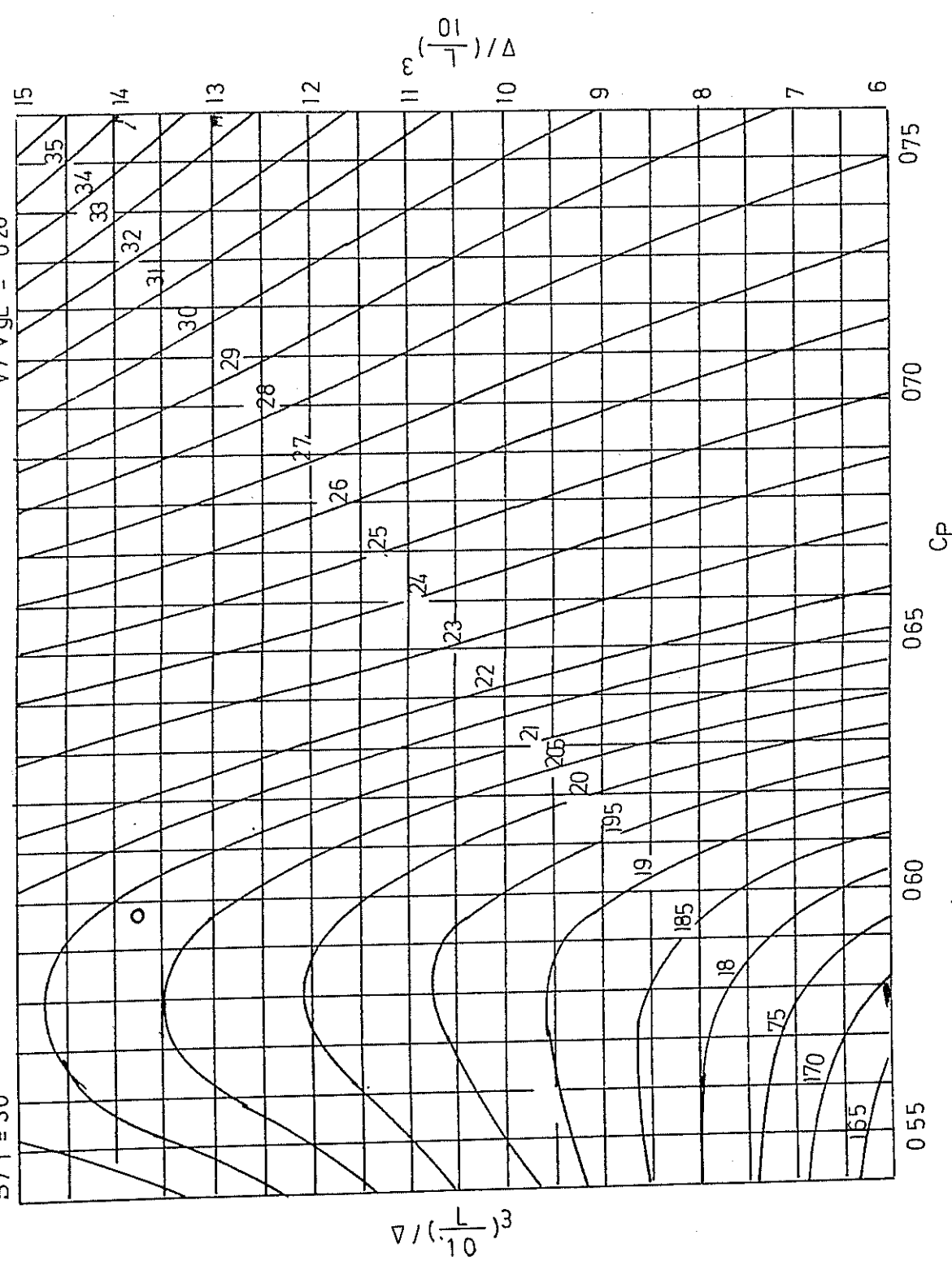


FIGURA N° 17.6

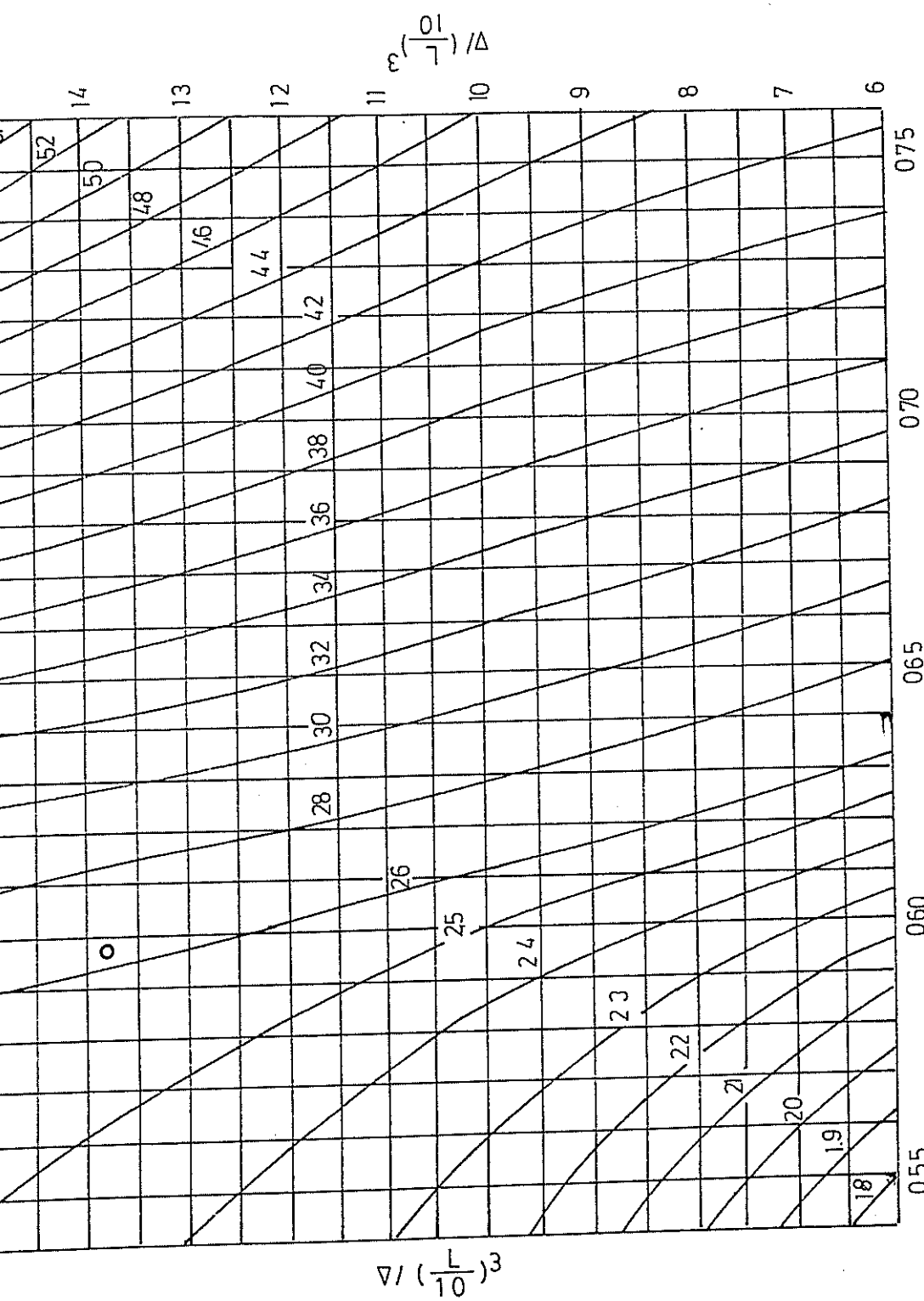


FIGURA N° 17.7

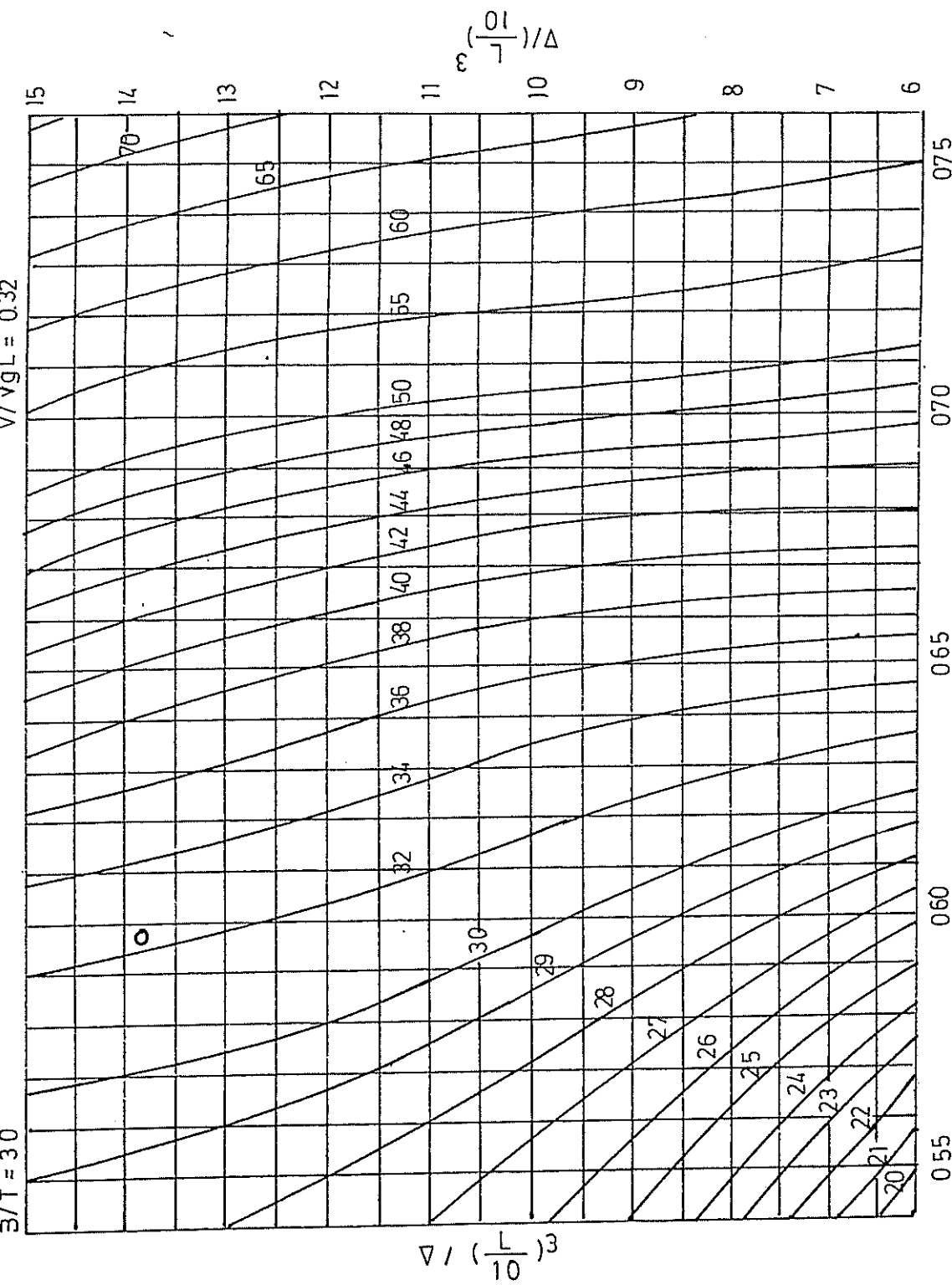


FIGURA N° 17.8

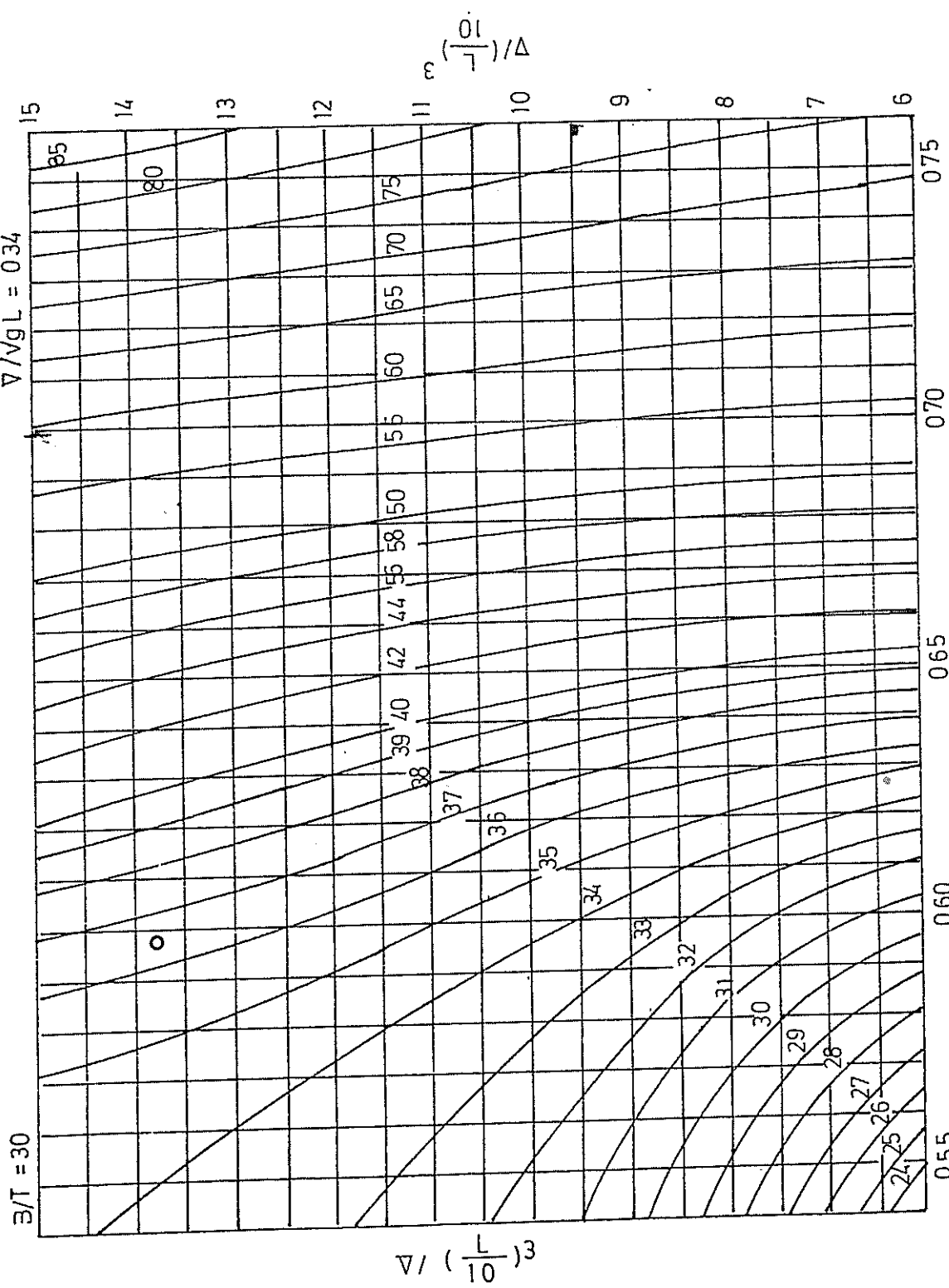


FIGURA N° 17.9

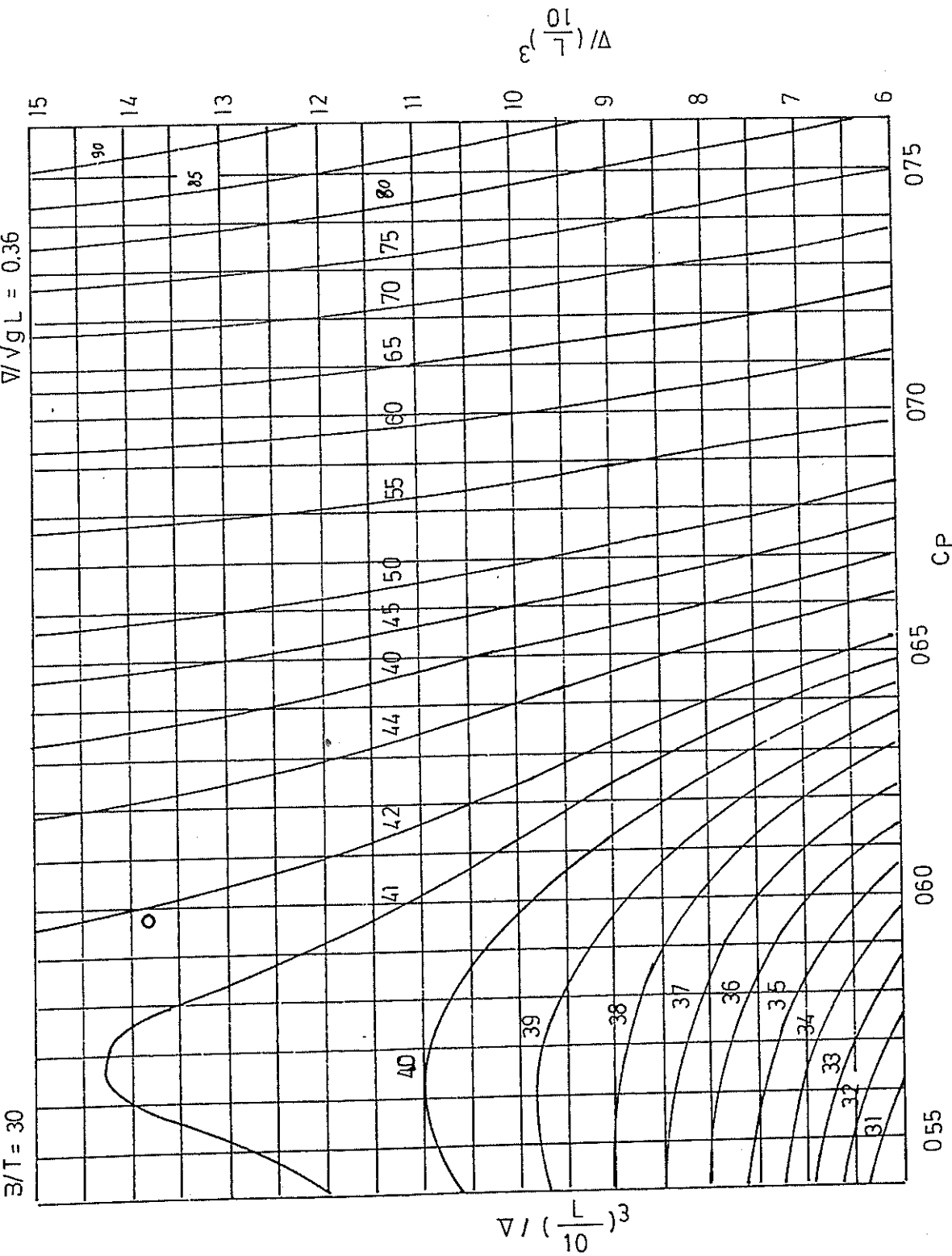
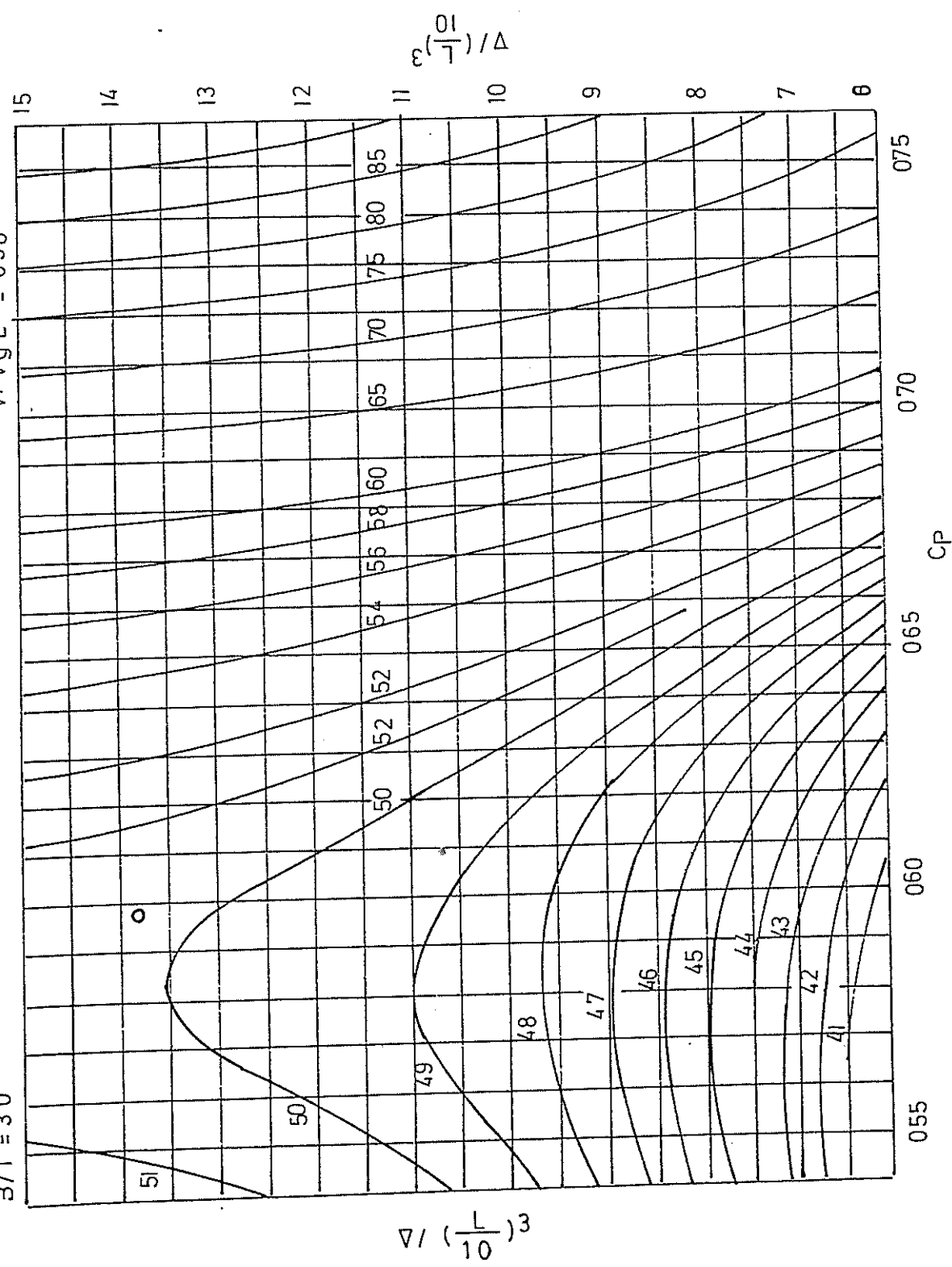


FIGURA N° 17.10



VALORES DE $(EHP)w / (C_{wx} \cdot 100) (\sqrt{V} / \sqrt{g} L^3)$

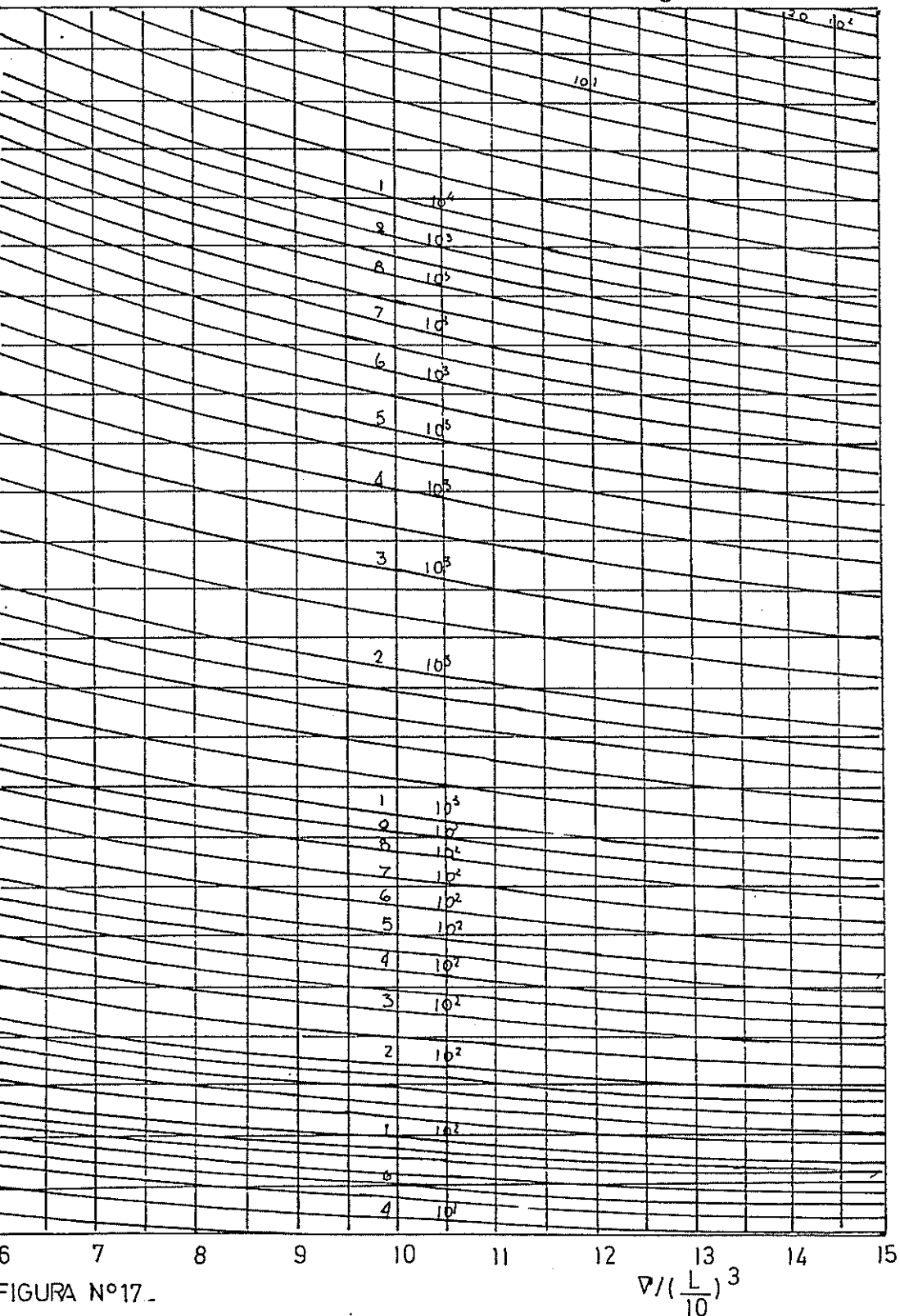
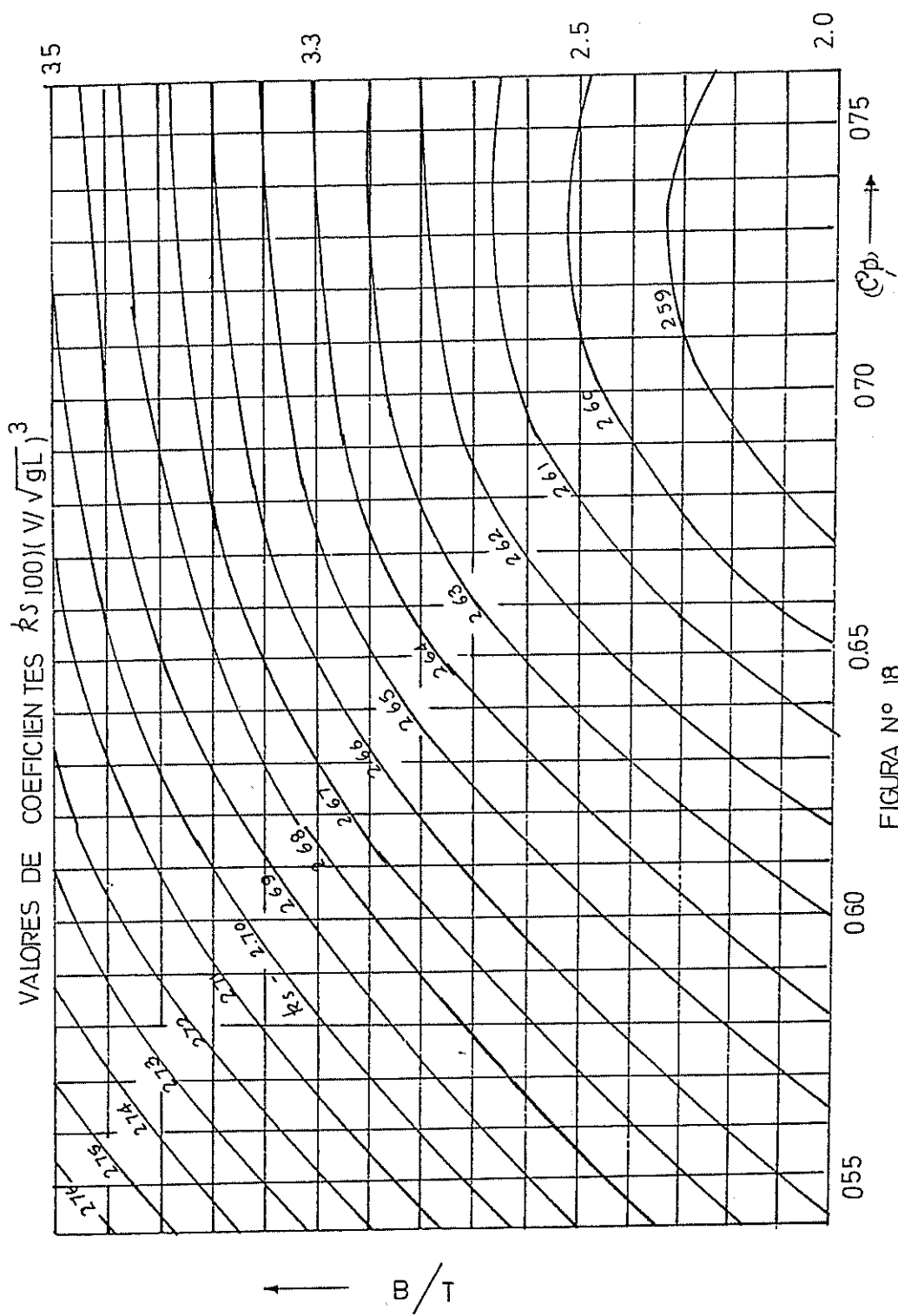


FIGURA N°17.



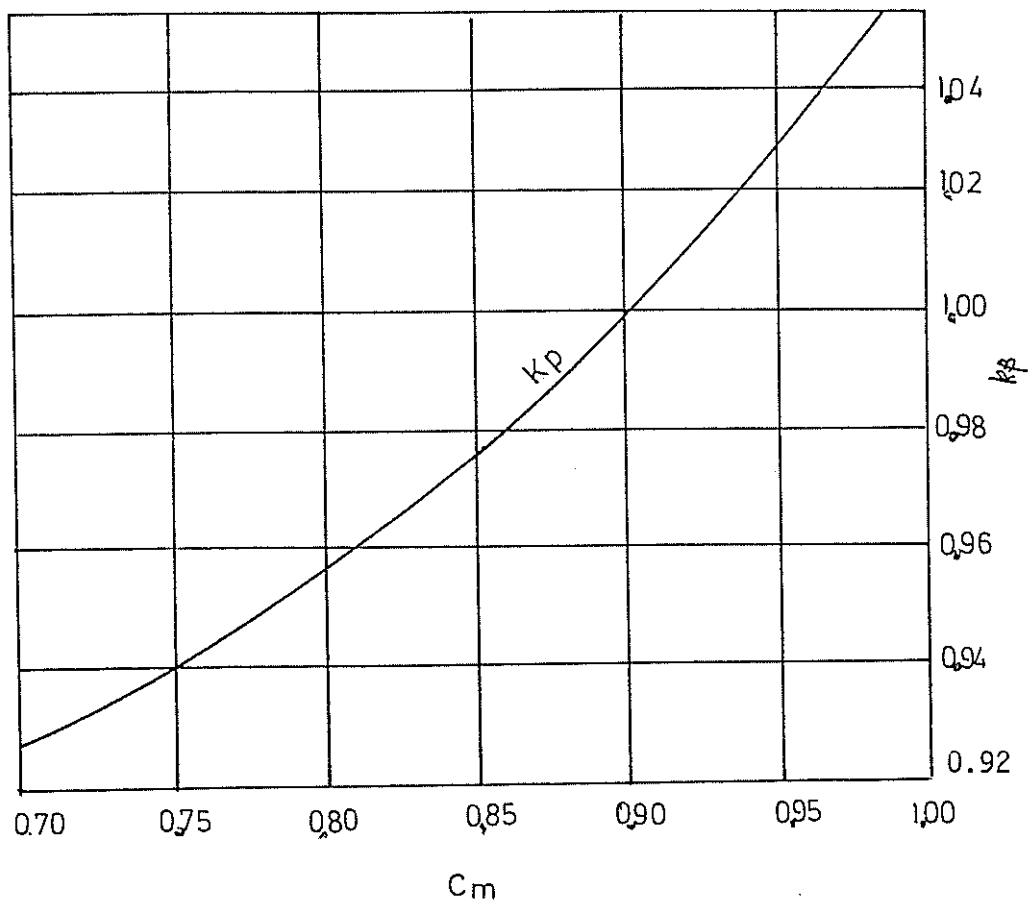
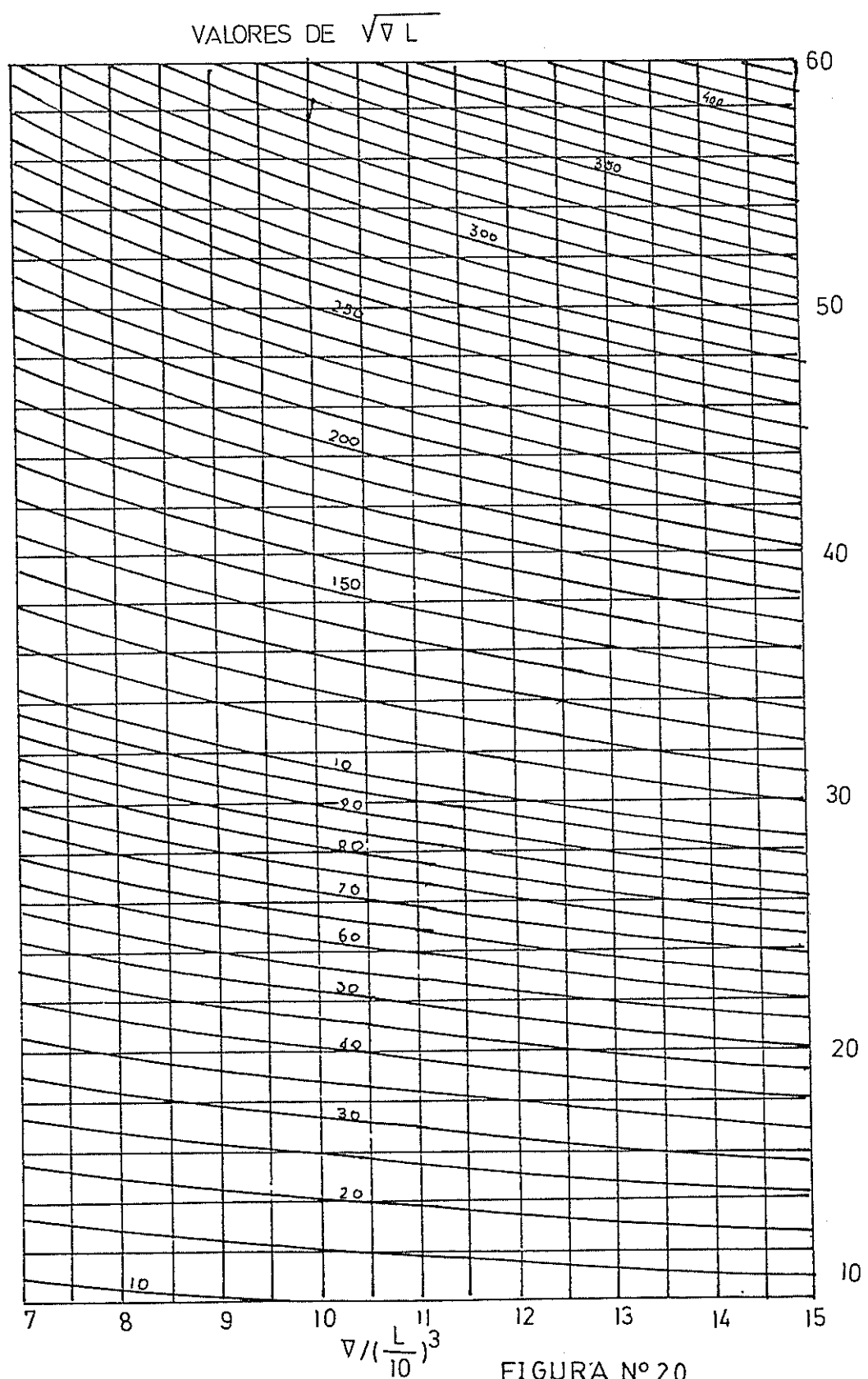
VALORES DE K_p 

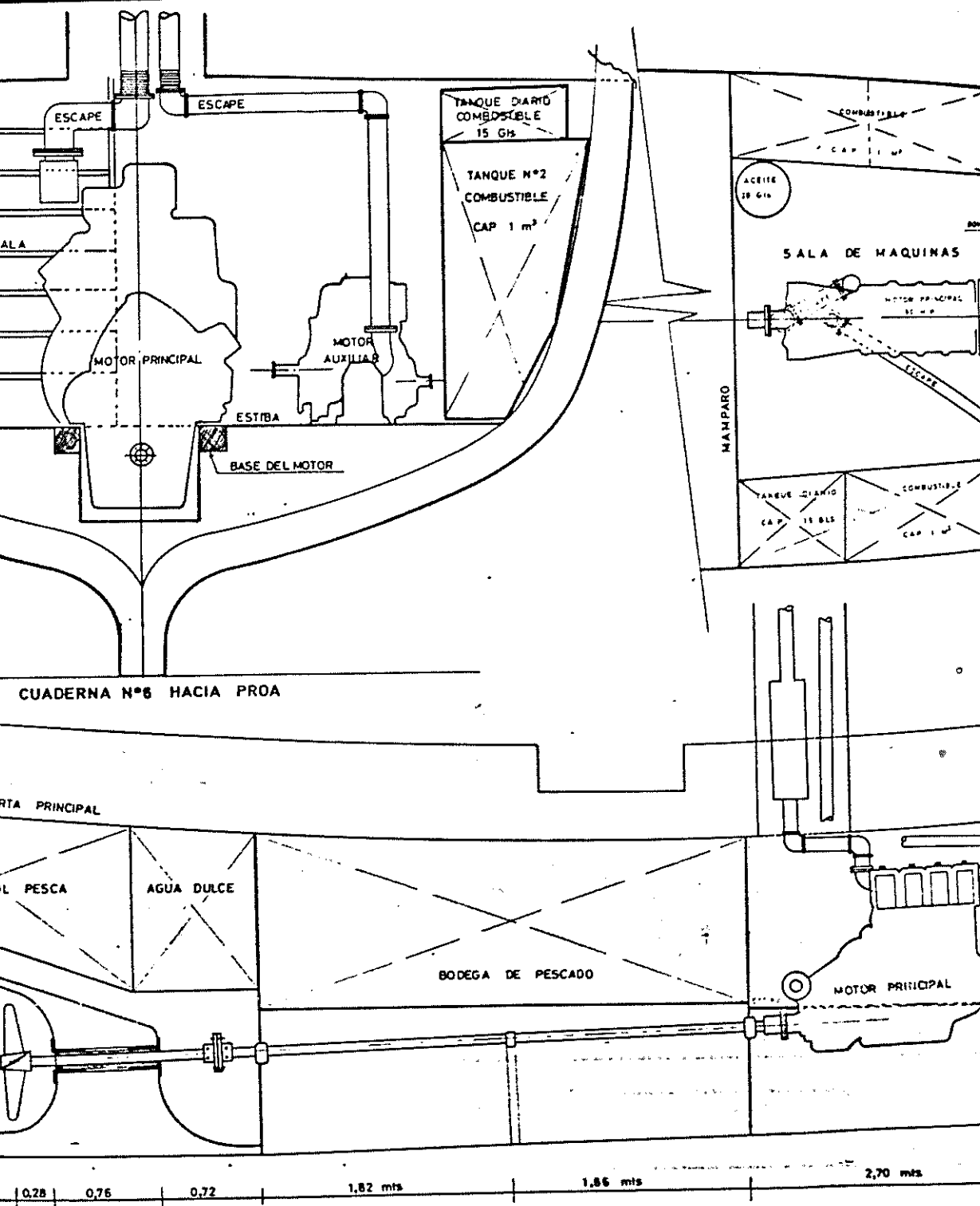
FIGURA N° 19



CALCULO DE LA POTENCIA DEL MOTOR PRINCIPAL (METODO GRAFICO DE TAKAGI)

| L | = 12.30 | V | = 25.75 | (EHP)w / Cw × 100 (V/V \sqrt{gL}) ³ = 80.42 | | | | | | | | | |
|------------------|-------------------|--------------------------------|---------------------------------|---|---------------------------------------|----------------------------------|--------------------------------------|---|-------------|-------------------|------------------------|---------------------|------------------------------------|
| B | = 3.60 | (L/10) ³ | - = 1.86 | Ks = 2.660 | | | | | | | | | |
| T | = 1.40 | B/T | = 2.57 | K ϕ = 0.928 | | | | | | | | | |
| Δ | = 26.40 | Cp | = 0.596 | Ka = 1.050 | | | | | | | | | |
| \sqrt{L} | = 350 | Cm | = 0.68 | $\sqrt{V_L}$ = 18 | | | | | | | | | |
| 6.085 \sqrt{L} | = 2134 | V/(L/10) ³ | = 13.84 | S = 46.65 m ³ | | | | | | | | | |
| Nº | 1 \sqrt{VgL} | 2 Cw × 100 para B/T = 30 | 3 Cw × 100 para B/T = 2.2 | 4 Diferencia 2 - 3 | 5 Corrección B/T 2.57 - 2.20 | 6 Cw × 100 para B/T = 2.57 | 7 (V/V \sqrt{gL}) ³ | 8 (EHP)w Gw.100 (V/V \sqrt{gL}) ³ X 7 | 9 (EHP)w | 10 (EHP)f s | 11 (EHP)f 10 × S | 12 EHP 9 + 11 | 13 V 6.085 \sqrt{L} x 1 |
| 1 | 0.16 | 0.98 | 0.77 | 0.21 | 0.10 | 0.87 | $4,09 \times 10^{-3}$ | 0.329 | 1.20 | 0.15 | 6.93 | 8.19 | 3.31 |
| 2 | 0.18 | 1.08 | 0.88 | 0.20 | 0.09 | 0.98 | 5.83×10^{-3} | 0.469 | 1.45 | 0.20 | 9.33 | 10.78 | 3.72 |
| 3 | 0.20 | 1.17 | 1.02 | 0.15 | 0.07 | 1.09 | 8.00×10^{-3} | 0.643 | 1.73 | 0.25 | 11.66 | 13.39 | 4.14 |
| 4 | 0.22 | 1.28 | 1.17 | 0.11 | 0.02 | 1.19 | 10.65×10^{-3} | 0.856 | 2.07 | 0.30 | 13.99 | 16.05 | 4.55 |
| 5 | 0.24 | 1.43 | 1.38 | 0.05 | 0.02 | 1.40 | 13.82×10^{-3} | 1.111 | 2.51 | 0.40 | 21.15 | 21.16 | 4.97 |
| 6 | 0.26 | 1.64 | 1.61 | 0.02 | 0.01 | 1.63 | 17.50×10^{-3} | 1.407 | 3.03 | 0.50 | 26.32 | 26.35 | 5.38 |
| 7 | 0.28 | 2.08 | 2.08 | 0.00 | 0.00 | 2.08 | 21.95×10^{-3} | 1.765 | 3.86 | 0.60 | 28.00 | 31.85 | 5.80 |
| 8 | 0.30 | 2.63 | 2.90 | 0.03 | 0.01 | 2.61 | 27.00×10^{-3} | 2.171 | 4.80 | 0.70 | 32.65 | 37.45 | 6.21 |
| 9 | 0.32 | 3.23 | 3.18 | 0.05 | 0.02 | 3.20 | 32.77×10^{-3} | 2.635 | 5.84 | 0.90 | 41.10 | 47.00 | 6.63 |
| 10 | 0.34 | 3.67 | 3.62 | 0.05 | 0.02 | 3.64 | 39.30×10^{-3} | 3.160 | 6.80 | 1.10 | 51.31 | 58.11 | 7.04 |
| 11 | 0.36 | 4.20 | 4.50 | 0.06 | 0.03 | 4.17 | 46.66×10^{-3} | 3.752 | 7.95 | 1.25 | 58.30 | 66.25 | 7.45 |
| 12 | 0.38 | 5.03 | 4.95 | 0.08 | 0.04 | 4.99 | 54.87×10^{-3} | 4.412 | 9.39 | 1.40 | 65.80 | 75.16 | 7.87 |

TABLA N° 14



5.3 HELICE Y EJES

Para la selección del sistema propulsor, utilizamos la serie de TROOST

$$L_{pp} = 11.60 \text{ m.}$$

$$B = 3.60 \text{ m.}$$

$$T = 1.18 \text{ m.}$$

$$C_b = 0.36$$

$$EHP = 90 \text{ H.P.}$$

$$r.p.m. = 1.500$$

$$\text{Reducción} = 2.9 : 1$$

$$V = 8 \text{ Nudos}$$

$$DHP = 0.93 \text{ EHP}$$

$$= 0.93 \times 90 \text{ H.P.} = 83.7 \text{ H.P.}$$

$$\text{Revoluciones en la hélice: } \frac{1.500}{2.9} = 518 \text{ r.p.m.}$$

5.3.1 De la Figur.Nº 21, calculamos el coeficiente de estela en función de $B/L = 0.31$

$$W = 0.23$$

$$\text{a) Corrección por Bloque} = \frac{0.38 - 0.45}{3} = 0.023$$

$$\text{b) Corrección por inmersión} = \frac{(I/dp)_b - (I/dp)_s}{4}$$

$$(I/dp)_b = \frac{1.0 \text{ m.}}{1.6 \text{ m.}} = 0.625 = \frac{0.625 - 0.730}{4} = 0.026$$

$$\begin{aligned} W &= 0.23 - 0.023 - 0.026 \\ &= 0.181 \end{aligned}$$

$$V_a = V_s (1 - W_t)$$

$$V_a = 8(1 - 0.181) = 6.552$$

$$B_p = \frac{0.982 \times N \times DHP}{(V_a)^{2.5}}$$

$$B_p = \frac{0.982 \times 518 \times 83.7}{(6.552)^{2.5}} = 42.35$$

5.3.2 Utilizando la Figura N° 22, que corresponde a hélices de tres palas con $A_d/A_o = 0,50$ se calcula J , con $B_p = 43.2$ y $\eta_b^3 = 0.55$

$$J_g = 260$$

$$J_c = 260 \times 0.95 = 247$$

$$J_o = 0.97 \times 0.55 = 0.5335$$

5.3.3 Utilizando la Figura N° 23, en función de N_c calculamos

$$H/D$$

$$H/D = 0.83$$

$$D = \frac{J_{corregido} \times V_a \times 0.3046}{(r.p.m.)h}$$

$$D = \frac{247 \times 6,552 \times 0,3046}{518} = 0.95 \text{ m.}$$

$$= 37.4''$$

$$\frac{H}{D} = 0.83$$

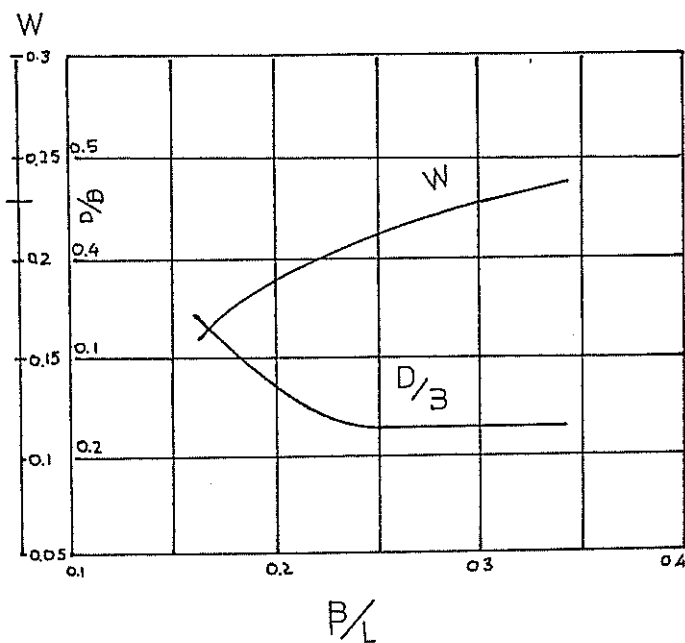
$$H = 0.83 \times 0.98 = 0.8134 \text{ m.}$$

$$= 32,02''$$

Hélice de 38" x 32"

$$(D + H)r = 69.42''$$

COEFICIENTE DE ESTELA EN FUNCION DE B/L .



PARA: $C_b = 0.45$

FIGURA N° 21

DIAGRAMA 3p —

♂, SERIE 3:3.50

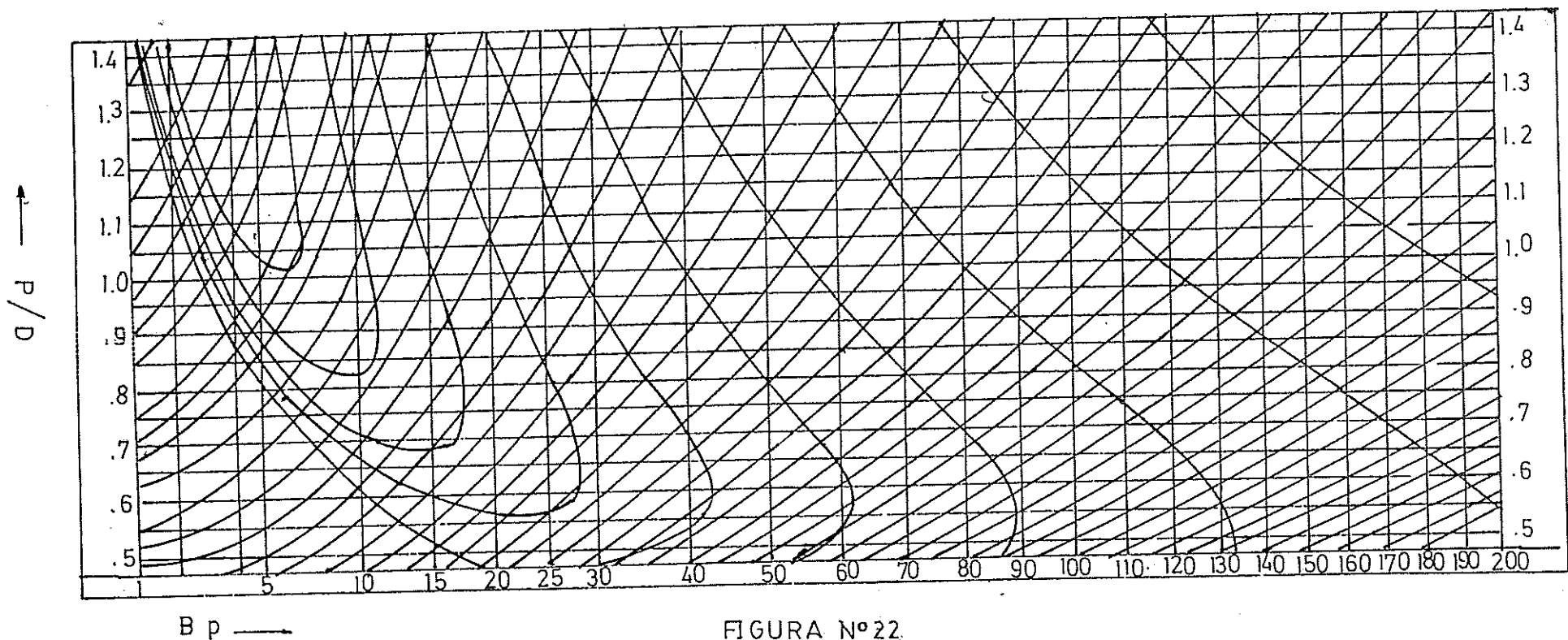


FIGURA N° 22.

DIAGRAMA 3p σ , SERIE B . 3.35

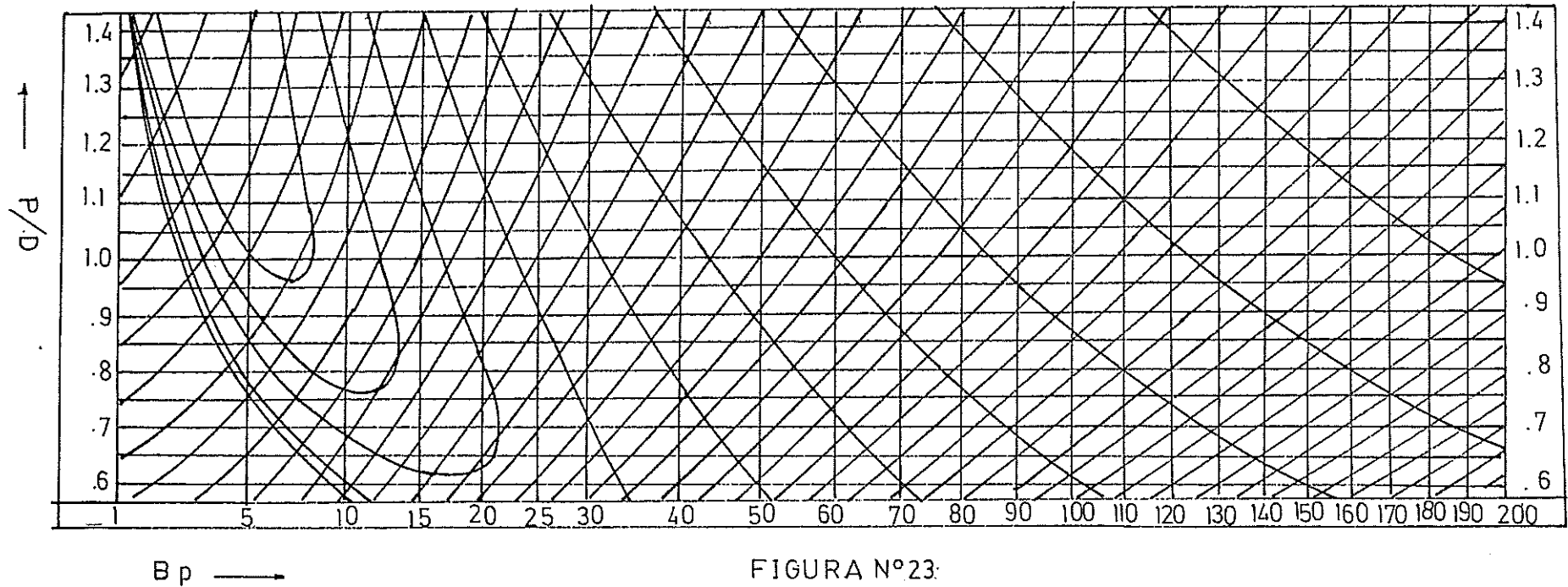


FIGURA N°23

$$(D + H)c = 70"$$

5.3.4 Cálculo empuje desarrollado

$$T \text{ estimado} = \frac{326 \times \text{DHP}}{\gamma_o} \quad . \quad \gamma_o$$

$$= \frac{326 \times 83.7}{6.552} \times 0.5335$$

$$= 2.221 \text{ lbs.}$$

$$= 1.010 \text{ Kg.}$$

RESUMEN:

$$\text{DHP} = 83.7 \text{ H.P.}$$

$$D = 38"$$

$$A_d/A_o = 0.50$$

$$Z = 3$$

$$H = 32"$$

$$\gamma_o = 0.5335$$

$$\text{Área de palas} = \frac{3.14 \times 38^{-2} \times 0.5}{3} = 755 \text{ pulg.}^2$$

$$\text{Presión en la palas} = \frac{2.221.0 \text{ lbs.}}{755 \text{ pulg.}^2} = 2.94 \text{ psi}$$

(Máximo permisible : 5 p.s.i)

$$\text{Diámetro del eje} = d = c \cdot \sqrt[3]{\frac{\text{B.H.P.}}{N}}$$

$$= 102.36 \sqrt[3]{\frac{83.7}{518}}$$

$$= 55.75 \text{ m.m.}$$

$$= 2.16"$$

$$\begin{aligned}
 \text{Diámetro del eje de cola} &= 1.05d + 0.007 P. \\
 (\text{con bocina continua}) &= 1.05 \times 55.75 + 0.01 \times 0.98 \\
 &= 58.53 + 0.0098 \\
 &= 58.54 \text{ m.m}
 \end{aligned}$$

$$\begin{aligned}
 \text{Diámetro del núcleo} &= dn = 0.167 \times D. \\
 &= 0.167 \times 980 \text{ m.m} = 163,66 \text{ m.m}.
 \end{aligned}$$

$$\text{Longitud total del eje} = 5.8 \text{ m.}$$

Espesor de las camisas:

$$\begin{aligned}
 T_1 &= \frac{dp + 230}{32} \text{ m.m} \\
 &= \frac{58.54 \text{ m} + 320}{32} = 9.01 \text{ m.m}
 \end{aligned}$$

CHUMACERA

$$\text{LOngitud} = 1 - 4d$$

$$\text{Espesor} = e = 1/3d$$

CHUMACERA DE COLA

$$\begin{aligned}
 l_c &= 4 \times 58.64 \text{ m.m} = 234,16 \text{ m.m} \\
 C_c &= 1/3 \times 58.64 = 19.51 \text{ m.m}
 \end{aligned}$$

CHUMACERA INTERMEDIA

$$\begin{aligned}
 l_1 &= 4 + 55.75 \text{ m.} = 223 \text{ m.m} \\
 C_i &= 1/3 \times 55.75 \text{ m} = 18.58 \text{ m.m}
 \end{aligned}$$

5.4 BALANCE ELECTRICO

5.4.1 Requerimientos de Potencia Eléctrica

a) Luces de Navegación

| | |
|-------------------------|-------------|
| Luz de tope | 12 W |
| Luz de estribor | 12 W |
| Luz de Babor | 12 " |
| Luz de Popa | 12 " |
| Luz de Pesca (Roja) | 12 " |
| Luz de Pesca (Verde) | 12 " |
| Luz de Pesca (Blanca) | 12 " |
| Luz de Pesca (Blanca) | 12 " |
| Luz Blanca de Fondeo | 12 " |
| Luz mesa carta y compás | <u>12 "</u> |
| | 120 W |

b) Iluminación

| | |
|-------------------|-------------|
| Acomodación | 16 W |
| Superestructura | 16 " |
| Puente | 8 " |
| Cuarto de Máquina | 32 " |
| Bodega de Pescado | 54 " |
| Cubierta Popa | 18 " |
| Cubierta | <u>36 "</u> |
| | 180 W |

c) Reflectores

| | |
|-------------------|--------------|
| Luces de Búsqueda | 100 W |
| Destelladores | <u>150 "</u> |
| | 250 W |

d) Refrigerador 100 W

e) Equipo electrónico

| | |
|---------------------|-------------|
| Radio Teléfono | 250 W |
| Radar de Navegación | 170 " |
| Ecosonda | <u>30 "</u> |
| | 450 W |

f) Ventiladores 96 W

g) Bomba de agua dulce 100 W

h) Bomba de sentina y contra_

incendio 250 W

i) Compresor de aire 450 W

j) Equipo de pesca 350 W

k) Varios

| | |
|-----------------------|---------------|
| Claxon y sirena | 0,05 W |
| Limpador de parabrisa | <u>0,10 "</u> |
| | 0,15 W |

l) Motor auxiliar escogido

Marca YANMAR

Modelo TS-155 (E)

Tipo DIESEL HORIZONTAL DE 4 CICLOS

Número de cilindros 1

Carrera 95 x 106 m.m.

Caballos x revoluciones 13/2.200

Compresión 20.4

Sistema de combustión Cámara de combustión

| | |
|---------------------|---------------|
| Sistema de arranque | Eléctrico |
| Enfriamiento | Bomba de agua |
| Peso | 150 lbs. |

Tabla No. 15

BALANCE ELECTRICO

| Nº | ITEM | MARCHA | | | PESCA | | | PUERTO | | | EMERGENCIA | | | |
|------------------------------------|--|------------------|------------------|-------------------|------------------|--------------|-------------------|------------------|--------------|-------------------|------------------|--------------|-------------------|--|
| | | Potencia nominal | Factor de carga. | Potencia estimada | Potencia nominal | Factor carga | Potencia estimada | Potencia nominal | Factor carga | Potencia estimada | Potencia nominal | Factor carga | Potencia estimada | |
| 01 | LUCES DE NAVEGACION ILUMINACION REFLECTORES REFRIGERADOR EQUIPO ELECTRONICO VENTILADORES BOMBA DE AGUA DULCE BOMBAS DE SENTINA COMPRESOR DE AIRE LIMPIADOR DE PARABRI CLAXON Y SIRENA EQUIPO DE PESCA | 0.12 | 1.0 | 0.12 | 0.12 | 1.0 | 0.12 | 0.12 | 0.0 | 0.00 | 0.12 | 1.0 | 0.12 | |
| 02 | | 0.18 | 1.0 | 0.18 | 0.18 | 0.5 | 0.09 | 0.18 | 0.0 | 0.00 | 0.18 | 1.0 | 0.18 | |
| 03 | | 0.25 | 0.5 | 0.12 | 0.25 | 0.5 | 0.12 | 0.25 | 0.0 | 0.00 | 0.25 | 1.0 | 0.25 | |
| 04 | | 0.18 | 1.0 | 0.18 | 0.18 | 1.0 | 0.18 | 0.18 | 1.0 | 0.18 | 0.18 | 1.0 | 0.18 | |
| 05 | | 0.45 | 1.0 | 0.45 | 0.45 | 1.0 | 0.45 | 0.45 | 0.0 | 0.00 | 0.45 | 1.0 | 0.45 | |
| 06 | | 0.10 | 1.0 | 0.10 | 0.10 | 1.0 | 0.10 | 0.10 | 1.0 | 0.10 | 0.10 | 1.0 | 0.10 | |
| 07 | | 0.50 | 1.0 | 0.50 | 0.50 | 1.0 | 0.50 | 0.50 | 1.0 | 0.50 | 0.50 | 1.0 | 0.50 | |
| 08 | | 2.50 | 1.0 | 2.50 | 2.50 | 1.0 | 2.50 | 0.75 | 1.0 | 0.75 | 2.50 | 1.0 | 2.50 | |
| 09 | | 4.50 | 0.5 | 2.25 | 4.50 | 1.0 | 4.50 | 1.50 | 0.0 | 0.00 | 4.50 | 1.0 | 4.50 | |
| 10 | | 0.10 | 0.5 | 0.05 | 0.10 | 1.0 | 0.10 | 0.10 | 0.0 | 0.00 | 0.10 | 1.0 | 0.10 | |
| 11 | | 0.05 | 1.0 | 0.05 | 0.05 | 1.0 | 0.05 | 0.05 | 1.0 | 0.05 | 0.05 | 1.0 | 0.05 | |
| 12 | | - | - | - | 3.50 | 1.0 | 3.50 | - | - | - | 3.50 | 1.0 | 3.50 | |
| + 5 % Potencia requerida en Kw. | | | | 6.50 | | | 12.20 | | | 1.58 | | | 12.43 | |
| | | | | 0.32 | | | 0.61 | | | 0.08 | | | 0.62 | |
| | | | | 6.82 | | | 12.81 | | | 1.66 | | | 13.05 | |

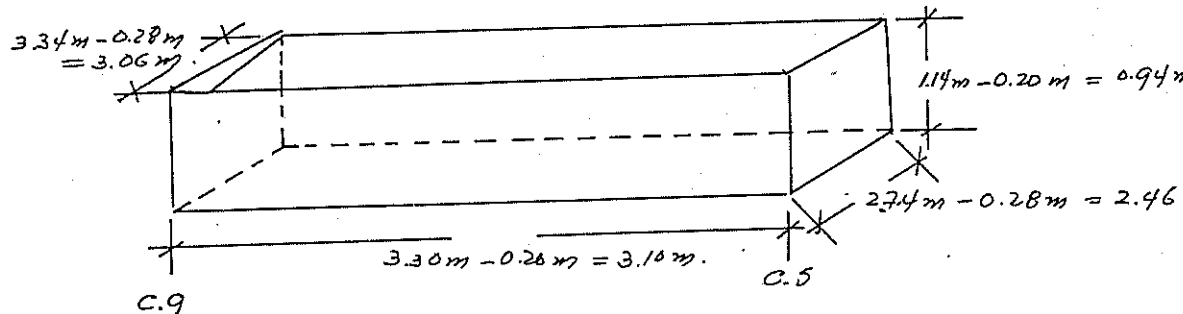
TABLA N° 15

CAPITULO VI

CONSERVACION Y MANIPULEO DE LA PESCA

6.1 CALCULO DE LA BODEGA DE PESCADO

La bodega de pescado, estará localizada entre las cuadernas 5 y 9 será aislada con poliuretano, para estibar 40% de la carga en cajas y 60% al granel, considerando una temperatura interior de 0°C y una temperatura exterior de 32°C.

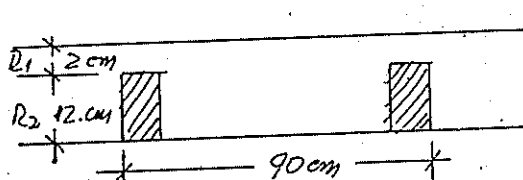


a) Cálculo de la resistencia equivalente

Temperatura interior 0°

Resistencia específica del po_

Tiurethano



$$R = 28 \frac{m}{W} \cdot ^\circ C$$

Temperatura exterior 32°C

$$R_1 = 28 \times 0,02 = 0.56 \frac{^\circ C}{W}$$

$$R_2 = 28 \times 0,12 = 3.36 \frac{^\circ C}{W}$$

$$A_1 = 0.66 \quad 6\% \text{ (Tanto por ciento de superficies de cuadernas)}$$

$$A_2 = 0.94 \quad 94\% \text{ (Tanto por ciento de superficie sin cuadernas)}$$

$$Q = D \left(\frac{0.06}{0.56} + \frac{0.94}{3.36} \right) = D \times \frac{1}{\text{Req.}}$$

$$\frac{1}{\text{Req.}} = 0.107 + 0.28$$

$$\text{Req.} = 2.58 \frac{\text{m}^2 \text{°C}}{\text{W}}$$

b) Cálculo de las áreas de aislamiento de la bodega

$$1. \text{ Cubierta} \quad 3.06 \text{ m} \times 3.16 \text{ m} = 9.67 \text{ m}^2$$

$$2. \text{ Piso} \quad 2.46 \text{ m} \times 3.16 \text{ m} = 7.77 \text{ "}$$

$$3. \text{ Costado} \quad 2.00 \text{ m} \times 0.94 \text{ m} = 5.94 \text{ "}$$

$$4. \text{ Mamparo popa} \quad 2.76 \text{ m} \times 0.94 \text{ m} = 2.59 \text{ "}$$

$$5. \text{ Mamparo cuarto máq.} \quad 2.76 \text{ m} \times 0.94 \text{ m} = 2.59 \text{ "}$$

$$\text{TOTAL} \quad 28.56 \text{ m}^2$$

$$Q = \frac{A \times AT}{\text{Req.}} = \frac{\text{m}^2 \times \text{°C}}{\text{m}^2 \text{ °C/W}} = W = 5/\text{seg.}$$

Q = Cantidad de calor ($W = 5/\text{seg.}$)

A = Área considerada (m^2).

AT = Diferencia entre la temperatura interior y exterior (°C)

Req. = Resistencia equivalente ($\text{m}^2 \times \text{°C/W}$)

$$\text{Area 1 (Cubierta} = 9.67 \text{ m}^2 \text{)} \quad Q_1 = \frac{9.67 \text{ m}^2 \times 32 \text{ °C}}{2.58 \frac{\text{m}^2 \text{ °C}}{\text{W}}} = 120 \text{ W}$$

$$\text{Temperatura ext. considerada} = 32 \text{ °C}$$

$$\text{Area 2 (Piso, costado y mamparo, popa)} = 16.3 \text{ m}^2$$

$$Q_2 = \frac{16.3 \text{ m}^2 \times 25 \text{ °C}}{2.58 \frac{\text{m}^2 \text{ °C}}{\text{W}}} = 158 \text{ W}$$

$$\text{Temperatura ext. considerada} = 25 \text{ °C}$$

Area 3(Mamparo cuarto máq.) = 2.59m^2

$$Q_3 = \frac{2.59\text{m}^2 \times 37^\circ\text{C}}{2:58^\circ\text{C}} = 37\text{W}$$

Temperatura ext.considerada=37°C

$$Qt = 315\text{W.. J/seg.}$$

c) Efecto de irradiación (Qi)

$$Qi = 315 \text{ j/seg.} \times 24 \text{ horas} \times 3.600 \text{ seg.} = 27.216 \text{ kJ/24 horas}$$

d) Efecto de trabajo(Qt)

Se asume que trabajan 2 personas, por 6 horas diarias(03 KJ x personas)

$$Qt = 2 \text{ personas} \times 6 \text{ horas} \times \text{día} \times 0,3 \text{ KJ/persona} \times 3.600 \text{ seg.} \\ = 12.960 \text{ KJ/24 horas}$$

e) Efecto del aire (Qa)

Se asume 0.57 KJ/seg. por el aire que entra en la bodega

$$f) Qa = 2 \times 6 \text{ horas} \times 0.57 \text{ KJ/seg.} \times 3.600 \text{ seg.} = 24.480 \text{ KJ/24 horas.}$$

Efecto de la luz

Se asume 0,2 KJ/seg. por la luz solar que entra en la bodega

$$g) Q1 = 6 \text{ horas} \times 0.2 \text{ KJ/seg.} \times 3.600 \text{ seg.} = 3.601 \text{ KJ/24 horas}$$

$$h) Qt = Qi + Qt + Qa + Q1$$

1 kg. de hielo produce 334 KJ/24 horas

$$Qi = 27.216 \text{ KJ/24 horas} \quad 81.48 \text{ Kg. de hielo}$$

| | |
|------------------------------------|------------------------------|
| $Q_t = 12.960 \text{ KJ/24 horas}$ | $38.80 \text{ Kg de hielo}$ |
| $Q_a = 24.480 \text{ KJ/24 horas}$ | $73.30 \text{ Kg de hielo}$ |
| $Q_1 = 3.601 \text{ KJ/24 horas}$ | $10.78 \text{ Kg de hielo}$ |
| $Q_t = 68.257 \text{ KJ/24 horas}$ | $204.36 \text{ Kg de hielo}$ |

i) Capacidad neta de pescado Vs hielo necesario para conservación

$$\begin{aligned} \text{Autonomía} &= (1/2 + 3 + 1/2) \text{ días} \\ &= 4 \text{ días} \end{aligned}$$

$$Q_{\text{conducción}} = 81.48 \text{ Kg de hielo}$$

$$Q_{\text{varios}} = 122.88 \text{ Kg de hielo}$$

$$Q_{\text{total}} = 204.36 \text{ Kg de hielo} \quad 0.82 \text{ ton.}$$

$$+ 20\% Q_t = 40.87 \text{ Kg de hielo} \quad 0.16 \text{ ton.}$$

$$Q = 245.53 \text{ Kg de hielo} \quad 0.98 \text{ ton.}$$

Al final de los 4 días, queda en bodega 0,16 ton. de hielo

$$\text{Hielo desmenuzado} = 640 \frac{\text{Kg}}{\text{m}^3}$$

1 tonelada de hielo desmenuzado, ocupa $1,56 \text{ m}^3$

1 Tonelada de hielo en escama, ocupa $2,10 \text{ m}^3$

Para cada tonelada de pescado se necesita 250 Kg de hielo +
 $25\% = 250 + 62.5 = 312.5 \text{ Kg de hielo}$

$$\text{Volúmen que ocupa el hielo} = \frac{312.5 \text{ Kg}}{640 \frac{\text{Kg}}{\text{m}^3}} = 0.497 \text{ m}^3 \approx 0.5 \text{ m}^3$$

Volúmen de una tonelada de pescado en bodega = 1 m^3 de pesca

do + 0.5 m^3 de hielo = 1.5 m^3

$$\text{Volúmen de la bodega} = 3.16 \times 2.76 \times 0.94 = 9.28 \text{ m}^3$$

$$\text{Volúmen disponible de bodega} \quad 9.28 \text{ m}^3$$

| | |
|---|--------------------------------|
| Reducción del 15% del volumen disponible | 1.40 m^3 |
| Volumen de hielo para mantener fría la bodega | $\underline{1.56 \text{ m}^3}$ |
| Volumen disponible para hielo-pescado | 6.32 m^3 |

$$\text{Toneladas de pescado} = \frac{6.32 \text{ m}^3}{1.50 \frac{\text{m}^3}{\text{ton}}} = 4.2 \text{ ton.}$$

$$\text{Relación pescado: hielo} = \frac{4.200 \text{ Kg pescado}}{313 \text{ Kg hielo}} \\ = 13.41$$

6.2 CONSERVACION DE LA CAPTURA

Las especies de pescados a capturar, enunciado en los requerimientos (Capítulo I), pueden ser considerados como pescados semi-grasos. Razón por la cual, estarán sujetos a su descomposición por causa de las Enzimas, Bacterias y oxidación.

La reacción enzimática es un fenómeno químico proporcional a la elevación de la temperatura. Razón por la cual, para evitarla parcialmente es necesario mantener la temperatura baja; así como también, se la contraresta más efectivamente, eviscerando el pescado.

El deterioro bactereológico, se debe a la acción de las bacterias en el organismo del pez, adquiridos en hábitats contaminadas. Para evitar este efecto, es necesario que la temperatura de almacenamiento del pescado, se conserve a 0°C .

El deterioro oxidativo, se debe a la reacción de las grasas del pescado con el oxígeno del aire, formando peróxido, cuando el

pez, es puesto fuera de su hábitad. Este fenómeno también es - contrarestado, con bajas temperaturas.

En el diseño de la bodega de pescado, se asume una temperatura interior de 0°C. Preveída de un piso de madera y una escotilla adecuada.

Considerando las fugas de calor, la temperatura de almacenamiento será de 3°C, lo cual permite una buena conservación de la captura por 5 o 6 días. Límite adecuado, para cubrir el tiempo de faena programada (4 días).

La captura será almacenada 60% al granel hacia las bandas; y, - 40% en cajas, al centro de la bodega (Fig. Nº 24).

DISPOSICION DE LA BODEGA DE PESCAZO

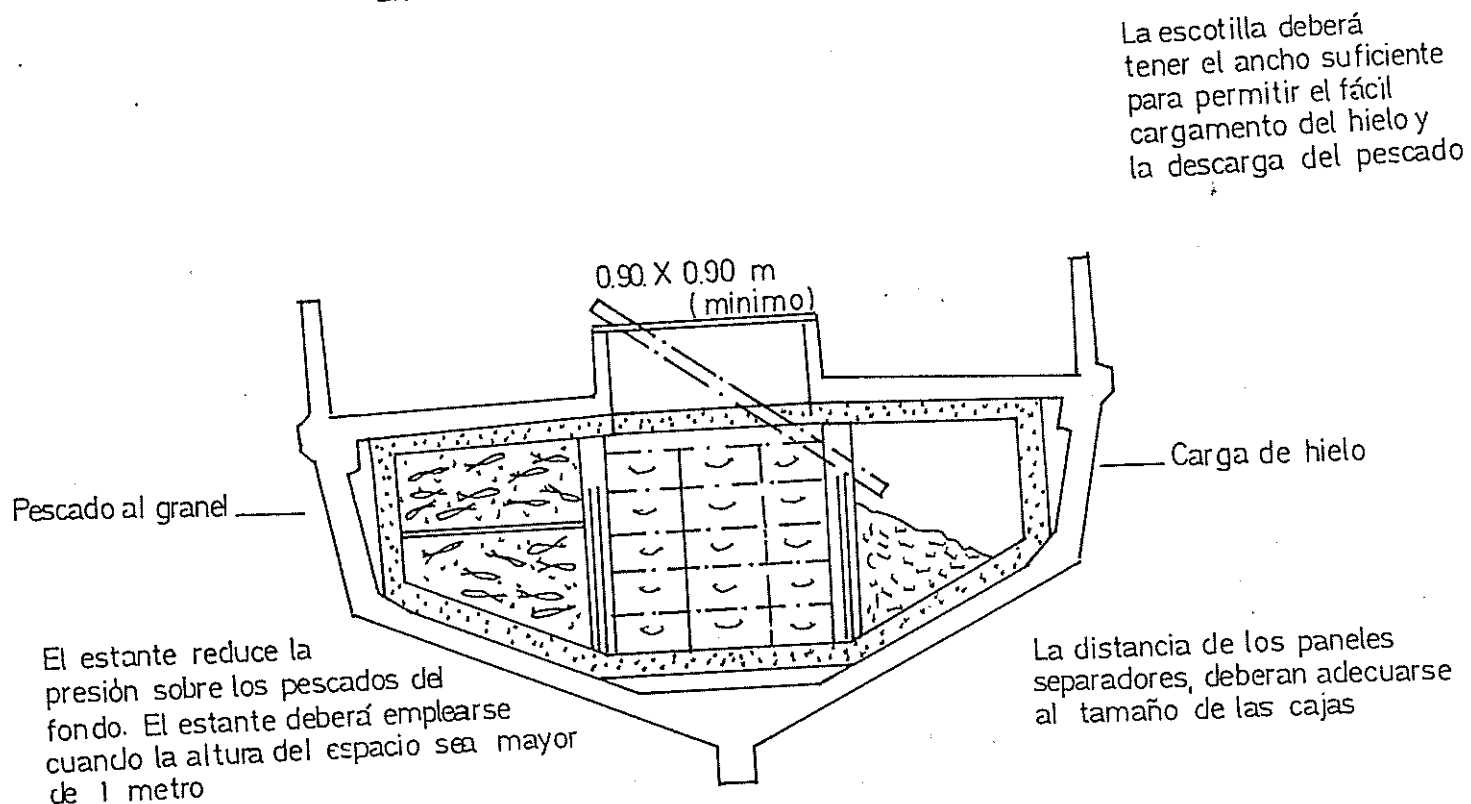


FIGURA N° 24

CAPITULO VII

ANALISIS TECNICO-ECONOMICO

Materiales con precio de mercado de la ciudad de Manta, volúmenes de captura y precio de venta del asiento pesquero de Jaramijó, a octubre de 1985.

7.1 COSTOS DE INVERSION

7.1.1 Costos de materiales del casco y la cubierta (ferrocemento)

| | |
|---|-----------------------|
| a) Malla cuadrada, soldada y galvanizada | S/.400 m ² |
| b) Varilla de hierro estructural de Ø=6 mm. | 12 m |
| c) Varilla de hierro estructural de Ø=4 mm. | 10 m |
| d) Cemento Rocafuerte Portland | 7 kg |
| e) Arena de río | 150 m ³ |
| f) Alambre galvanizado de amarre | 120 kg |

7.1.2 Peso del casco y la cubierta

| | |
|--|----------------------|
| a) CUNO = 12,96 m. x 3.60 m x 2.00 m | 93,3 m ³ |
| b) Area del casco (Gráfico Nº 19) | 90 ..m ² |
| c) Area de la cubierta (Gráfico Nº 19) | 28 ..m ² |
| d) Peso del ferrocemento (Gráfico Nº 4) | 70 kg/m ² |
| e) Peso del casco | 6.300 kg. |
| f) Peso de la cubierta | 1.960 kg. |
| g) Peso de la quilla, mamparos y otros (se asume el 20% del peso del casco) | 1.890 kg. |
| h) Peso total del casco de la cubierta | 10.150 kg. |

7.1.3. Costo del material por tonelada

| | | | |
|----|--|-----------|-------|
| a) | Metro cuadrado de lámina de 7 capas | S/. 2.280 | m^2 |
| b) | Metro cuadrado de lámina de 6 capas | 2.240 | m^2 |
| c) | Metro cuadrado de reforzamiento con varillas de $\varnothing = 6 \text{ mm}$ y $\varnothing = 4 \text{ m}$. | 320 | m^2 |
| d) | Metro cuadrado de amarre con alambre galvanizado ($0.5 \text{ kg}/m^2$) | 60 | m^2 |
| e) | Cemento ($38 \text{ kg}/m^2$) | 266 | m^2 |
| f) | Arena y aditivos | 60 | m^2 |
| g) | Acero estructural y soldadura | 100 | m^2 |
| h) | Costo total por metro cuadrado, casco | 3.606 | m^2 |
| i) | Costo total por metro cuadrado, cubierta | 3.206 | m^2 |
| j) | Costo total por tonelada | 42.693,00 | |

7.1.4. Costos varios

| | | |
|----|---|----------|
| a) | Curación del mortero (15% del costo total por tonelada) | 6.704,00 |
| b) | Pintura y acabado (5% del costo total por tonelada) | 2.234,00 |

7.1.5. Costo total del material por tonelada

53.631,00

7.1.6. Costo total del material

544.354,00

7.1.7. Costo de mano de obra

| | | |
|----|---|------------|
| a) | Hombres/días x tonelada | 35 |
| b) | Hombres/días | 355 |
| c) | Costo de mano de obra (S/. 500,00 diarios por hombre) | 177.500,00 |

7.1.8 Costo total del casco y la cubierta S/. 485.805,00

7.1.9 Costo de caseta y pisos (madera y playwood)

- a) Caseta (laurel y playwood) 17.930,00
- b) Pisos (Amarillo) 86.332,00
- c) Mano de obra (50% mano de obra casco) 88.750,00
- d) Costo total de la caseta y pisos. 188.529,00

7.1.10 Costo Total del casco desnudo 971.334,00

7.1.11 Maquinaria e instalaciones

- a) Motor principal 3'000.000,00
- b) Sistema propulsor 800.000,00
- c) Maquinaria auxiliar y accesorios 600.000,00
- d) Pluma, mastil y aparejamiento 800.000,00
- e) Mano de obra e instalación 500.000,00
- f) Costo total de maquinaria e instalaciones. 5'700.000,00

7.1.12 Equipo de pesca

- a) Alador de redes y líneas 350.000,00
- b) Trasmallo 200.000,00
- c) Palangre 350.000,00
- d) Ecosonda e instalación 300.000,00
- e) Costo total equipo de pesca 1'200.000,00

7.2 COSTOS FIJOS ANUALES

- a) Depreciación (se asume el 10% del costo del casco desnudo, maquinaria e instalaciones) 667.133,00
- b) Seguro (se asume el 50% de la depreciación) 337.566,00

| | |
|--|----------------|
| c) Carenamiento (se asume el 50% del costo del casco desnudo) | S/. 485.667,00 |
| d) Patrón de pesca (S/. 2.000,00 diarios x 4 días x 40 viajes) | 320.000,00 |
| e) Pescadores (S/. 1.000,00 diarios x 3 personas x 4 días x 40 viajes) | 480.000,00 |
| f) Total de gastos fijos anuales | 1'806.366,00 |

7.3 GASTOS VARIABLES ANUALES

| | |
|---|--------------|
| a) Combustible | 656.640,00 |
| b) Lubricantes (se asume el 10% del costo de combustible) | 65.664,00 |
| c) Hielo 980 kg/viaje x 40 viajes x el S/. 7,5 kg. | 294.000,00 |
| d) Reparación de la máquina (se asume el 10% del costo de maquinaria e instalaciones) | 570.000,00 |
| e) Mantenimiento del casco (Se asume el 3% del costo del casco desnudo) | 29.140,00 |
| f) Reparación y sustituciones en el equipo de pesca (se asume el 50% de su valor) | 600.000,00 |
| g) Total de costos variables anuales | 2'215.444,00 |

7.4 COSTOS TOTALES ANUALES

Costos fijos anuales + Costos variables anuales 4'021.810,00

7.5 INGRESOS ANUALES POR CAPTURA

| | |
|---|-------------|
| a) Promedio de captura por viaje | 2.200,00 kg |
| b) Promedio de captura por viaje, pescado buena calidad | 1.200,00 kg |

| | |
|--|--------------|
| c) Promedio de captura por viaje, pescado mediana calidad | 1.000 Kg. |
| d) Precio por Kg. pescado buena calidad S/. | 60,00 |
| e) Precio por Kg. pescado mediana calidad | 45,00 |
| f) Ingreso anual, venta pescado buena calidad 2'880.000,00 | |
| g) Ingreso anual, venta pescado mediana calidad 1'800.000,00 | |
| h) Ingreso anuales de captura | 4'680.000,00 |

7.6. UTILIDAD NETA ANUAL

| | |
|-------------------------------|------------|
| Ingresos por captura-- costos | 658.190,00 |
|-------------------------------|------------|

7.7. TASA INTERNA DE RETORNO

$$T.I.R. = \frac{\text{Utilidad Neta}}{\text{Inversión}} = \frac{658.190}{7'871.334} = 0.0836$$

T.I.R. = 8,36%

7.8. RESUMEN DE ANALISIS TECNICO-ECONOMICO

1. COSTOS DE INVERSIÓN

| | |
|---------------------------------|----------------|
| 1.1. Casco desnudo | S/. 971.334,00 |
| 1.2. Maquinaria e instalaciones | 5'700.000,00 |
| 1.3. Casco y maquinaria | 6'671.334,00 |
| 1.4. Aparejos de pesca | 1'200.000,00 |
| 1.5. Total de la inversión | 7'871.334,00 |

2. COSTOS FIJOS ANUALES

| | |
|-------------------|------------|
| 2.1. Depreciación | 667.133,00 |
| 2.2. Seguro | 333.566,00 |
| 2.3. Carenamiento | 485.667,00 |

| | |
|--|----------------|
| 2.4 Salario de la tripulación | S/. 480.000,00 |
| 2.5 Salario del patrón de pesca | 320.000,00 |
| 2.6 Total de Gastos Fijos | 2'286.366,00 |
| | |
| 3. COSTOS VARIABLES ANUALES | |
| 3.1 Combustible | S/. 656.640,00 |
| 3.2 Lubricantes | 65.664,00 |
| 3.3 Hielo | 294.000,00 |
| 3.4 Mantenimiento de máquina | 570.000,00 |
| 3.5 Mantenimiento del casco | 29.140,00 |
| 3.6 Mantenimiento de aparejos de pesca | 600.000,00 |
| 3.7 Total de gastos variables | 2'215.444,00 |
| | |
| 4. COSTOS TOTALES ANUALES | 4'021.810,00 |
| | |
| 5. INGRESOS ANUALES POR CAPTURA | 4'680.000,00 |
| | |
| 6. UTILIDAD NETA ANUAL | 658.190,00 |
| | |
| 7. TASA INTERNA DE RETORNO (T.I.R.) | 8,36 % |

CONCLUSIONES

1. Es escasa en el país, la información técnica y bibliográfica que existe sobre la metodología a seguir en el diseño y la construcción de casco de ferrocemento para buques pesqueros.
2. Actualmente en el país, se ha aplicado el ferrocemento en la construcción de defensas y boyas en la Base Naval de Guayaquil. En 1968, se construyó en el Arsenal Naval, un yate de 60 pies de eslora y 20 toneladas, con estructura de ferrocemento. Constituyéndose este casco, la única experiencia en referida técnica.
3. La aplicación del ferrocemento tiene mucha expectativa en la construcción de buques pequeños, en donde ha demostrado sus bondades.
4. Para la construcción de cascos de ferrocemento, no se necesitan instalaciones ni talleres costosos.
5. Existe en el país, la mano de obra calificada, que con un entrenamiento adecuado se convertiría en eficiente, en estos menesteres.
6. De acuerdo a los resultados del análisis técnico-económico, en los actuales momentos, resulta un casco de ferrocemento más barato que de otro material conocido, para los mismos fines.

RECOMENDACIONES

1. Es necesario incrementar la información bibliográfica y técnica sobre la construcción de cascos de buques de ferrocemento, para conocimiento y aplicación de los profesionales del ramo.
2. El Departamento de Ingeniería Marítima y Ciencias del Mar de la ESPOL, deberá iniciar un programa de experimentación y prueba sobre esta clase de construcciones.
3. Debe experimentarse en la construcción y el comportamiento de esta clase de casco, especialmente en el sector pesquero artesanal.
4. Debe realizarse un estudio económico comparado de costos en detalle, tanto de construcción como de mantenimiento y duración, para atraer a los interesados en la adquisición de cascos de este material.

BIBLIOGRAFIA

- Voluntary Guideline for the design, construction and Equipment - of small fishing vessels.
FAO, ILO, IMCO.- Londres.- 1980
- Safety and Health requirements for the construction and equipment of fishing vessels.
FAO, ILO, IMCO.- Londres.- 1980
- El Hielo en las Pesquerías
FAO.- Roma.- 1975
- Manual de Capacitación pesquera a Bordo
Por: Birgir Hermansson
FAO.- España.- 1980
- Construction of a 16 metre Ferro-Cement Fishing Boat
Por: I Fyson
FAO.- Roma.- 1970
- Tentative Rules for the construction and classification of ferro-cement vessels.
Por: Det Norske Veritas
Oslo.- 1974
- Estabilidad de Embarcaciones Pesqueras
Por: Mario Santarelli
FAO/NORAD.- 1978

- Resistencia, Propulsión y Proyecto de Hélices de Buques Pesqueros.
Por: José Nuñez B.
FAO/NORAD.- Guayaquil.- 1980

- Equipos de cubierta según las técnicas de pesca desarrolladas
Por: S.L. Okonski
FAO/NORAD.- Guayaquil.- 1980

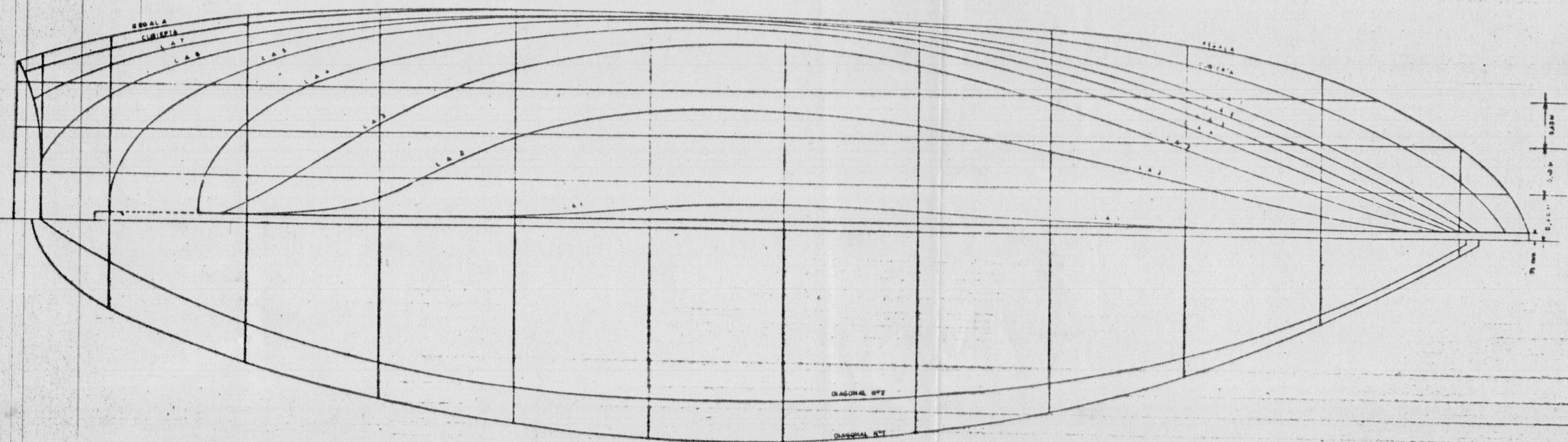
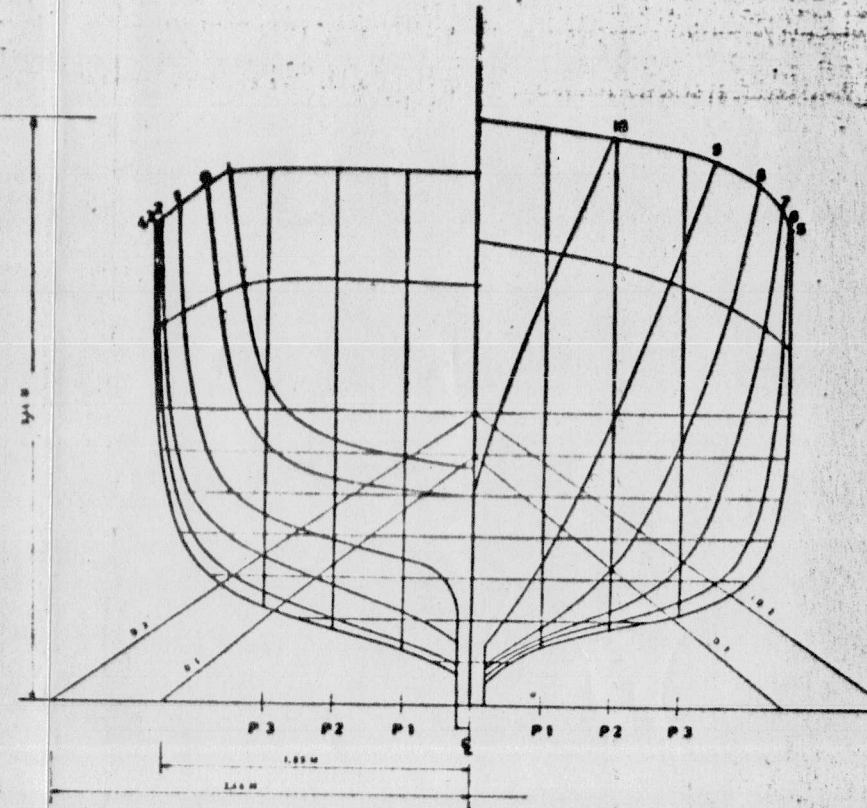
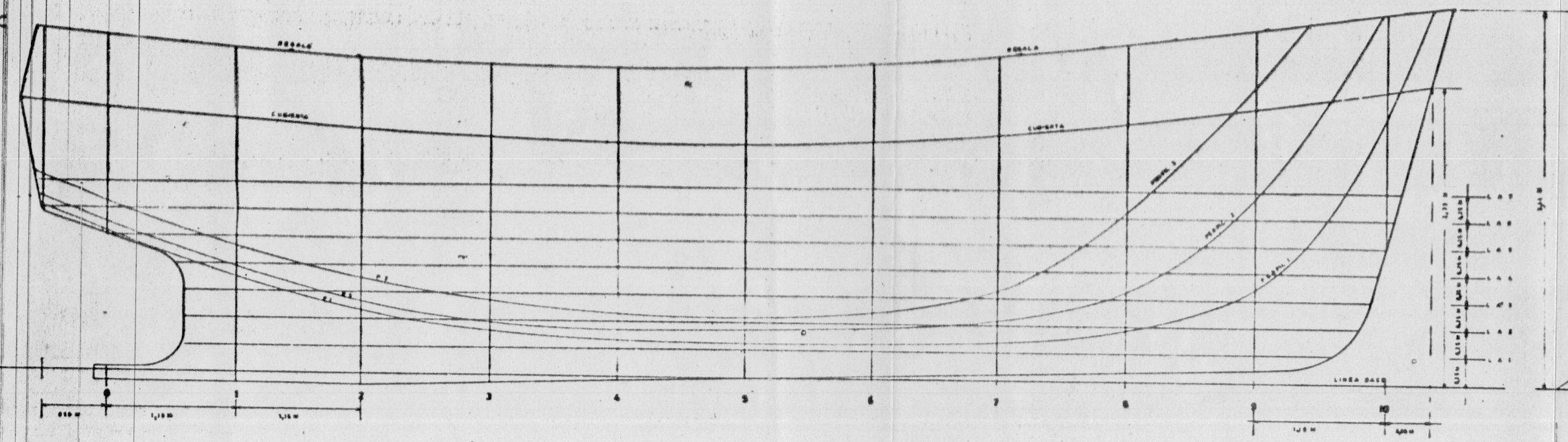
- Selección a bordo de arrastreros de capturas para encajonamiento y a granel.
Por: Paúl Hansen y Karaten Olsen
A/S.- ATLAS.- Dinamarca.- 1977

- Fishing boat desig: 3 small trawlers
FAO.- Roma.- 1980

- La congelación en las pesquerías
FAO.- Roma.- 1977

- Optimización de embarcaciones para la pesca artesanal
Ing. T.J. Nolan.- Egdo. Bolívar Vaca R.

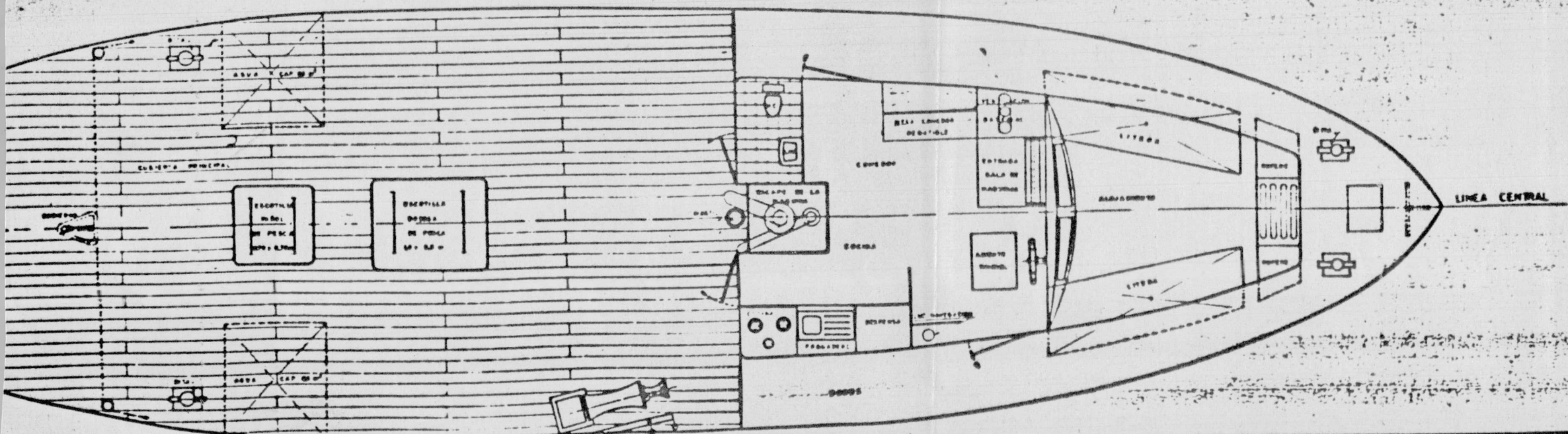
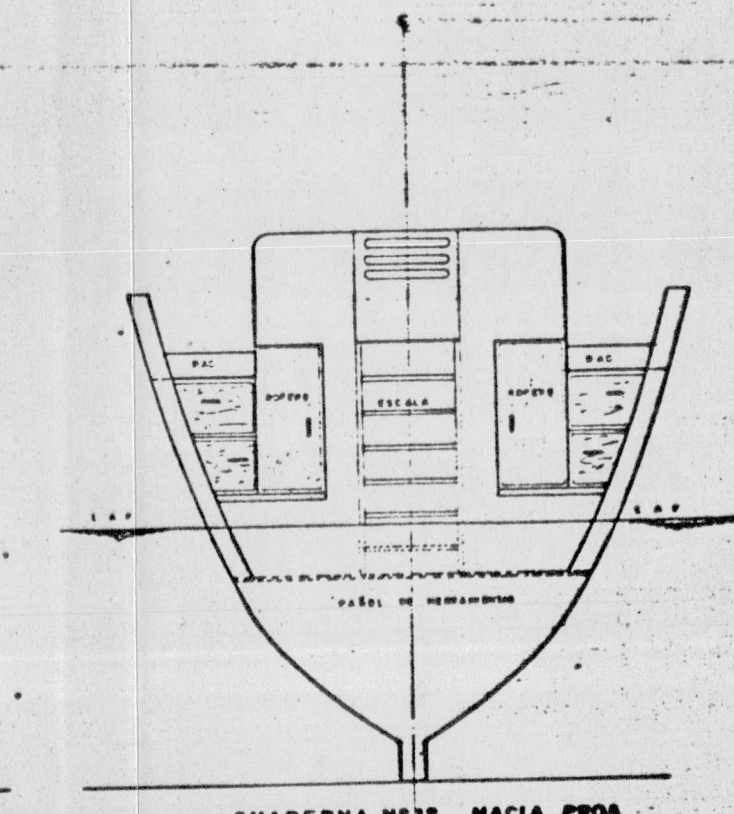
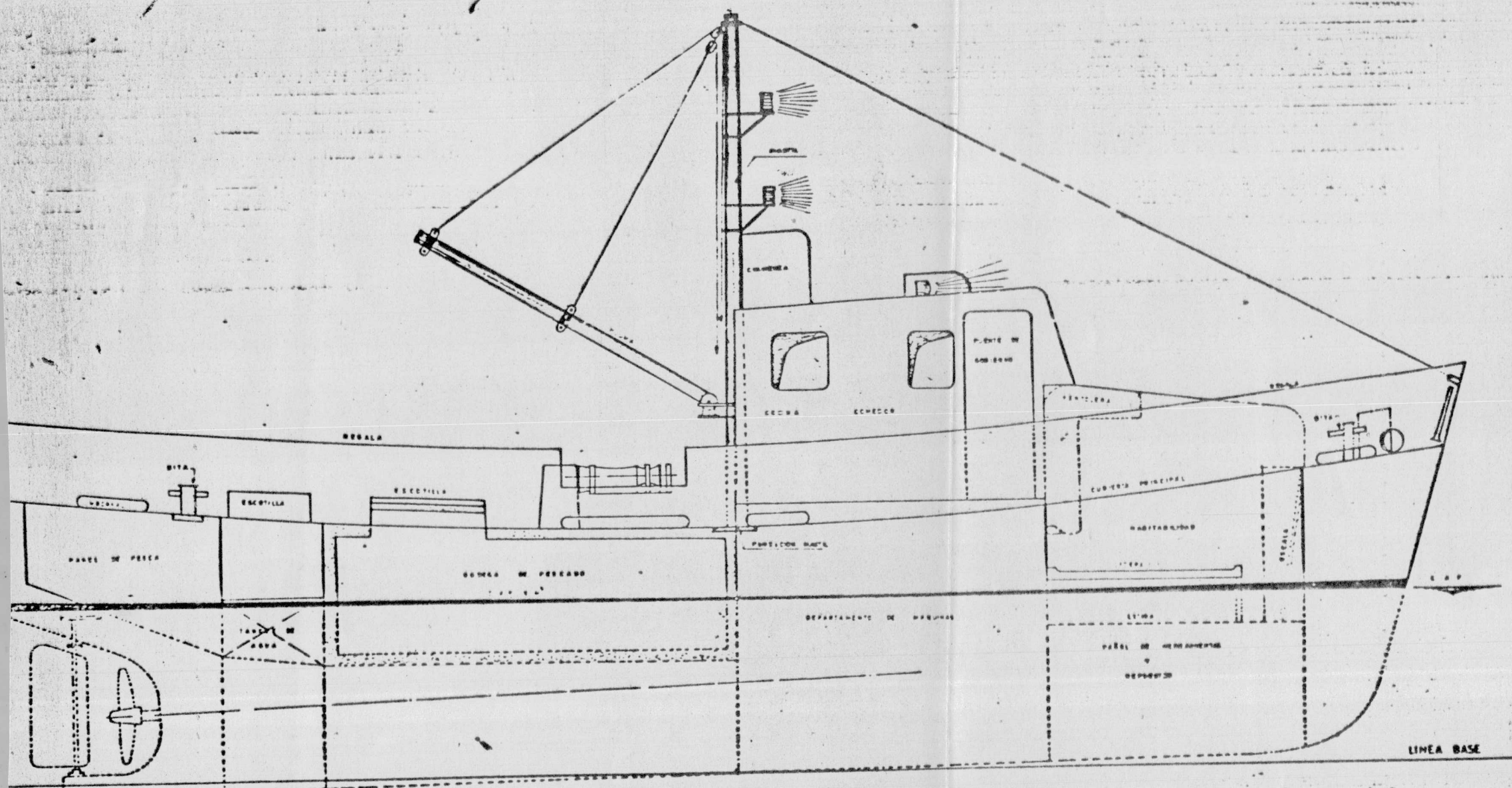
- Construcción de buques de ferrocemento
Ing. William Gills
ESPOL.- Guayaquil.- 1978



| | |
|--|------------------------|
| ESCUELA SUPERIOR POLITECNICA DEL LITORAL | |
| TESIS DE GRADO INGENIERIA NAVAL | |
| • PLANO DE LINEAS DE FORMAS | |
| ESCALA | 1:20 |
| DIBUJADO | ROBERTO GONZALEZ TOALA |
| CALCULADO | LICENIE GONZALEZ TOALA |
| DIRECTOR DE TESIS | |
| ING. MIGUEL FIERRO | |
| FECHA | PELARO |

EMBARCACION COSTERA DE FERROCIMENTO

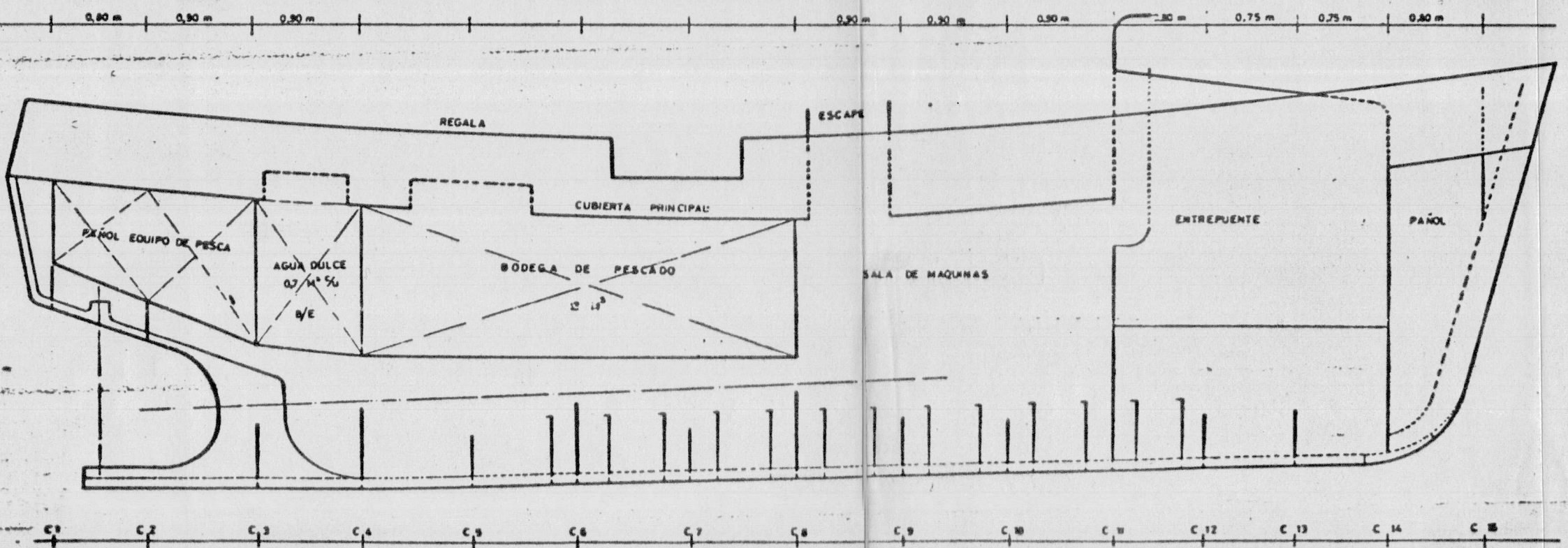
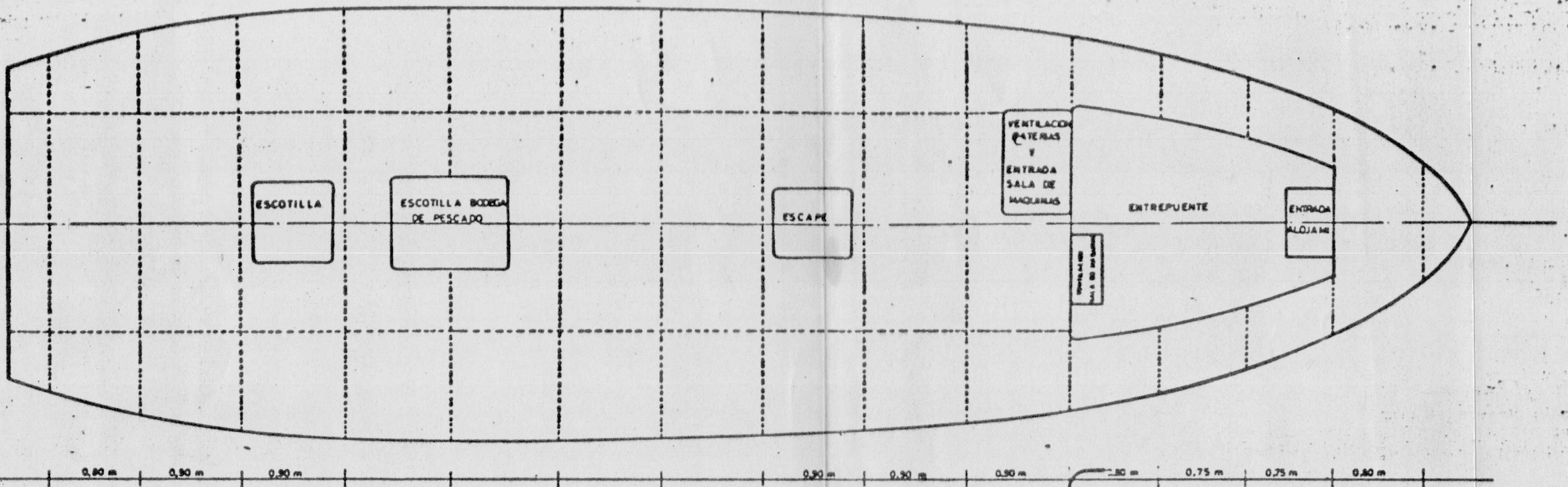
Palangre fondo y media agua . Transmalla



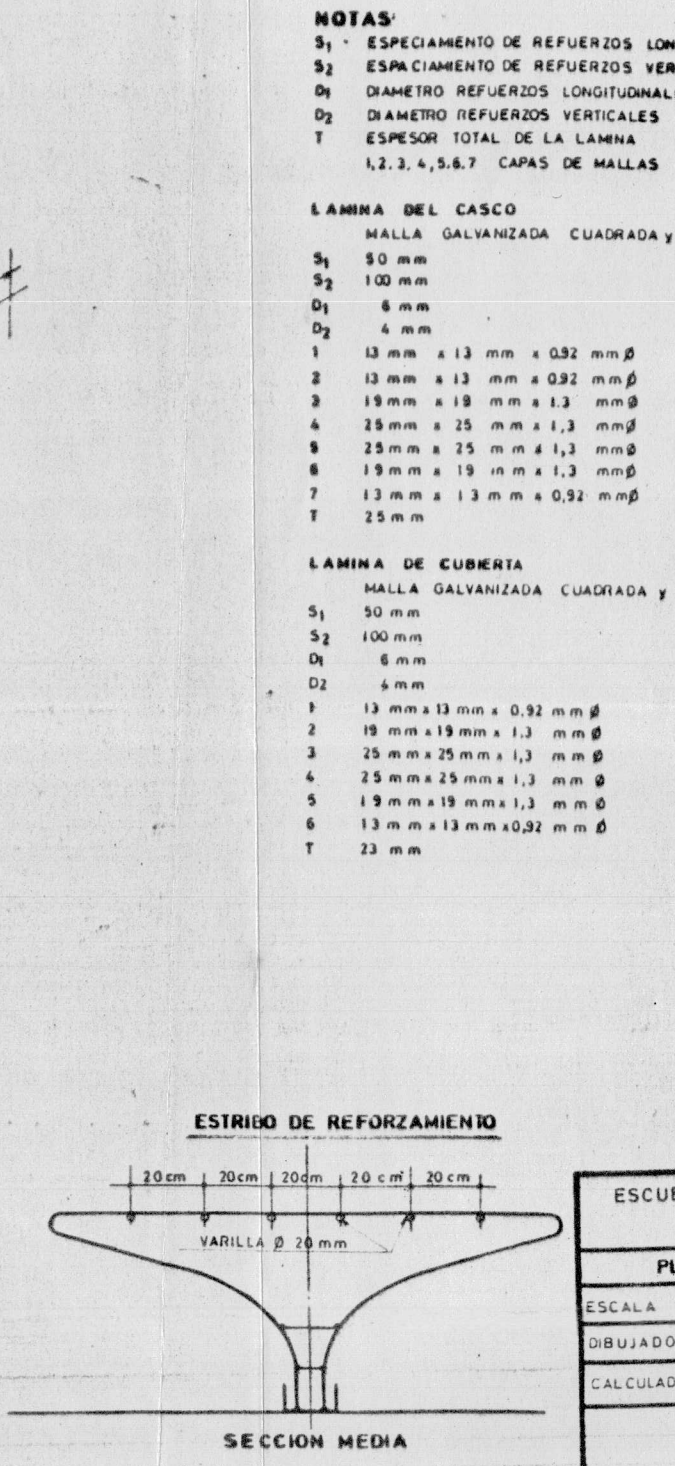
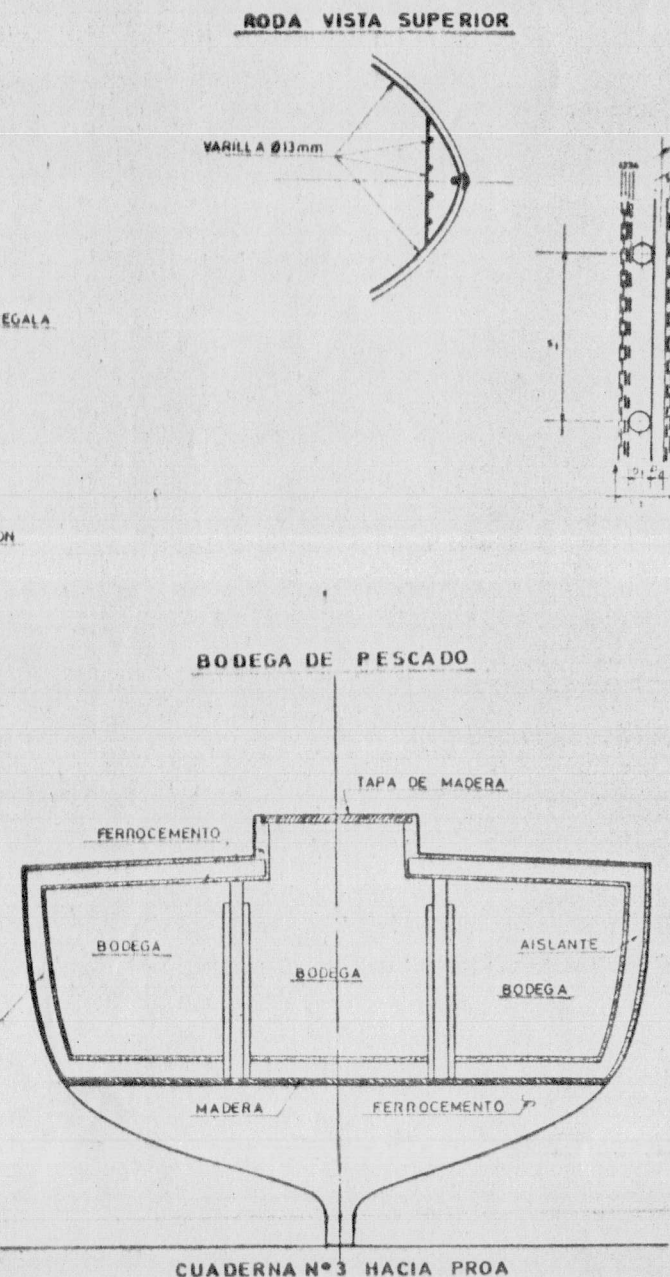
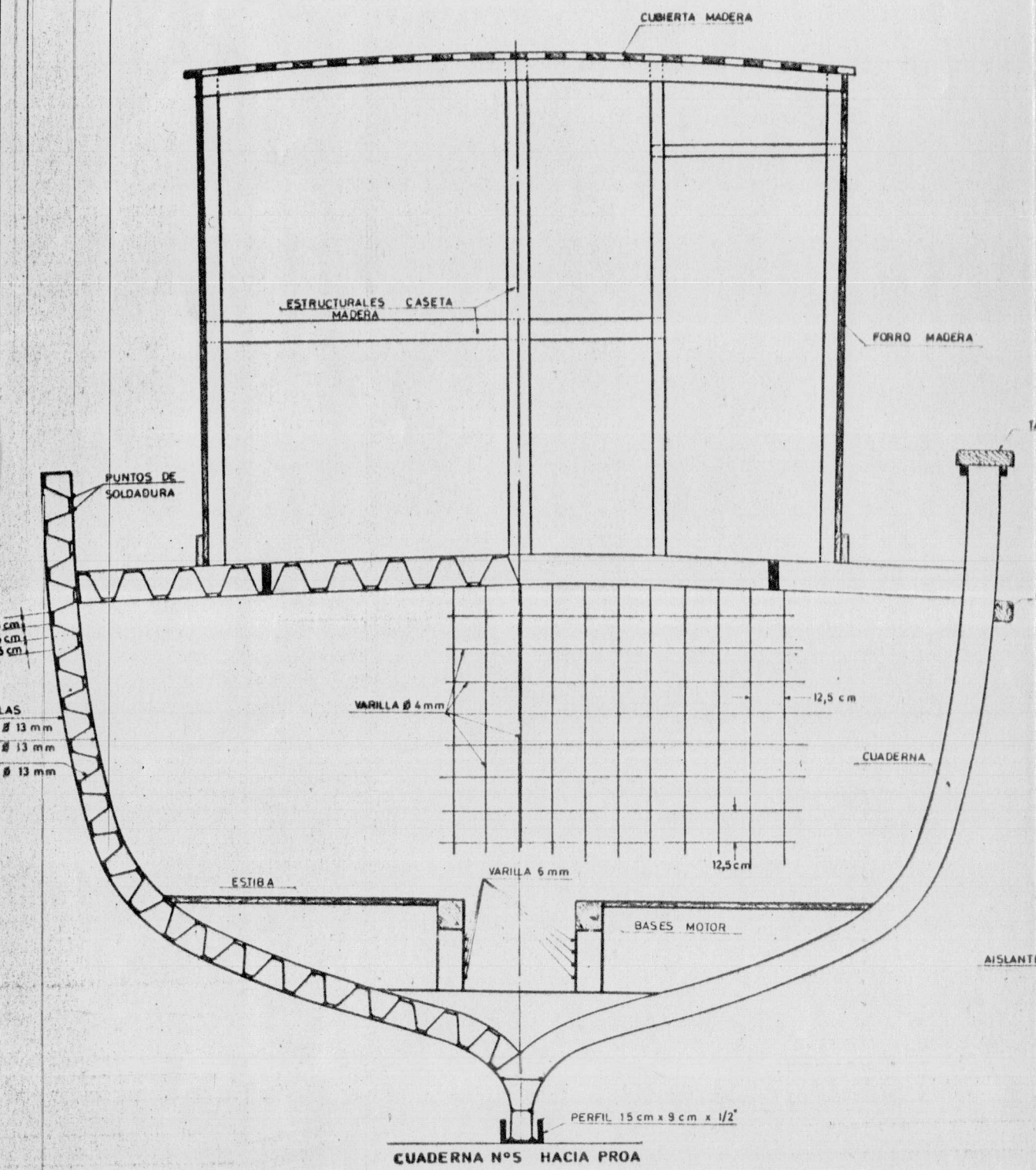
CARACTERISTICAS

| | |
|--------------------------|----------------|
| ESLORA TOTAL | 12.00 m |
| ESLORA ENTRE P.P. | 11.60 m |
| MANDA | 3.00 m |
| PUNTAL | 2.00 m |
| CALADO DE DISEÑO | 1.10 m |
| CD | 0.90 |
| CP | 0.80 |
| MOTOR PRINCIPAL | 50 H.P. VANNAR |
| CAPACIDAD NETA DE BODEGA | 3 Ton |

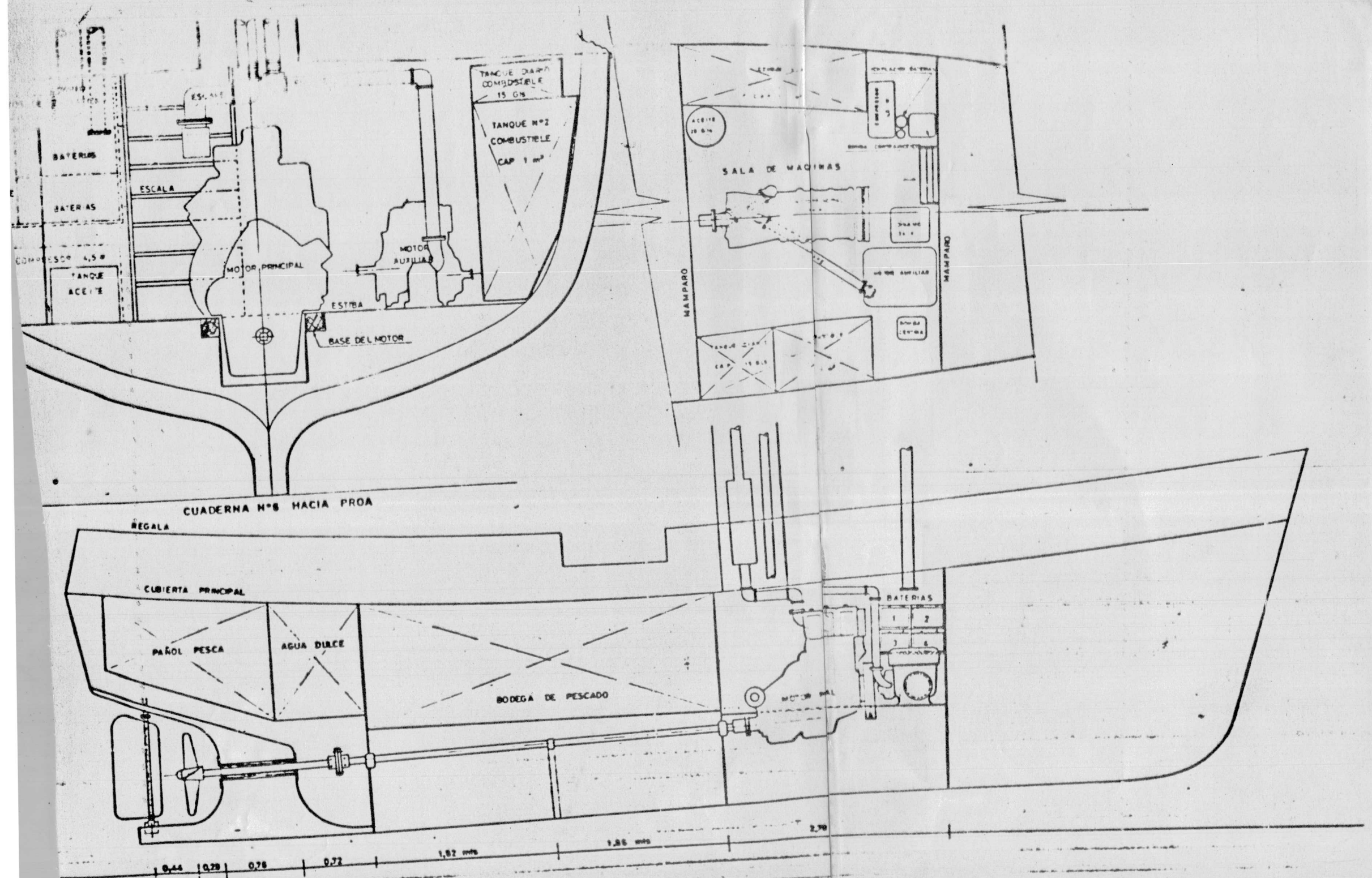
| |
|--|
| ESCUELA SUPERIOR POLITECNICA DEL LITORAL |
| TESIS DE GRADO INGENIERIA NAVAL |
| PLANO ARREGLO GENERAL |
| ESCALA 1:20 |
| DIBUJADO VICENTE GONZALEZ TOALA |
| CALCULADO VICENTE GONZALEZ TOALA |
| DIRECTOR DE TESIS |
| ING. MIGUEL FIERRO |
| FECHA FEBRERO |



| | |
|--|----------|
| ESCUELA SUPERIOR POLITÉCNICA DEL LITORAL | |
| TESIS DE GRADO INGENIERÍA NAVAL | |
| PLANO ESCANTILLONADO | |
| ESCALA 1:10 | PLANO N° |
| DEBUTADO VICENTE GONZALEZ TORAL | |
| CALCULADO VICENTE GONZALEZ TORAL | |
| DIRECTOR DE TESIS | |
| ING. MIGUEL FIERRO | |
| FECHA | 10/09/98 |



| | |
|--|-----------------------|
| ESCUELA SUPERIOR POLITÉCNICA DEL LITORAL | |
| TESIS DE GRADO INGENIERÍA NAVAL | |
| PLANO ESCANTILLONADO | |
| ESCALA | 1:20 |
| DIBUJADO | VICENTE GONZALEZ TOLA |
| CALCULADO | VICENTE GONZALEZ TOLA |
| DIRECTOR DE TESIS | |
| ING. MIGUEL FIERRO | |
| FECHA | FEbrero 1981 |



CARACTERISTICAS

| | |
|-------------------------------|-----------|
| ESCOLTA TOTAL | 2,30 m |
| ESCOLTA ENTRE PERPENDICULARES | 1,65 m |
| MANGA | 3,10 m |
| PUNTA | 2,00 m |
| CALADO DE DISEÑO | 1,8 m |
| DESPLAZAMIENTO DE DISEÑO | 18,50 ton |
| MOTOR PRINCIPAL SUMIN. | 50,10 HP |
| MOTOR AUXILIAR SUMIN. | 14,20 HP |

| | |
|--|------------|
| ESCUELA SUPERIOR POLITÉCNICA DEL LITORAL | |
| TESIS DE GRADO INGENIERO | |
| PLANO SALA DE MAQUINAS | |
| ESCALA 1:2 | PLANO N° |
| DEJAC | ESTUDIO |
| CALCULADO | VERIFICADO |
| DIRECTOR DE TESIS | |
| ING. MIGUEL FERRO | |
| FECHA | ESTUDIO |